



OFICINA ESPAÑOLA DE PATENTES Y MARCAS

ESPAÑA



11) Número de publicación: 2 777 205

51 Int. Cl.:

G01N 33/569 (2006.01)

(12)

TRADUCCIÓN DE PATENTE EUROPEA

T3

86) Fecha de presentación y número de la solicitud internacional: 01.07.2013 PCT/EP2013/063855

(87) Fecha y número de publicación internacional: 03.01.2014 WO14001574

(96) Fecha de presentación y número de la solicitud europea: 01.07.2013 E 13736816 (3)

(97) Fecha y número de publicación de la concesión europea: 25.12.2019 EP 2867676

(54) Título: Procedimiento para el diagnóstico de las infecciones por Candida invasivas

(30) Prioridad:

29.06.2012 EP 12305778

Fecha de publicación y mención en BOPI de la traducción de la patente: **04.08.2020**

(73) Titular/es:

BIO-RAD EUROPE GMBH (33.3%)
Holbeinstrasse 75
4051 Basel, CH;
CENTRE HOSPITALIER UNIVERSITAIRE DE
LILLE (33.3%) y
UNIVERSITE LILLE 2 DROIT ET SANTE (33.3%)

(72) Inventor/es:

DAMIENS, SÉBASTIEN; FRADIN, CHANTAL; POULAIN, DANIEL; SENDID, BOUALEM y TABOURET, MARC, CHARLES, VICTOR

(74) Agente/Representante:

SALVÀ FERRER, Joan

DESCRIPCIÓN

Procedimiento para el diagnóstico de las infecciones por Candida invasivas

5 **[0001]** La presente invención se refiere a un procedimiento *in vitro* para diagnosticar la candidiasis invasiva (CI) en un sujeto que comprende detectar el nivel de un manano de *Candida* y detectar el nivel de anticuerpo dirigido contra una proteína seleccionada del grupo que consiste en fructosa bifosfato aldolasa (Fba1), enolasa 1 (Eno1), proteína de choque térmico 90 (Hsp90), proteína de pared de la hifa (Hwp1) y manoproteína 65 (Mp65) en una muestra de sangre, plasma o suero del sujeto. La invención también se refiere a un procedimiento para determinar un régimen de tratamiento adecuado para un paciente y a un kit para implementar los procedimientos de la invención.

[0002] La candidiasis es una infección micótica con levaduras de cualquier especie de Candida, de las cuales Candida albicans es la más común. La candidiasis abarca infecciones que van desde infecciones superficiales de la piel y las membranas mucosas, que causan inflamación y molestias locales, hasta candidiasis sistémicas o invasivas (CI). Las infecciones por Candida de esta última categoría también se conocen como infección de tejido profundo que afecta a uno o varios órganos revelados o no por hemocultivo (candidemia). Estas formas graves de la enfermedad generalmente se limitan a personas gravemente inmunodeprimidas, como pacientes con cáncer, trasplantes o SIDA, pero también pueden ocurrir en unidades de cuidados intensivos médicos y quirúrgicos y pacientes con catéteres intravenosos.

20

La candidiasis invasiva sigue siendo un problema de salud pública que persiste en unidades de cuidados intensivos médicos y quirúrgicos, oncohematología, trasplantes de médula ósea y células madre hematopoyéticas y salas de recién nacidos prematuros. Según informes recientes, Candida spp. se coloca como la cuarta causa más común de infecciones nosocomiales en el torrente sanguíneo y se caracteriza por un importante impacto médico y 25 económico relacionado con las dificultades del diagnóstico clínico y biológico. La candidiasis sistémica se asocia con largas estadías en el hospital y tasas de mortalidad del 18 al 70 % y también se ha producido un cambio en el espectro de especies infectantes. Las especies que no son Candida albicans, aunque pueden tener un potencial patogénico intrínseco más bajo que C. albicans, ahora se identifican en más del 45-60 % de las infecciones por candidiasis diseminada de forma hematógena. Además, el aumento de la morbilidad como consecuencia de la candidemia genera 30 importantes costes adicionales relacionados con estadías hospitalarias más prolongadas y tratamiento antifúngico profiláctico, empírico o curativo. Si bien la disponibilidad de nuevos medicamentos antimicóticos como las equinocandinas y los nuevos azoles es un paso prometedor para mejorar los resultados para los pacientes con candidiasis invasiva, es imprescindible una estrategia de diagnóstico definitivo y temprano para evitar retrasos en el inicio del tratamiento de pacientes infectados y prevenir terapias innecesarias en individuos de alto riesgo que solo 35 están colonizados. Este retraso en el inicio del tratamiento antifúngico apropiado es la causa de las altas tasas de mortalidad por morbilidad de CI y está relacionado con la falta de pruebas rápidas y fiables que distingan a los pacientes con CI de los pacientes con colonización superficial.

[0004] El examen histológico de biopsias y hemocultivos todavía se considera el procedimiento de referencia 40 para el diagnóstico de CI; sin embargo, estos procedimientos rara vez se realizan o son poco sensibles, respectivamente.

[0005] Se han desarrollado varios procedimientos rápidos no basados en el cultivo, incluida la detección de anticuerpos anti-*Candida* contra objetivos inmunogénicos y la detección del antígeno de *Candida* circulante (Yeo and Wong. Clin Microbiol Rev 2002; 15:465-84). Sin embargo, solo unos pocos ensayos se han estandarizado y están disponibles comercialmente. Los ensayos de antígeno se dirigen a la detección de manano (Weiner and Yount. J Clin Invest 1976;58:1045-53; Herent y col. J Clin Microbiol 1992;30:2158-64), D/L arabinitol (Switchenko y col. J Clin Microbiol 1994;32:92-7), antígeno lábil al calor (Fung y col. J Clin Microbiol 1986;24:542-7) y (1→3)-β-D-glucanos (Ostrosky-Zeichner y col. Clin Infect Dis 2005;41:654-9; Senn y col. Clin Infect Dis 2008;46:878-85). Otro ensayo dirigido a la enolasa ha sido abandonado (Walsh TJ y col. N Engl J Med. 1991 Apr 11;324(15):1026-31). Los ensayos de anticuerpos se dirigen al manano, el componente antigénico principal de la pared celular de la levadura. Sin embargo, estos procedimientos sin cultivo, incluso útiles, exhiben numerosos inconvenientes en su sensibilidad y especificidad y a veces requieren la combinación de dos o más resultados de análisis para un diagnóstico preciso de CI.

55

[0006] Se ha obtenido una mejora de la especificidad combinando la detección de manano sérico y anticuerpos antimanano (Sendid y col. J Clin Microbiol 1999; 37:1510-7). Tal mejora puede explicarse por el hecho de que cuando se detecta un antígeno específico y anticuerpos contra este antígeno en un mismo paciente, los anticuerpos pueden facilitar la eliminación del antígeno. Recientemente se ha publicado un reciente estudio de metaanálisis de los valores de diagnóstico de estos dos ensayos (Mikulska y col. Crit Care. 2010;14(6): R222). El uso del antígeno manano y los anticuerpos antimanano en el diagnóstico de la candidiasis invasiva: recomendaciones de la Tercera Conferencia Europea sobre Infecciones en Leucemia. La detección de manano parece ser muy específica: 93 % en 767 pacientes (11 estudios) con 95 % Cl ligera (91 % - 94 %). Sin embargo, la sensibilidad es débil: 58 % en 453 pacientes de 14 estudios (95 % Cl: 53 % - 62 %). La adición de la detección de anticuerpos antimanano permitió aumentar la sensibilidad hasta un 83 % (95 % Cl: 79 % - 87 %), pero redujo la especificidad al 72 % debido a la menor especificidad

de la detección de anticuerpos antimanano, especialmente en pacientes muy colonizados (Ellis y col. J Med Microbiol 2009;58:606-15).

Se han señalado muchas proteínas adicionales que podrían ayudar en el diagnóstico de CI durante los 5 últimos 10 años, especialmente con el desarrollo del análisis proteómico. Algunas de ellas parecen ser específicas del procedimiento patogénico. De hecho, se ha informado que más de veinte proteínas de Candida se han sobreexpresado durante las fases de cambio saprofítico/patogénico que conducen a investigar sus valores para el diagnóstico de CI (Clancy y col. J Clin Microbiol 2008; 46:1647-54). El valor diagnóstico no se ha confirmado para la mayoría de estas proteínas identificadas y para el resto solo se han obtenido resultados primarios en ensayos no estandarizados o 10 ultramodernos. Proteína de pared de la hifa (Hwp1) [Staab y col. J Biol Chem 1996;271:6298-305; Lain y col. BMC Microbiol 2007;7:35; Martin y col. I nt J Med Microbiol;301:417-22], familia de secuencia similar a la aglutinina (Als3) [Martin y col. I nt J Med Microbiol;301:417-22; Hoyer y col. Curr Genet 1998;33:451-9; Green y col. Infect Immun 2005;73:1852-5], superóxido dismutasa (Sod) [Martin y col. Int J Med Microbiol;301:417-22], metionina sintetasa -Met6 [Pitarch v col. Proteomics 2001;1:550-9 : Pitarch v col. Proteomics 2004;4:3084-106 : Pitarch v col. Proteomics Clin 15 Appl 2007;1:1221-42], malato deshidrogenasa [Hernando y col. Int Microbiol 2007;10:103-8], fructosa-bisfosfato aldolasa [Pitarch y col. Proteomics 2001;1:550-9; Hernando y col. Int Microbiol 2007;10:103-8], familia de Hsp70 [La Valle y col. Infect Immun 2000;68:6777-84; Pitarch y col. Proteomics 2001;1:550-9], Hsp90 [Matthews RC. J Med Microbiol 1992;36:367-70; Pitarch y col. Proteomics 2001;1:550-9], fosfoglicerato quinasa (PGK) [Pitarch y col. Proteomics 2001;1:550-9; Pitarch y col. Proteomics 2004;4:3084-106; Hernando y col. Int Microbiol 2007;10:103-8; 20 Clancy y col. J Clin Microbiol 2008;46:1647-54], dominio catalítico de la diacilglicerol quinasa [Hernando y col. Int Microbiol 2007;10:103-8], gliceraldehído-3-fosfato deshidrogenasa (G3P) [Pitarch y col. Proteomics 2001;1:550-9], alcohol deshidrogenasa (ADH1) [Pitarch y col. Proteomics 2001;1:550-9], diacilglicerol quinasa [Hernando y col. Int Microbiol 2007;10:103-8], manoproteína 65 kDa (CamP65) [Berzaghi y col. Clin Vaccine Immunol 2009:16:1538-45] forman parte de todas estas proteínas identificadas por estrategias proteómicas.

[0008] Se dispone de resultados limitados para concluir la posibilidad de usar estas proteínas para mejorar el diagnóstico de CI y se requieren más estudios prospectivos para confirmar la utilidad en la práctica clínica.

[0009] Los inventores evaluaron el rendimiento diagnóstico de un grupo de pruebas ELISA que detectan inmunoglobulinas totales contra seis proteínas recombinantes de *Candida albicans* obtenidas de *E. coli* transfectadas por plásmidos específicos que contienen genes de *Candida albicans* con fructosa bifosfato aldolasa (Fba1), enolasa 1 (Eno1), proteína de choque térmico 90 (Hsp90), proteína de pared de la hifa (Hwp1), manoproteína 65 (Mp65) y superóxido dismutasa 5 (SOD5). Estas pruebas se compararon con las pruebas de mananemia y anticuerpos antimanano ya comercializadas. La cohorte consistió en pacientes con CI determinada por *Candida albicans* (53 pacientes y 157 sueros) o especies de *Candida* no albicans (40 pacientes y 142 sueros). El grupo de control consistió en 80 donantes de sangre (80 sueros) y 90 pacientes colonizados por *Candida* (90 sueros) sin evidencia de CI. Las investigaciones preliminares permitieron seleccionar Hsp90, Hwp1, Fba1, Eno1 y Mp65 como los mejores *Candida*tos para una evaluación clínica adicional de su utilidad para el diagnóstico de CI.

40 [0010] Para mejorar el potencial diagnóstico de estos biomarcadores, se realizó una combinación con antigenemia del manano. De hecho, con una especificidad arbitrariamente fijada en 80,0 %, la asociación de mananemia/anticuerpo de antiproteína recombinante (RP-Ab), las sensibilidades específicas de Hsp90 Ab, Fba1 Ab, Hwp1 Ab, Eno1 Ab y Mp65 Ab fueron 80,9 %, 83,8 %, 83,8 %, 79,1 % y 75,5 %, mientras que la combinación de mananemia/ anticuerpos antimanano conduce a una sensibilidad de 61,7 % para pacientes con CI frente a los controles (donantes de sangre + pacientes hospitalizados y colonizados). Cuando se comparó la fecha de positividad de RP-Ab/mananemia con la fecha de hemocultivo positivo, se observó el retraso medio de 5 días antes del aislamiento de las especies de Candida de la sangre para todos los biomarcadores de RP-Ab.

[0011] En conjunto, estos resultados indican que la asociación anti-Hsp90, anti-Fba1, anti-Hwp1, anti-Eno1 o anti-Mp65 Ab/mananemia puede sustituir ventajosamente anticuerpos antimanano/mananemia para la predicción o el diagnóstico precoz de CI. Tal resultado fue inesperado porque, mientras que la detección de anticuerpos del manano y antimanano es complementaria en pacientes con candidiasis invasiva, muy probablemente debido a la implicación de los anticuerpos antimanano en la eliminación del manano soluble, no podría esperarse tal complementariedad para el manano y anticuerpos anti-Hsp90, anti-Fba1, anti-Hwp1, anti-Eno1 o anti-Mp65 en función de un mecanismo de eliminación de antígeno. Por lo tanto, fue completamente sorprendente que la especificidad y la sensibilidad del diagnóstico de candidemia pudieran mejorarse reemplazando la detección de anticuerpos antimanano por la detección de anticuerpos contra Hwp1, Eno1, Fba1, Hsp90 o Mp65.

Procedimiento para diagnosticar la candidiasis invasiva

60

65

[0012] La presente solicitud describe un procedimiento *in vitro* para diagnosticar la candidiasis invasiva (CI) en un sujeto, dicho procedimiento comprende, o consiste en, las etapas que consisten en:

- a) detectar la presencia de un glicano de Candida en una muestra de sangre, plasma o suero del sujeto;
- b) detectar la presencia de anticuerpos dirigidos contra una proteína de Candida seleccionada del grupo que

consiste en fructosa bifosfato aldolasa (Fba1), enolasa 1 (Eno1), proteína de choque térmico 90 (Hsp90), proteína de pared de la hifa (Hwp1) y manoproteína 65 (Mp65) en una muestra de sangre o plasma del sujeto; y

c) donde la presencia de dicho glicano de *Candida* y/o de dicho anticuerpo dirigido contra una proteína seleccionada del grupo que consiste en Fba1, Eno1, Hsp90, Hwp1 y Mp65 es indicativa de CI.

[0013] La «candidiasis invasiva» o «CI» también se denomira candidemia y denota infección sistémica con levaduras de cualquier especie de *Candida*, p. ej., *Candida albicans*, *Candida parapsilosis*, *Candida krusei*, *Candida tropicalis*, *Candida glabrata*, *Candida lusitaniae*, *Geotrichum capitatum*, *Candida norvegiensis* y *Candida* guillermondii. *Candida albicans* es la especie de *Candida* más común. La CI puede diagnosticarse en última instancia mediante examen histológico de biopsias y detección de especies de *Candida* en hemocultivos.

5

15

30

35

45

50

55

[0014] Preferentemente, la candidiasis invasiva se debe a la infección con una especie de *Candida* seleccionada del grupo que consiste en *Candida albicans*, *Candida parapsilosis*, *Candida krusei*, *Candida tropicalis*, *Candida glabrata*, *Candida lusitaniae*, *Geotrichum capitatum* y *Candida norvegiensis*.

[0015] Por lo tanto, un glicano de *Candida* y/o una proteína de *Candida* puede ser preferentemente un glicano y/o proteína que se encuentra en una o más especies de *Candida* seleccionadas del grupo que consiste en *Candida* albicans, *Candida parapsilosis*, *Candida krusei*, *Candida tropicalis*, *Candida glabrata*, *Candida lusitaniae*, *Geotrichum capitatum* y *Candida norvegiensis*.

[0016] Un «sujeto» o «paciente» puede ser un mamífero humano o no humano, como monos, perros, gatos, cobayas, hámsteres, conejos, vacas, caballos, cabras y ovejas. Preferentemente, el sujeto es un ser humano, en particular un hombre, una mujer o un niño (0-18 años).

Por «detectar la presencia» de un antígeno o anticuerpo, se entiende que en la mayor medida se determina que el antígeno o anticuerpo está presente o ausente en la muestra a analizar. Según una realización, se detecta el nivel de dicho glicano de *Candida* y/o anticuerpo dirigido contra dicha proteína de *Candida*.

[0018] Por consiguiente, el procedimiento puede comprender o consistir en las etapas que consisten en:

a) detectar el nivel de un glicano de Candida en una muestra de sangre, plasma o suero del sujeto;

b) detectar el nivel de anticuerpos dirigidos contra una proteína de *Candida* seleccionada del grupo que consiste en fructosa bifosfato aldolasa (Fba1), enolasa 1 (Eno1), proteína de choque térmico 90 (Hsp90), proteína de pared de la hifa (Hwp1) y manoproteína 65 (Mp65) en una muestra de sangre, plasma o suero del sujeto; y

c) donde un nivel elevado de dicho glicano de *Candida* y/o un nivel elevado de dicho anticuerpo dirigido contra dicha proteína de *Candida* seleccionada del grupo que consiste en Fba1, Eno1, Hsp90, Hwp1 y Mp65 en relación con un nivel de referencia indica candidiasis invasiva

[0019] Como se usa en el presente documento, un «glicano de *Candida*» denota un componente de 40 oligosacárido o polisacárido de la pared celular de una especie de *Candida*. Los carbohidratos representan del 80 al 90 % (peso/peso) de la pared celular de *Candida albicans*. Los principales carbohidratos son

(i) manano, es decir, polímeros de manosa en una variedad de disposiciones de enlace α y β que están asociadas covalentemente con proteínas para formar glucoproteínas también conocidas como manoproteínas. El término «manano» también se usa para referirse al principal componente inmunodominante soluble presente en la capa de la pared celular externa de las especies de *Candida*. Una estructura representativa de manano de *Candida albicans* ha sido descrita en Martinez y col. Clinical Microbiology Reviews, 1998, 11(1), 121-141. El manano se compone de tres componentes principales de azúcar: la cadena externa más larga, el núcleo interno enlazado a N unido al polipéptido y los oligosacáridos lábiles base o enlazados de manera glucosídica a O más cortos unidos al polipéptido. Los polímeros de manosa están unidos a proteínas por enlaces N-glucosídicos (a través de dos unidades GlcNAc [di-N-acetilchitobiose]) a residuos de asparagina y por enlaces lábiles álcali O-glucosídicos a treonina o residuos de serina. El carbohidrato enlazado de manera glucosídica a N tiene una cadena principal de residuos de manopiranosilo enlazados a α-1,6 con ramas de oligosacáridos que contienen residuos de manopiranosilo con unidades de manosa enlazadas a α-1,2, α-1,3, β-1,2, β-1,4 y α-1,6 individuales y enlaces fosfodiéster. Los residuos de manosa simples y los oligosacáridos de manosa cortos y no ramificados constituyen el componente de azúcar enlazado de manera glucosídica a O;

(ii) β -glucanos, es decir, polímeros de glucosa, en particular polímeros ramificados, que contienen enlaces β -1,3 y β -1,6. Los β -glucanos incluyen en particular (1,3)- β -D-glucano y (1,6)- β -D-glucano;

(iii) quitina, que es un homopolímero no ramificado de N-acetil-D-glucosamina (GlcNAc).

[0020] Por «detectar la presencia o nivel de un glicano de *Candida*», se entiende que se detecta la presencia o nivel de al menos un glicano de *Candida*. Según una realización, una presencia o nivel de un glicano de *Candida* que se determina puede ser la presencia o el nivel de manano, β-glucano (en particular (1,3)-β-D-glucano) o quitina. En particular, la presencia o nivel de un glicano de *Candida* que se determina puede ser la presencia o nivel de 65 manano, solo. Aunque la caracterización del ensayo ha demostrado que las combinaciones de más de dos de los

marcadores definidos en este documento (glicano de *Candida* y anticuerpo dirigido contra una proteína de *Candida* como se mencionó anteriormente) no mejoraron significativamente la potencia discriminatoria del procedimiento, la presencia o el nivel de más de un glicano de *Candida*, pudo determinar, por ejemplo, la presencia o nivel de manano y la presencia o nivel de al menos un β-glucano (en particular (1,3)-β-D-glucano), o la presencia o nivel de manano y la presencia o nivel de quitina, o la presencia o nivel de al menos un β-glucano (en particular (1,3)-β-D-glucano) y la presencia o nivel de quitina.

[0021] La «presencia o nivel de un glicano de *Candida* en una muestra de sangre, plasma o suero del sujeto» es representativa de la presencia o nivel del glicano de *Candida* en la sangre circulante del sujeto. La presencia o nivel del glicano de *Candida* puede denotar en particular la presencia o nivel de glicano de *Candida* soluble, ya que, por ejemplo, el manano se libera de las manoproteínas por escisión proteolítica. Por lo tanto, la «presencia o nivel de manano en una muestra de sangre, plasma o suero del sujeto» puede denotar en particular la presencia o nivel del componente inmunodominante soluble de las manoproteínas de *Candida*, el manano. La detección o el nivel del antígeno manano también se llama mananemia.

[0022] La presencia o el nivel de un glicano de *Candida* se puede determinar mediante cualquier procedimiento químico o bioquímico adecuado conocido por el experto en la técnica, como cromatografía, procedimientos quimioluminiscentes basados en enzimas, Biacore o espectrometría de masas.

[0023] Por ejemplo, la prueba enzimática cromogénica Fungitell® (que se comercializa por Associates of Cape 20 Cod Inc.) podría usarse para detectar (1,3)-β-D-glucano.

15

40

[0024] Además, las lectinas que se unen específicamente a la quitina, o al (1,3)- β -D-glucano o (1,6)- β -D-glucano, podrían usarse para la detección de quitina, o (1,3)- β -D-glucano o (1,6)- β -D-glucano.

25 **[0025]** Sin embargo, se usan preferentemente como procedimientos basados en anticuerpos, que se describen con más detalle a continuación. En este contexto, los inmunoensayos son particularmente adecuados.

[0026] El procedimiento incluye además detectar la presencia o el nivel de anticuerpos dirigidos contra una proteína de *Candida* seleccionada del grupo que consiste en fructosa bifosfato aldolasa (Fba1), enolasa 1 (Eno1), 0 proteína de choque térmico 90 (Hsp90), proteína de pared de la hifa (Hwp1) y manoproteína 65 (Mp65) en una muestra de sangre, plasma o suero del sujeto.

[0027] La presencia o el nivel de un glicano de *Candida* y de anticuerpos dirigidos contra la proteína de *Candida* se pueden detectar (i) en una misma muestra de sangre, plasma o suero del paciente o (ii) en varias muestras de sangre, plasma o suero obtenidas secuencialmente del mismo paciente, (iia) ya sea al mismo tiempo (es decir, esencialmente simultáneamente o con no más de 3 minutos de diferencia) o al menos con no más de 72 horas, no más de 48 horas, no más de 24 horas, preferentemente no más de 12 horas, preferentemente no más de 6 horas, aún preferentemente no más de 3 horas de diferencia, o (iib) en el curso de la monitorización del paciente, p. ej., con 1, 2, 3, 4, 5, 6, 7, 8, 9, 10, 11, 12, 13 o 14 días de diferencia.

[0028] El procedimiento de la invención se lleva a cabo preferentemente al menos dos veces por semana. El procedimiento de la invención también se lleva a cabo preferentemente siempre que el sujeto esté en riesgo de desarrollar candidiasis invasiva, en particular mientras el paciente esté hospitalizado.

45 **[0029]** La «fructosa bisfosfato aldolasa» o «Fba1» es una enzima implicada en la glucólisis y la gluconeogénesis y que está regulada por el intercambio levadura-hifa. Una secuencia representativa para Fba1 es Fba1 de *Candida albicans* SC5314 que está codificada, por ejemplo, por un polinucleótido que comprende la secuencia SEQ ID NO: 1, y que consiste en la secuencia de aminoácidos SEQ ID NO: 2. Estas secuencias fueron publicadas en Jones y col. Proc. Natl. Acad. Sci. U.S.A. 101 (19), 7329-7334 (2004). La secuencia del genoma diploide de *Candida albicans* está disponible en la base de datos del *National Center for Biotechnology Information* con el número de acceso XM_717597 (disponible el 14/02/2012).

[0030] «Enolasa 1» o «Eno1» denota una enzima glucolítica (EC 4.2.1.11) presente en el citoplasma y, en cantidades menores, en la capa interna de la pared celular de *C. albicans*. Una secuencia representativa para Eno1 es Eno1 de *Candida* SC5314 que está codificada, por ejemplo, por un polinucleótido que comprende la secuencia SEQ ID NO: 3 y que consiste en la secuencia de aminoácidos SEQ ID NO: 4. Estas secuencias fueron publicadas en Jones y col.; Proc. Natl. Acad. Sci. U.S.A. 101 (19), 7329-7334 (2004). La secuencia del genoma diploide de *Candida albicans* está disponible en la base de datos del *National Center for Biotechnology Information* con el número de acceso XM_706819 (disponible el 14/02/2012).

[0031] La «proteína de choque térmico 90» o "Hsp90" es una chaperona molecular que participa, en *Candida albicans*, en la transición morfogenética de la levadura al crecimiento filamentoso. Se ha informado que Hsp90 está presente en la pared celular de *Candida albicans* y circula en los fluidos corporales de pacientes con candidiasis invasiva. Una secuencia representativa para Hsp90 es Hsp90 de *Candida* SC5314 que está codificada, por ejemplo, 65 por un polinucleótido que comprende la secuencia SEQ ID NO: 5 y que consiste en la secuencia de aminoácidos SEQ

ID NO: 6. Estas secuencias fueron publicadas en Chibana y col. Genetics 170 (4), 1525-1537 (2005). El acabado de secuencia y el mapeo de genes para *Candida albicans* están disponibles en la base de datos del *National Center for Biotechnology Information* con el número de acceso XM_883730 (disponible el 14/02/2012).

5 [0032] La «proteína de pared de la hifa» o «Hwp1» denota una manoproteína expresada específicamente en la superficie de la pared celular de las hifas de *C. albicans*. Una secuencia representativa para Hwp1 es Hwp1 de *Candida* SC5314 que está codificada, por ejemplo, por un polinucleótido que comprende la secuencia SEQ ID NO: 7 y que consiste en la secuencia de aminoácidos SEQ ID NO: 8. Estas secuencias fueron publicadas en Jones y col. Proc. Natl. Acad. Sci. U.S.A. 101 (19), 7329-7334 (2004). La secuencia del genoma diploide de *Candida albicans* está 10 disponible en la base de datos del *National Center for Biotechnology Information* con el número de acceso XM_707905 (disponible el 14/02/2012).

[0033] «Manoproteína 65» o «Mp65» denota una manoproteínade 65 kDa que está presente en la pared celular y también en los sobrenadantes de cultivo de *Candida* y que se cree que tiene propiedades adhesivas. Una secuencia representativa para Mp65 es Mp65 de *Candida* SC5314 que está codificada, por ejemplo, por un polinucleótido que comprende la secuencia SEQ ID NO: 9 y que consiste en la secuencia de aminoácidos SEQ ID NO: 10. Estas secuencias fueron publicadas en Jones y col. Proc. Natl. Acad. Sci. U.S.A. 101 (19), 7329-7334 (2004). La secuencia del genoma diploide de *Candida albicans* está disponible en la base de datos del *National Center for Biotechnology Information* con el número de acceso XM_709288 (disponible el 14/02/2012).

[0034] Deberá entenderse que las proteínas Fba1, Eno1, Hsp90, Hwp1 y Mp65 de *Candida* están destinadas a abarcar cualquier variante o proteína isoforma naturalmente existente que difiera de las secuencias de aminoácidos representativas respectivas identificadas anteriormente mediante la modificación de la secuencia de aminoácidos y/o del patrón de glucosilación de la proteína. Por modificación de la secuencia de aminoácidos se entiende la eliminación, adición o sustitución de al menos un aminoácido, por ejemplo, de 1 a 15 aminoácidos, como 1, 2, 3, 4, 5, 6, 7, 8, 9 o 10 aminoácidos. Preferentemente, la proteína variante o isoforma tiene al menos 80, 85, 87, 90, 91, 92, 93, 94, 95, 96, 97, 98 o 99 % de identidad de secuencia con la secuencia de aminoácidos representativa, como se puede determinar por alineación global por pares utilizando el algoritmo Needleman-Wunsch. El porcentaje de identidad de secuencia se puede determinar fácilmente, por ejemplo, utilizando el programa Needle, con la matriz BLOSUM62, y los siguientes parámetros gap-open = 10, gap-extend = 0,5.

[0035] Las proteínas Fba1, Eno1, Hsp90, Hwp1 y Mp65 de *Candida* pueden provocar anticuerpos en sujetos infectados con especies de *Candida* y desarrollar CI.

35 **[0036]** Los anticuerpos a detectar pueden ser una IgM, IgD, IgG (en particular IgG1, IgG2, IgG3 o IgG4), IgA e IgE, o cualquier combinación de las mismas.

Como se usa en el presente documento, detectar «la presencia o el nivel de anticuerpos dirigidos contra una proteína seleccionada del grupo que consiste en Fba1, Eno1, Hsp90, Hwp1 y Mp65 de Candida» significa que la 40 presencia o el nivel de anticuerpos contra al menos una de entre Hsp90, Fba1, Hwp1, Eno1 y Mp65 se detectan. Según una realización, solo se detecta la presencia o el nivel de anticuerpos contra Fba1, o anticuerpos contra Eno1, o anticuerpos contra Hsp90, o anticuerpos contra Hwp1, o anticuerpos contra Mp65. Aunque las combinaciones de más de dos de los marcadores definidos en la presente invención (glicano de Candida y anticuerpos dirigidos contra una proteína de Candida) pueden no mejorar significativamente la potencia discriminatoria del procedimiento, se puede 45 detectar la presencia o el nivel de anticuerpos contra más de una proteína de Candida, en particular 2 o 3, proteínas de Candida, tal como se mencionan en esta invención. Por ejemplo, la presencia o nivel de anticuerpos contra Fba1 y la presencia o nivel de anticuerpos contra Eno1, o la presencia o nivel de anticuerpos contra Fba1 y la presencia o nivel de anticuerpos contra Hsp90, o la presencia o nivel de anticuerpos contra Fba1 y el presencia o nivel de anticuerpos contra Hwp1, o la presencia o nivel de anticuerpos contra Fba1 y la presencia o nivel de anticuerpos contra 50 Mp65, o la presencia o nivel de anticuerpos contra Eno1 y la presencia o nivel de anticuerpos contra Hsp90, o la presencia o nivel de anticuerpos contra Eno1 y la presencia o nivel de anticuerpos contra Hwp1, o la presencia o nivel de anticuerpos contra Eno1 y la presencia o nivel de anticuerpos contra Mp65, o la presencia o nivel de anticuerpos contra Hwp1 y la presencia o nivel de anticuerpos contra Mp65.

Cuando la proteína de *Candida* es una glucoproteína, como Hwp1, Hsp90 y Mp65, los anticuerpos dirigidos contra una proteína de *Candida* que se detectan o miden pueden ser los anticuerpos que se unen a una forma desglucosilada de dicha proteína de *Candida*.

[0039] La presencia o nivel de anticuerpos puede determinarse mediante cualquier procedimiento de 60 inmunoensayo adecuado conocido por el experto en la técnica, como se describe a continuación.

[0040] El procedimiento preferentemente no incluye la detección de biomarcadores adicionales, que no sean glicano(s) de *Candida* y anticuerpo(s) dirigidos contra una proteína de *Candida* seleccionada del grupo que consiste en Fba1, Eno1, Hsp90, Hwp1 y Mp65. En particular, el procedimiento preferentemente no comprende la detección de anticuerpos dirigidos contra los glicanos de *Candida*, especialmente contra el manano.

Procedimiento de inmunoensayo

40

[0041] Los inmunoensayos son procedimientos basados en anticuerpos que permiten medir antígenos o anticuerpos. Por lo general, incluyen inmunoensayos indirectos, intercalados o de competencia, por ejemplo, en formato de radioinmunoensayos (RIA) o EIA (Enzyme ImmunoAssay). Un inmunoensayo tipo sándwich es un procedimiento que usa dos anticuerpos específicos para el antígeno a detectar, que se unen a distintos sitios en el antígeno o ligando. El anticuerpo primario (o anticuerpo de captura), que reconoce el antígeno, está unido a una superficie sólida. A continuación, se agrega el antígeno seguido de la adición de un segundo anticuerpo denominado anticuerpo de detección. El anticuerpo de detección se une al antígeno a un epítopo(s) distinto o repetido. A medida que aumenta la concentración de antígeno, aumenta la cantidad de anticuerpo de detección que conduce a una respuesta medida más alta.

[0042] Para cuantificar el grado de unión, se pueden usar distintos indicadores: un marcador radiactivo en RIA, o un fluoróforo o enzima en EIA (en particular en ELISA). En ELISA, una enzima se une normalmente al anticuerpo de detección o a un tercer anticuerpo que se une al anticuerpo de detección y que debe generarse en una especie distinta a los anticuerpos de detección (es decir, si el anticuerpo de detección es un anticuerpo de conejo, el tercer anticuerpo sería un anticonejo de cabra, pollo, etc., pero no de conejo). El sustrato para la enzima se agrega a la reacción que forma una lectura colorimétrica como señal de detección. La etapa enzimática del ensayo se puede reemplazar con una detección marcada con fluoróforo y la señal fluorescente se mide en un lector de placa fluorescente. La señal generada es proporcional a la cantidad de antígeno diana presente en la muestra.

[0043] Un ensayo de saturación competitivo se basa en la competencia del antígeno marcado y no marcado por un número limitado de sitios de unión de anticuerpos. Una cantidad fija de antígeno marcado y una cantidad variable de antígeno no marcado se incuban con un anticuerpo unido a una fase sólida. La cantidad de antígeno marcado es una función de la concentración total de antígeno marcado y no marcado. A medida que aumenta la concentración de antígeno no marcado, un antígeno menos marcado puede unirse al anticuerpo y la respuesta medida disminuye. Así, cuanto más baja es la señal, más antígeno no marcado hay en la muestra.

30 **[0044]** En inmunoensayo indirecto, un antígeno se reviste sobre una superficie sólida. La superficie sólida recubierta se incuba a continuación con una muestra para analizar si contiene anticuerpos específicos para el antígeno. La detección de anticuerpos unidos al antígeno se realiza a continuación usando un anticuerpo secundario marcado de forma detectable que se une al anticuerpo específico para el antígeno. El anticuerpo secundario puede marcarse con un fluoróforo que genera una señal fluorescente medible en un lector de placa fluorescente o con una enzima que 35 puede producir una señal colorimétrica tras la adición del sustrato enzimático.

[0045] El inmunoensayo se puede realizar en un formato de ensayo de inmunocromatografía de flujo lateral, formato de inmunoensayo alto y/o multiplex como Luminex®, plataforma o cualquier formato derivado de microfluidos como inmunoensayos de microchip, etc.

[0046] Como se usa en esta invención, «anticuerpo» o «inmunoglobulina» tienen el mismo significado y se usan por igual. En los anticuerpos convencionales naturales, dos cadenas pesadas están unidas entre sí por enlaces disulfuro y cada cadena pesada está unida a una cadena ligera por un enlace disulfuro. Hay dos tipos de cadena ligera, lambda (λ) y kappa (κ). Hay cinco clases principales de cadena pesada (o isotipos) que determinan la actividad 45 funcional de una molécula de anticuerpo: IgM, IgD, IgG (como IgG1, IgG2, IgG3 o IgG4), IgA e IgE. La cadena ligera incluye dos dominios, un dominio variable (VL) y un dominio constante (CL). La cadena pesada incluye cuatro dominios, un dominio variable (VH) y tres dominios constantes (CHI, CH2 y CH3, denominados colectivamente CH). Las regiones variables de las cadenas ligera (VL) y pesada (VH) determinan el reconocimiento y la especificidad de unión al antígeno. La especificidad del anticuerpo reside en la complementariedad estructural entre el sitio de 50 combinación del anticuerpo y el determinante antigénico (epítopo). Los sitios de combinación de anticuerpos están formados por residuos que provienen principalmente de las regiones determinantes de hipervariabilidad o complementariedad (CDR). Ocasionalmente, los residuos de regiones no hipervariables o de estructura (FR) influyen en la estructura general del dominio y, por lo tanto, en el sitio de combinación. La CDR se refiere a secuencias de aminoácidos que juntas definen la afinidad de unión y la especificidad de la región Fv natural de un sitio de unión de 55 inmunoglobulina nativa. Las cadenas ligera y pesada de una inmunoglobulina tienen cada una tres CDR, denominadas L-CDR1, L-CDR2, L-CDR3 y H-CDR1, H-CDR2, H-CDR3, respectivamente. Un sitio de unión a antígeno, por lo tanto, incluye seis CDR, que comprenden el conjunto de CDR de cada una de las regiones V de cadena pesada y ligera. FR se refiere a secuencias de aminoácidos interpuestas entre CDR.

60 **[0047]** Los anticuerpos pueden ser anticuerpos monoclonales (mAb), anticuerpos policionales o fragmentos de los mismos. Los anticuerpos monoclonales son anticuerpos monoespecíficos, producidos por clones de una línea celular de hibridoma, que se unen al mismo epítopo en un antígeno. Los anticuerpos policionales son una combinación de inmunoglobulinas dirigidas contra un antígeno específico y cada inmunoglobulina posiblemente se une a un epítopo distinto en el antígeno. Los anticuerpos policionales generalmente se producen por inmunización de un mamífero 65 adecuado, como un ratón, conejo o cabra. Los fragmentos de anticuerpos incluyen, por ejemplo, Fab, Fab', F(ab')₂,

Fv, scFv y nanocuerpos (anticuerpos de cadena sencilla).

60

[0048] Para la <u>detección de un glicano de Candida</u>, se pueden usar anticuerpos que se unen preferentemente o específicamente a dicho glicano de *Candida*. Los anticuerpos que pueden usarse para la detección de un glicano de 5 *Candida* pueden ser anticuerpos monoclonales (mAb), anticuerpos policionales o fragmentos de los mismos.

[0049] Como se usa en esta invención, un anticuerpo que se une «preferentemente» a dicho glicano de *Candida*, es un anticuerpo que muestra menos del 15 % de reactividad cruzada, preferentemente menos del 10 % o 5 % de reactividad cruzada, con un antígeno distinto de dicho glicano de *Candida*. Un anticuerpo que se une 10 «específicamente» a dicho glicano de *Candida* es un anticuerpo que no muestra reactividad cruzada con ningún otro antígeno.

[0050] Para la detección de manano, los anticuerpos que se unen a secuencias de oligomanosa enlazadas a α-1,2 de más de cuatro residuos, o a oligomanósidos enlazados a β-1,2 podrían usarse, por ejemplo. El anticuerpo monoclonal EBCA1, que está disponible en las pruebas Platelia *Candida* antigen y Platelia *Candida* antigen Plus (Ag) (Bio-Rad Laboratories, Marnes La-Coquette, Francia), se une a un epítopo mínimo que consiste en enlaces α-1,2 secuencias de oligomanosa de más de cuatro (o al menos cinco) residuos que están presentes en la fracción de manano estable al ácido. Se podrían usar otros anticuerpos monoclonales para la detección de oligomanósidos unidos a β-1,2, tales como el anticuerpo 5B2 que se une preferentemente con manobiósidos (Hopwood y col. Infect. Immun. 1986, 54, 222-227; Collot M et al J. Med. Chem. 2008; 51:6201-6210), anticuerpo B6.1, que se une específicamente a la manotriosa (Han, Y col. Infect. Immun. 1997; 65:4100.) y el anticuerpo 26G7 que reconoce un heteropolímero 2 beta y 2 alfa-manósidos (Elguezabal y col., Oral Dis, 2004, 10, 81-86).

[0051] En particular, el manano puede detectarse convenientemente mediante un inmunoensayo enzimático tipo sándwich que usa, como anticuerpos de captura y detección, un anticuerpo que reconoce secuencias de oligomanosas enlazadas a α constituidas por más de cuatro (o al menos cinco) residuos, como el anticuerpo monoclonal EBCA1.

[0052] Los β-glucanos y la quitina son inmunogénicos ya que se han encontrado anticuerpos anti-β-D-glucanos y anticuerpos antiquitina circulantes en humanos (Sendid y col. Clin. Vaccine Immunol. 2008, 15, 1868-1877). En consecuencia, los anticuerpos se pueden provocar contra (1,6)-β-D-glucano, (1,3)-β-D-glucano o quitina para usarse en un inmunoensayo para detectar un (1,6)-β- D-glucano o quitina.

[0053] Para la detección de (1,3)-β-D-glucano y/o (1,6)-β-D-glucano, se puede usar un anticuerpo como el anticuerpo 2G8 que se describió en la solicitud de patente internacional WO2006/030318 o un anticuerpo anti-(1,3)-β-D-glucano tal como el disponible de Biosupplies Australia Pty. Ltd.

[0054] Para la detección de uno o más anticuerpos dirigidos contra una proteína de Candida, se puede usar proteína de Candida purificada, o fragmentos epitópicos de la misma, o un polipéptido que comprende proteína de 40 longitud completa, fragmentos epitópicos o variantes de la misma que se han producido recombinantemente o sintetizado químicamente. Cuando la proteína de Candida es una glucoproteína, la proteína de Candida purificada, o sus fragmentos epitópicos, pueden haber sido desglucosilados. Las proteínas de longitud completa purificadas y recombinantes o sus fragmentos epitópicos pueden incluir o no glucosilación. Preferentemente, el polipéptido usado para la detección de un anticuerpo dirigido contra una proteína de Candida carece de glucosilación.

[0055] Como se usa en esta invención, el término «fragmento epitópico» se refiere a un fragmento de polipéptido de una proteína que consiste en un tramo de aminoácidos contiguos de la proteína y comprende uno o más epítopos de dicha proteína. Un fragmento epitópico conserva la capacidad de unirse por al menos parte, preferentemente todos, de los anticuerpos que se unen a la proteína de longitud completa de la que se deriva el fragmento. Un epítopo puede ser lineal cuando está hecho de aminoácidos contiguos, o conformacional cuando un anticuerpo se une a aminoácidos discontinuos que se unen en conformación tridimensional. Generalmente se admite que un epítopo lineal está constituido por al menos 4 o 5 residuos contiguos de aminoácidos. Por consiguiente, un «fragmento epitópico» según la invención comprende preferentemente al menos 4, 5, 6, 7, 8, 9, 10, 12, 15, 20, 25, 30, 40, 50 o 100 aminoácidos contiguos de la proteína de donde deriva el fragmento epitópico. Un «fragmento epitópico» puede comprender menos de 300, 250, 200, 150, 100, 50, 40, 30, 20 o 15 aminoácidos.

[0056] Los fragmentos pueden generarse, por ejemplo, procesando la proteína de longitud completa, o un fragmento más largo de dicha proteína, con una enzima proteolítica (habitualmente tripsina, quimotripsina o colagenasa), o por tratamiento químico con bromuro de cianógeno (CNBr), por ejemplo.

[0057] Los polipéptidos variantes de la proteína de *Candida* de longitud completa o de un fragmento epitópico de la misma pueden obtenerse modificando su secuencia de aminoácidos por deleción, adición o sustitución, de al menos un aminoácido, por ejemplo, de 1 a 15 aminoácidos, como por ejemplo 1,2, 3, 4, 5, 6, 7, 8, 9 o 10 aminoácidos. Preferentemente, el polipéptido variante tiene al menos 80, 85, 87, 90, 91, 92, 93, 94, 95, 96, 97, 98 o 99 % de identidad de secuencia con la proteína de *Candida* de longitud completa o un fragmento epitópico de la misma, como puede ser

determinado por la alineación global por pares usando el algoritmo Needleman-Wunsch, en particular usando el programa Needle, con la matriz BLOSUM62, y los siguientes parámetros gap-open = 10, gap-extens = 0,5. Un polipéptido variante retiene la capacidad de unirse por al menos parte, preferentemente todos, de los anticuerpos que se unen a la proteína de longitud completa o al fragmento de la misma de la que deriva. Un polipéptido variante puede comprender típicamente una secuencia de polipéptido heterólogo, tal como una etiqueta (etiqueta His, GFP, etc.) para facilitar la purificación.

[0058] La desglucosilación de la (gluco)proteína de *Candida*, de sus fragmentos, se puede realizar por cualquier procedimiento químico o enzimático compatible con la preservación de la antigenicidad de la proteína (es decir, el mantenimiento de las estructuras del epítopo). Se puede hacer referencia, por ejemplo, a la hidrólisis del ácido trifluorometanosulfónico (TFMS) para la eliminación completa del glicano sin alterar el componente de la proteína, o al procesamiento con las enzimas PNGasa o F Endoglucosidasas F1, F2 y F3 para la eliminación de los glicanos enlazados a N.

- 15 **[0059]** La proteína de longitud completa recombinante de *Candida*, fragmentos epitópicos o variantes de la misma se pueden producir mediante cualquier procedimiento conocido por el experto en la materia. Típicamente, una secuencia de ácido nucleico que comprende una secuencia que codifica el polipéptido deseado, bajo el control o asociada operativamente con secuencias de control transcripcionales y traduccionales (en particular una secuencia promotora) se inserta en un vector de expresión. Un vector es el vehículo por el cual se puede introducir una secuencia de ADN o ARN (por ejemplo, un gen extraño) en una célula huésped, para transformar el huésped y promover la expresión (por ejemplo, transcripción y traducción) de la secuencia introducida. Los vectores incluyen plásmidos, fagos, virosas, etc. Un «sistema de expresión», es decir, la célula huésped y un vector compatible para la expresión de la proteína de *Candida*, o un fragmento epitópico de la misma, puede incluir células huésped de *E. coli* y vectores plasmídicos, células huésped de levadura (como *Pichia pastoris*) y vectores y vectores plasmídicos, células huésped de insecto y vectores de baculovirus, y células huésped de mamífero (tales como células COS-1 o CHO) y vectores. Preferentemente, la proteína de *Candida* recombinante o sus fragmentos epitópicos se producen en *E. coli*. Las proteínas recombinantes pueden producirse con indicadores, tales como los indicadores His, para facilitar su purificación, que puede eliminarse después.
- Para fragmentos epitópicos que preferentemente contienen no más de 20 aminoácidos, se puede emplear síntesis química tal como síntesis en fase sólida para preparar los fragmentos epitópicos.

[0061] Se ha informado que se puede encontrar un antígeno de 47 kDa que es un producto de descomposición estable al calor de Hsp90 en pacientes con candidiasis sistémica. La clonación de este fragmento de 47 kDa (que 35 consiste en aminoácidos en las posiciones 313 a 707 de la secuencia Hsp90 SEQ ID NO: 6) se ha descrito en Matthews and Burnie, 1989, FEMS Microbiol. Lett. 60:25-30 y en la patente US 5.686.248. Se ha demostrado además que los anticuerpos contra el antígeno de 47 kDa de Hsp90 reaccionan de forma cruzada con péptidos de secuencias STDEPAGESA (SEQ ID NO: 13), LSREM (SEQ ID NO: 14), LKVIRK (SEQ ID NO: 15) y LK- VIRKNIVKKMIE (SEQ ID NO: 16). Por consiguiente, un polipéptido que puede usarse para detectar anticuerpos anti-Hsp90 puede seleccionarse en particular del grupo que consiste en un polipéptido que comprende o que consiste en:

- a) SEQ ID NO: 6 o una variante o isoforma existente de forma natural de la misma;
- b) un fragmento epitópico de un polipéptido definido en a), en particular un fragmento que consiste en aminoácidos en las posiciones 313 a 707 de SEQ ID NO: 6, o una variante del mismo; y
- 45 c) SEQ ID NO: 13, SEQ ID NO: 14, SEQ ID NO: 15, o SEQ ID NO: 16 o una variante de la misma.

[0062] Si bien la proteína Hwp1 de longitud completa se puede usar para detectar anticuerpos anti-Hwp1, se ha informado que un fragmento N-terminal de 161 aminoácidos de largo (aminoácidos en las posiciones 41 a 200) aumentó la detección de anticuerpos por ELISA en suero de pacientes con candidiasis invasiva (Lain y col., 2007, 50 BMC Microbiology, 7:35). Además, se demostró que un fragmento de Hwp1 que consiste en aminoácidos en las posiciones 27 a 103 de Hwp1 es un fragmento epitópico de Hwp1 (Fradin y col., 2008 Infect. Immun. 76, 4509-4517).

[0063] Por consiguiente, un polipéptido que puede usarse para detectar anticuerpos anti-Hwp1 puede seleccionarse en particular del grupo que consiste en un polipéptido que comprende o que consiste en:

- a) SEQ ID NO: 8 o una variante o isoforma existente de forma natural de la misma;
- b) un fragmento epitópico de un polipéptido definido en a), en particular un fragmento que consiste en aminoácidos en las posiciones 41 a 200 o 27 a 203 de SEQ ID NO:8, o una variante del mismo.
- 60 **[0064]** Un polipéptido que puede usarse para detectar anticuerpos anti-Fba1 puede seleccionarse en particular del grupo que consiste en un polipéptido que comprende o que consiste en:
 - a) SEQ ID NO: 2 o una variante o isoforma existente de forma natural de la misma;
 - b) un fragmento epitópico de un polipéptido definido en a), o una variante del mismo.

65

[0065] Un polipéptido que puede usarse para detectar anticuerpos anti-Eno1 puede seleccionarse en particular del grupo que consiste en un polipéptido que comprende o que consiste en:

- a) SEQ ID NO: 4 o una variante o isoforma existente de forma natural de la misma;
- 5 b) un fragmento epitópico de un polipéptido definido en a), o una variante del mismo.

[0066] Para la detección de anticuerpos contra Mp65, también se puede usar la proteína Scw1, es decir, la proteína homóloga a Mp65 en Saccharomyces cerevisiae. La secuencia de codificación Scw1 y la secuencia de aminoácidos se muestran en la SEQ ID NO:11 y 12, respectivamente. Por consiguiente, un polipéptido que puede usarse para detectar anticuerpos anti-Mp65 puede seleccionarse en particular del grupo que consiste en un polipéptido que comprende o que consiste en:

- a) SEQ ID NO:10 o una variante o isoforma del mismo que existe naturalmente, en particular un polipéptido que comprende, o que consiste en SEQ ID NO:12;
- 15 b) un fragmento epitópico de un polipéptido definido en a), o una variante del mismo.

Diagnóstico de candidiasis invasiva

35

[0067] Según una realización, el diagnóstico de candidiasis invasiva se puede realizar comparando el nivel de dicho glicano de *Candida* con un nivel de referencia, y comparando el nivel de anticuerpos dirigidos contra dicha proteína de *Candida* seleccionada del grupo que consiste en Fba1, Eno1, Hsp90, Hwp1 y Mp65, con otro nivel de referencia. Si se detecta un nivel elevado de dicho glicano de *Candida* y/o un nivel elevado de anticuerpos dirigidos contra dicha proteína de *Candida* seleccionada del grupo que consiste en Fba1, Eno1, Hsp90, Hwp1 y Mp65, en relación con su nivel de referencia respectivo, entonces el sujeto está desarrollando o ha desarrollado candidiasis invasiva. En esta realización, se realiza así una interpretación combinada de los ensayos separados.

[0068] Los niveles de referencia pueden determinarse como un valor único o un intervalo de valores que se determina en base al nivel de dicho glicano de *Candida* o el nivel de anticuerpos dirigidos contra dicha proteína de *Candida*, según corresponda, medido en una población de sujetos sanos, en una población de sujetos infectados superficialmente con una cepa de *Candida* o en una población de sujetos que padecen candidiasis invasiva.

[0069] El nivel de referencia también puede determinarse analizando una muestra del mismo sujeto, por ejemplo, en un punto de tiempo anterior antes del inicio de la candidiasis invasiva o antes de la sospecha de candidiasis invasiva.

[0070] Típicamente, la población analizada podría dividirse en cuantiles en función del nivel medido de antígeno o anticuerpo. El nivel de referencia podría definirse como la mediana, o el segundo tercil, o el segundo o tercer cuartil, o el tercer o cuarto quintil, etc.

40 **[0071]** La comparación con un nivel de referencia también puede realizarse comparando el nivel de dicho glicano de *Candida* o el nivel de anticuerpos dirigidos contra dicha proteína de *Candida* con el nivel de glicano de *Candida* o anticuerpos, según corresponda, medidos en una muestra estándar constituida por un conjunto de sueros obtenido de pacientes con candidiasis invasiva.

45 [0072] El nivel de referencia para un marcador dado puede variar según el procedimiento utilizado para medir.

[0073] Según otra realización, se realiza un análisis combinado de los niveles de dicho glicano de *Candida* y de dichos anticuerpos dirigidos contra dicha proteína de *Candida* con el fin de determinar si el sujeto tiene o no candidiasis invasiva. En esta realización, se realiza un análisis combinado de los biomarcadores.

[0074] Según esta realización, el nivel de un glicano de *Candida* y el nivel de un anticuerpo dirigido contra la proteína de *Candida* se detectan en una misma muestra de sangre, plasma o suero del paciente o en varias muestras de sangre, plasma o suero obtenidas secuencialmente del mismo paciente esencialmente al mismo tiempo.

En función del análisis de un conjunto de referencia de muestras de sangre, plasma o suero de sujetos con candidiasis invasiva y sujetos sin candidiasis invasiva, se puede generar una curva de características operativas relativas (ROC) para cada marcador analizado. Una curva ROC es una representación gráfica de la sensibilidad (o tasa positiva verdadera) contra la tasa de falsos positivos (es decir, [1 - especificidad], donde la especificidad es la tasa negativa verdadera) de una prueba basada en marcadores. Un espacio ROC se define por sensibilidad y (1-especificidad) como ejes x e y respectivamente. El mejor procedimiento de predicción posible produciría un punto en la esquina superior izquierda o coordenada (0,1) del espacio ROC, que representa el 100 % de sensibilidad (sin falsos negativos) y el 100 % de especificidad (sin falsos positivos). Una suposición completamente aleatoria daría un punto a lo largo de una línea diagonal (la llamada línea de no discriminación) desde la esquina inferior izquierda hasta la esquina superior derecha. La diagonal divide el espacio ROC. Los puntos por encima de la diagonal representan buenos resultados de clasificación (mejor que al azar), los puntos debajo de la línea son malos resultados (peor que

al azar). Se puede calcular el área bajo la curva (AUC) de una curva ROC. Cuanto mayor sea el AUC, mayor será la precisión diagnóstica del marcador de diagnóstico.

[0076] Para el análisis combinado de marcadores, como el nivel de dicho glicano de Candida y el nivel de dichos anticuerpos dirigidos contra dicha proteína de Candida, se puede calcular un nuevo marcador virtual Z basado en una combinación lineal de los niveles de los marcadores individuales, es decir, el nivel de dicho glicano de Candida y el nivel de anticuerpos dirigidos contra dicha proteína de Candida. Z se calcula de la siguiente manera: Z = Σ ai x [Marcadori] donde ai son coeficientes calculados y [Marcadori] son niveles individuales de marcador (opcionalmente en unidades normalizadas). Los valores de los coeficientes ai se determinan para maximizar el área bajo la curva 10 (AUC) de la curva ROC para la combinación de marcadores seleccionada.

[0077] La determinación de los valores de los coeficientes se puede lograr fácilmente utilizando, por ejemplo, el programa mROC o cualquier otro programa que implemente un algoritmo para maximizar el AUC de ROC que puede usarse para ROC multivariante (Wang, Computational Statistics and Data Analysis 2007;51:2803-2812; Xiong y col. Med Decis Making. 2004 nov- Dec;24(6):659-69; Ma and Huang, Bioinformatics. 2005 Dec 15;21 (24):4356-62; Pepe y col., Biometrics. 2006 Mar;62(1):221-9; Wang y col.; Wang y col., J Proteomics Bioinform. 2012, 5:3; Liu A y col., Stat Med. 2005 Jan 15;24 (1):37-47. PubMed PMID: 15515132).

[0078] En la Tabla 1 se muestran ejemplos de valores para ai para combinaciones de dos marcadores, en función de la combinación de marcadores, y basados en el análisis de las muestras de suero obtenidas de los pacientes identificados en las Tablas 3 y 4 de la solicitud instantánea. Estos valores de ai fueron los utilizados para generar las curvas ROC que se muestran en las Figuras 6-10.

Tabla 1. Ejemplos de coeficientes a₁ y a₂ que maximizan el AUC de la curva ROC para la combinación de dos

25

35

45

50

marcadores Combinación de marcadores $Z = a_1 \times Marcador_1 + a_2 \times Marcador_2$ Z = 0,499 x [Ag_Manano*] + 2,324 x [Ab_Fba1*] Ag_Manano + Ab_Fba1 Ag_Manano + Ab_Hwp1 $Z = 0.481 \times [Ag_Manano^*] + 2.416 \times [Ab_Hwp1^*]$ Ag_Manano + Ab_Hsp90 Z = 0,481 x [Ag_Manano*] + 2,416 x [Ab_Hsp90*] Ag_Manano + Ab_Eno1 $Z = 0.453 \times [Ag_Manano^*] + 1.916 \times [Ab_Eno1^*]$ Ag_Manano + Ab_Mp65 $Z = 0.486 \times [Ag_Manano^*] + 2.261 \times [Ab_Mp65^*]$ Ag_Manano + Ab_Manano $Z = 0,599 \times [Ag_Manano^*] + 0,357 \times [Ab_Manano^*]$: niveles de marcadores normalizados por una transformación de log10.

[0079] Los valores anteriores de los coeficientes a₁ y a₂ para las combinaciones de dos marcadores que figuran en la Tabla 1 son puramente indicativos, ya que estos valores pueden modificarse con la estandarización de los procedimientos. Además, los coeficientes a₁ y a₂ pueden depender de las unidades de medida utilizadas para el antígeno manano y los anticuerpos contra la proteína de *Candida*.

[0080] Una vez que se han determinado los valores de los coeficientes a para una combinación de marcadores dada, mediante la estandarización de las muestras de sujeto y control, se puede determinar un nivel de referencia del marcador virtual Z como un valor único o un intervalo de valores, por ejemplo, como cuantiles.

[0081] Cuando el nivel de un glicano de *Candida* y el nivel de un anticuerpo dirigido contra la proteína de *Candida* se han medido en una muestra, o en al menos dos muestras obtenidas al mismo tiempo del mismo sujeto, puede ser un valor del marcador virtual Z calculado para la muestra de prueba. Si el valor calculado para el marcador virtual Z es mayor que el nivel de referencia del marcador virtual Z, entonces el sujeto está desarrollando o ha desarrollado candidiasis invasiva.

[0082] Por lo tanto, la invención se refiere a un procedimiento que comprende las etapas que consisten en:

- a) detectar el nivel de un glicano de *Candida* que es un manano en una muestra de sangre, plasma o suero del suieto:
- b) detectar el nivel de anticuerpos dirigidos contra una proteína de *Candida* seleccionada del grupo que consiste en fructosa bifosfato aldolasa (Fba1), enolasa 1 (Eno1), proteína de choque térmico 90 (Hsp90), proteína de pared de la hifa (Hwp1) y manoproteína 65 (Mp65) en la misma muestra de sangre, plasma o suero del sujeto o en otra muestra de sangre, plasma o suero obtenida secuencialmente del mismo paciente, esencialmente simultáneamente o con una separación de no más de 3 horas; y
- c) donde se realiza un análisis combinado del nivel de dicho glicano de Candida y el nivel de anticuerpo dirigido

contra dicha proteína de *Candida* seleccionada del grupo que consiste en Fba1, Eno1, Hsp90, Hwp1 y Mp65, calculando el nivel de un marcador virtual $Z = \Sigma$ a_i x [Marcador_i], donde [Marcador_i] son niveles individuales de marcador de glicano de *Candida* y de anticuerpo dirigido contra dicha proteína de *Candida* seleccionada del grupo que consiste en Fba1, Eno1, Hsp90, Hwp1 y Mp65, y a_i son coeficientes cuyos valores se determinan para maximizar el área bajo la curva (AUC) de la curva de característica operativa relativa (ROC) para la combinación de Marcador_i: v

- d) donde si el nivel del marcador virtual Z calculado en la etapa c) es más alto que un nivel de referencia del marcador virtual Z, entonces el sujeto está desarrollando o ha desarrollado candidiasis invasiva.
- 10 Procedimiento para determinar un régimen de tratamiento adecuado

[0083] Las altas tasas de mortalidad asociadas con la candidiasis invasiva (CI) se deben principalmente a la demora en identificar que un sujeto está afectado con CI e iniciar el tratamiento antifúngico apropiado.

- 15 **[0084]** La invención se refiere además a un procedimiento para determinar un régimen de tratamiento en un sujeto, dicho procedimiento comprende:
 - a) diagnosticar si el sujeto tiene candidiasis invasiva llevando a cabo el procedimiento de la invención, y
 - b) si el sujeto es diagnosticado con candidiasis invasiva, determinar un tratamiento antifúngico para dicho sujeto.

[0085] El sujeto puede ser un sujeto sospechoso de tener candidiasis invasiva o en riesgo de candidiasis invasiva. El sujeto puede ser en particular un sujeto que tiene infección superficial de piel y/o membranas mucosas. El sujeto también puede ser, por ejemplo, un sujeto inmunodeprimido que lleva un catéter intravenoso.

- 25 [0086] Un tratamiento antifúngico puede ser, por ejemplo, el tratamiento con equinocandinas que incluyen en particular caspofungina (1-[(4R, 5S)-5[(2-aminoetil)amino]-N2-(10,12-dimetil-1-oxotetradecil)-4-hidroxi-L-ornitina]-5-[(3R)-3-hidroxi-L-ornitina]neumocandina B₀), micafungina y/o anidulafungina (véase, por ejemplo, Patterson TF. Curr Infect Dis Rep 2006; 8:442-8). Las equinocandinas son lipopéptidos modificados sintéticamente que inhiben la síntesis de (1,3)-β-D-glucano. Otro tratamiento antifúngico puede ser, por ejemplo, el tratamiento con enfumafungina y derivados de la enfumafungina como se describe en la solicitud de patente publicada como US 20110224228. También pueden usarse la anfotericina B y sus formulaciones lipídicas, o derivados de azol antifúngicos como fluconazol, itraconazol y voriconazol (ver, por ejemplo, Pfaller y col. J Clin Microbiol 2006;44:819-26; Mean y col. Crit Care 2008:12:204).
- 35 **[0087]** Es posible la administración combinada de estos compuestos o la combinación con otros principios activos.

[0088] El tratamiento se administra preferentemente siempre que pueda detectarse manano circulante en el suero del sujeto.

40

20

Kit para diagnosticar candidiasis invasiva

[0089] La descripción se refiere además a un kit que comprende, o que consiste en:

- 45 a) medios para determinar la presencia o el nivel de un glicano de Candida que es manano; y
 - b) medios para determinar la presencia o el nivel de anticuerpos dirigidos contra una proteína de *Candida* seleccionada del grupo que consiste en fructosa bifosfato aldolasa (Fba1), enolasa 1 (Eno1), proteína de choque térmico 90 (Hsp90), proteína de pared de la hifa (Hwp1) y manoproteína 65 (Mp65).
- 50 **[0090]** Los medios para determinar la presencia o el nivel de un glicano de *Candida* pueden ser en particular medios para determinar la presencia o el nivel de manano de *Candida*, (1,3)-β-D-glucano o quitina. Tales medios pueden ser en particular anticuerpos tales como los descritos anteriormente (por ejemplo, EBCA1 para manano). Tales medios también pueden comprender un sustrato cromogénico y enzima(s) como las disponibles en la prueba de Fungitell (Associates of Cape Cod, MA, EE. UU.).

[0091] Los medios para determinar la presencia o el nivel de anticuerpo dirigido contra una proteína de *Candida* seleccionada del grupo que consiste en Fba1, Eno1, Hsp90, hwp1 o Mp65 pueden comprender proteína de *Candida* purificada, o fragmentos epitópicos de la misma, o un polipéptido que comprende proteínas de longitud completa, fragmentos epitópicos o variantes de los mismos que se han producido recombinantemente o sintetizado 60 químicamente, como se describe anteriormente.

[0092] La invención se ilustrará adicionalmente a la vista de las siguientes figuras y ejemplos.

FIGURAS

[0093]

5

20

40

Figuras 1-5. Representación de diagrama de caja del potencial de diagnóstico del anticuerpo antiproteína recombinante [RP-Ab; anti-Fba1 Ab respectivamente (figura 1); anti-Hwp1 Ab (Figura 2); anti-Hsp90 Ab (Figura 3); anti-Eno1 Ab (Figura 4); anti-Mp65 Ab (Figura 5)] o anticuerpos antimananos asociados con mananemia. La representación de diagrama de caja es una forma conveniente de representar gráficamente grupos de datos numéricos a través de sus resúmenes de cinco números (la observación más pequeña, el cuartil inferior (Q1), la mediana (Q2), el cuartil superior (Q3) y la observación más grande). Los diagramas de caja pueden ser útiles para mostrar diferencias entre poblaciones sin hacer ninguna suposición de la distribución estadística subyacente. CTRL representa controles y CI representa pacientes con candidiasis invasiva.

10 Figuras 6-10. Curvas ROC de combinaciones de RP-Ab [anti-Fba1 Ab respectivamente (figura 6); anti-Hwp1 Ab (Figura 7); anti-Hsp90 Ab (Figura 8); anti-Eno1 Ab (Figura 9); anti-Mp65 Ab (Figura 10) con mananemia. La prueba de diagnóstico real (anticuerpo manano y antígeno manano) se representó con líneas de puntos y la asociación de RP-Ab y la mananemia se representó con una línea negra.

15 **EJEMPLOS**

Eiemplo 1: Producción de proteína recombinante en E. coli

1) Cepas y plásmidos

[0094] Se usó Candida albicans SC5314 como fuente de ADN fúngico para generar las distintas proteínas recombinantes. La cepa DE3 de Escherichia coli se transformó para producir las proteínas recombinantes mientras que la cepa DH5α se usó para amplificar los plásmidos.

Los distintos genes que codifican proteínas recombinantes se clonaron en el plásmido pEXP5-NT/TOPO (Invitrogen) que permite la expresión de proteínas recombinantes con un indicador de polihistidina N-terminal (6xHis) en E. coli.

2) Clonación

30

[0096] Se expresaron seis proteínas recombinantes en E. coli como se describió anteriormente (Fradin y col., Infect Immun (2008), 76: 4509-4517): fragmento N-terminal de Hwp1 (aminoácidos 27 a 203), Eno1 (longitud completa). Mp65 sin su señal peptídica (aminoácidos 1 a 22). Fba1 (longitud total). Sod5 sin su señal peptídica (aminoácidos 1 a 22) y su secuencia consenso C-terminal GPI (últimos 24 aminoácidos terminales) y Hsp90 (longitud 35 completa).

[0097] Se diseñaron seis conjuntos de cebadores (Tabla 2 a continuación) para clonar los distintos genes o genes truncados. Los fragmentos amplificados por PCR con polimerasa Expand Taq de alta fidelidad (Roche) se clonaron directamente en el plásmido pEXP5-NT/TOPO.

Tabla 2. Conjunto de cebadores usados para la clonación de genes

roteínas recombinantes Conjunto de cebadores						
5'CAAGGTGAAACAGAGGAAGCT3' (SEQ ID NO :17) y						
5'TCAAGCAGGAATGTTTGGAGTAGT3' (SEQ ID NO :18)						
5'ATGTCTTACGCCACTAAAATCCACGC3' (SEQ ID NO :19) y						
5'TTACAATTGAGAAGCCTTTTGGAAATCTTTAC3' (SEQ ID NO :20)						
5'GCTCATCAACATCATCAACAT3' (SEQ ID NO :21) y						
5'TTAGTTAGAGTAAATACCCCAGTA3' (SEQ ID NÓ :22)						
5'ATGGCTCCTCCAGCAGTTTTA3' (SEQ ID NO :23) y						
5'TTACAATTGTCCTTTGGTGTG3' (SEQ ID NO :24)						
5'GATGCACCAATCTCAACTGAC3' (SEQ ID NO :25) y						
3'TTAACCTTGAGGAGCAGTAGAAGC3' (SEQ ID NO :26)						
5'ATGGCTGACGCAAAAGTTGAA3' (SEQ ID NO :27) y						
5'TTAATCAACTTCTTCCATAGC3' (SEQ ID NO :28)						

3) Transformación y producción de proteínas recombinantes

45 **[0098]** La cepa DE3 se transformó con los distintos vectores y se hizo crecer durante la noche en medio LB

que contenía ampicilina (100 µg.ml-1; Sigma) a 37 °C con agitación continua a 200 rpm. Los cultivos se usaron como inóculos para medios LB frescos que contenían ampicilina y se incubaron hasta que la densidad óptica a 600 nm fue de 0,8 antes de 4 h de inducción de fragmentos recombinantes con isopropil-β-D-tiogalactósido 0,5 mM (Sigma). Las células se cosecharon, se suspendieron en fosfato de sodio 50 mM, pH 8,0, con cloruro de sodio 0,3 M, imidazol 10 5 mM e inhibidores de proteasa (conjunto de cóctel inhibidor de proteasa IV; Calbiochem) y se sonicaron a 4 °C por pulsos de 20 segundos. Los sobrenadantes que contenían proteínas marcadas con 6xHis recombinantes se recuperaron por centrifugación a 4 °C durante 15 minutos a 10.000 g y se filtraron a través de una membrana de 0,45 µm (Millipore). Los fragmentos recombinantes se purificaron por cromatografía de afinidad de niquelquelato según las instrucciones del fabricante (Sigma). Las fracciones que contenían los polipéptidos purificados se agruparon, se 10 dializaron contra PBS y se almacenaron a -20 °C.

Ejemplo 2: Evaluación del potencial diagnóstico de anticuerpos antiproteína recombinante o anticuerpos antimanano asociados con mananemia

15 1) Materiales y procedimientos

Pacientes

Entre enero de 2005 y diciembre de 2007, se recogieron retrospectivamente 157 muestras de suero en 20 distintos departamentos clínicos del Hospital Universitario de Lille (LUH), de 53 pacientes (24 mujeres y 29 hombres [edad media, 56,78 +/- 23,71 años]) con candidiasis por Candida albicans comprobada. El número promedio de muestras por paciente en este grupo fue 2,68 +/- 2,13 (Tabla 3).

Tabla 3. Características clínicas de pacientes con infección sistémica por Candida albicans. Los pacientes fueron

clasificados según las unidades clínicas 25

Paciente	Sexo	Edad (años)	Unidad del hospital	N.º de suero	Fecha de recogida de la muestra de suero en relación con el cultivo sanguíneo (días)	Especies de Candida
1	F	34	Unidad de quemados	7	-10, -3, 0, 4, 13, 18, 22	Candida albicans
2	М	43	Unidad de quemados	4	-16, -9, 12, 27	Candida albicans
3	М	54	Unidad de quemados	3	-6, -4, 10	Candida albicans
4	F	54	Unidad de quemados	4	-10, -3, 4, 11	Candida albicans
5	F	59	Unidad de quemados	1	17	Candida albicans
6	М	68	Unidad de quemados	4	-10, -3, 4, 18	Candida albicans
7	F	75	Unidad de quemados	2	7, 14	Candida albicans
8	М	81	Cardiología	1	6	Candida albicans
9	F	31	Gastroenterología	1	0	Candida albicans
10	М	53	Gastroenterología	1	2	Candida albicans
11	М	59	Gastroenterología	3	-6, -2, 6	Candida albicans
12	М	78	Cirugía cardíaca	1	1	Candida albicans
13	F	46	Hematología clínica	8	-8, -5, 1, 5, 5, 16, 22, 27	Candida albicans
14	F	62	Hematología clínica	7	-3, 4, 12, 14, 20, 27, 29	Candida albicans
15	М	70	Hematología clínica	6	3, 10, 13, 17, 19, 24	Candida albicans

(continúa)

Paciente	Sexo	Edad (años)	Unidad del hospital	N.º de suero	Fecha de recogida de la muestra de suero en relación con el cultivo sanguíneo (días)	Especies de Candida
16	F	86	Enfermedades infecciosas	3	1, 7, 14	Candida albicans
17	М	10	Unidad de cuidados intensivos	2	3, 23	Candida albicans
18	F	14	Unidad de cuidados intensivos	1	4	Candida albicans
19	М	32	Unidad de cuidados intensivos	2	14, 30	Candida albicans
20	M	35	Unidad de cuidados intensivos	1	-1	Candida albicans
21	F	36	Unidad de cuidados intensivos	2	3, 10	Candida albicans
22	М	46	Unidad de cuidados intensivos	2	-2,5	Candida albicans
23	М	47	Unidad de cuidados intensivos	6	-3, 4, 13, 20, 27, 28	Candida albicans
24	М	49	Unidad de cuidados intensivos	2	-6, -2	Candida albicans
25	F	50	Unidad de cuidados intensivos	1	0	Candida albicans
26	М	57	Unidad de cuidados intensivos	6	-8, -2, 5, 12, 20, 27	Candida albicans
27	F	59	Unidad de cuidados intensivos	2	3, 4	Candida albicans
28	М	60	Unidad de cuidados intensivos	5	-10, -3, 4, 11, 25	Candida albicans
29	F	62	Unidad de cuidados intensivos	4	-12, -5, 2, 9	Candida albicans
30	М	64	Unidad de cuidados intensivos	2	2, 9	Candida albicans
31	М	66	Unidad de cuidados intensivos	5	2, 6, 8, 12, 13	Candida albicans
32	М	72	Unidad de cuidados intensivos	4	-5,2,6,9	Candida albicans
33	F	75	Unidad de cuidados intensivos	1	3	Candida albicans
34	F	76	Unidad de cuidados intensivos	9	4, 7, 11, 14, 17, 22, 25, 27, 28	Candida albicans
35	F	79	Unidad de cuidados intensivos	9	-1, 3, 4, 5, 6, 13, 14, 20, 27	Candida albicans
36	F	82	Unidad de cuidados intensivos	1	5	Candida albicans
37	F	87	Unidad de cuidados intensivos	4	2, 7, 22, 29	Candida albicans
38	М	89	Unidad de cuidados intensivos	2	-7, -1	Candida albicans
39	М	48	Unidad de cuidados quirúrgicos intensivos	1	2	Candida albicans
40	М	72	Unidad de cuidados quirúrgicos intensivos	1	0	Candida albicans

(continúa)

Paciente	Sexo	Edad (años)	Unidad del hospital	N.º de suero	Fecha de recogida de la muestra de suero en relación con el cultivo sanguíneo (días)	Especies de Candida
41	М	72	Unidad de cuidados quirúrgicos intensivos	3	-3, 4, 16	Candida albicans
42	F	73	Unidad de cuidados quirúrgicos intensivos	2	-5, 25	Candida albicans
43	М	73	Unidad de cuidados quirúrgicos intensivos	1	11	Candida albicans
44	М	78	Unidad de cuidados quirúrgicos intensivos	1	2	Candida albicans
45	F	83	Unidad de cuidados quirúrgicos intensivos	2	-9, 19	Candida albicans
46	М	15	Oncología	2	-5, 1	Candida albicans
47	М	6	Pediatría	6	15, 17, 18, 19, 24, 26	Candida albicans
48	F	14	Pediatría	1	-1	Candida albicans
49	F	17	Pediatría	3	-15, -8, 6	Candida albicans
50	М	53	Neumología	2	-11, -10	Candida albicans
51	F	80	Neumología	1	4	Candida albicans
52	М	64	Trasplantes	1	-1	Candida albicans
53	F	49	Traumatología	1	0	Candida albicans

^a M, masculino; F, femenino

[0100] También se recolectó un segundo grupo de 142 muestras de suero en distintas unidades del LUH de 40 pacientes (10 mujeres y 30 hombres [edad media, 58,00 +/- 21,97]) con candidiasis invasiva comprobada determinada por especies de levadura no *albicans* (Tabla 4). El número promedio de muestras por paciente en este grupo fue 3,59 5 +/- 2,66. Este grupo contiene 7 especies distintas de hongo levaduriforme: *Candida parapsilosis* (17 pacientes; 49 sueros), *Candida kruseï* (3 pacientes; 10 sueros), *Candida tropicalis* (5 pacientes; 20 sueros), *Candida glabrata* (12 pacientes; 40 sueros), *Geotrichum capitatum* (1 paciente; 12 sueros), *Candida norvegiensis* (1 paciente; 3 sueros) y Candida lusitaniae (1 paciente; 8 sueros).

Tabla 4. Características clínicas de pacientes con infección sistémica por *Candida*. Los pacientes se clasificaron según las especies de levadura involucradas en la CI y según las unidades clínicas.

Paciente	Sexo	Edad (años)	Unidad del hospital	N.º de suero	Fecha de recogida de la muestra de suero en relación con el cultivo sanguíneo (días)	Especies de Candida
54	М	21	Unidad de quemados	2	-1, 12	Candida parapsilosis
55	М	43	Unidad de quemados	4	-6,0,7,21	Candida parapsilosis
56	F	82	Hematología clínica	2	2,7	Candida parapsilosis
57	М	24	Unidad de cuidados intensivos	4	-11, -6, 0, 1	Candida parapsilosis
58	М	51	Unidad de cuidados intensivos	1	25	Candida parapsilosis

(continúa)

Paciente	Sexo	Edad (años)	Unidad del hospital	N.º de suero	Fecha de recogida de la muestra de suero en relación con el cultivo sanguíneo (días)	Especies de Candida
59	М	54	Unidad de cuidados intensivos	5	-10, -3, 4, 10, 18	Candida parapsilosis
60	М	65	Unidad de cuidados intensivos	1	-11	Candida parapsilosis
61	М	67	Unidad de cuidados intensivos	4	-11, -4, 3, 17	Candida parapsilosis
62	F	75	Unidad de cuidados intensivos	1	23	Candida parapsilosis
63	М	76	Unidad de cuidados intensivos	5	-15, -12, 2, 6, 9	Candida parapsilosis
64	М	78	Unidad de cuidados intensivos	3	-8, -3, 4	Candida parapsilosis
65	М	87	Unidad de cuidados intensivos	7	-14, -7, 0, 7, 14, 21,22	Candida parapsilosis
66	F	87	Unidad de cuidados intensivos	2	-5,8	Candida parapsilosis
67	М	65	Unidad de cuidados quirúrgicos intensivos	2	0, 1	Candida parapsilosis
68	М	57	Unidad de cuidados quirúrgicos intensivos	4	-5, 1,9,23	Candida parapsilosis
69	М	90	Unidad de cuidados quirúrgicos intensivos	1	3	Candida parapsilosis
70	F	10	Pediatría	1	3	Candida parapsilosis
71	М	47	Hematología clínica	3	-11, -4, 3	Candida krusei
72	М	68	Hematología clínica	6	-9, -7, -1, 4, 12, 19	Candida krusei
73	М	75	Oncología	1	4	Candida krusei
74	М	39	Unidad de quemados	5	-15, -8, 10, 13, 28	Candida tropicali
75	М	51	Hematología clínica	1	3	Candida tropicalis
76	F	62	Hematología clínica	10	-15, -6, -2, -1, 0, 1, 3, 5, 7, 1	2 Candida tropicali
77	М	8	Unidad de cuidados intensivos	3	1, 8, 18	Candida tropicalis
78	М	67	Oncología	1	-5	Candida tropicalis
79	М	24	Medicina hiperbárica	2	-2,5	Candida glabrata
80	М	31	Unidad de cuidados intensivos	1 3		Candida glabrata
81	М	57	Unidad de cuidados intensivos	5	0, 6, 13, 20, 27	Candida glabrata
82	М	63	Unidad de cuidados intensivos	4	-10, 2, 10, 11	Candida glabrata
83	М	63	Unidad de cuidados intensivos	8	-5, -4, -1, 0, 1, 3, 7, 12	Candida glabrata

(continúa)

Paciente	Sexo	Edad (años)	Unidad del hospital	N.º de suero	Fecha de recogida de la muestra de suero en relación con el cultivo sanguíneo (días)	Especies de Candida
84	F	69	Unidad de cuidados intensivos	1	14	Candida glabrata
85	F	76	Unidad de cuidados intensivos	5	-9, -5, 2, 9, 16	Candida glabrata
86	F	87	Unidad de cuidados intensivos	3	-7, 7, 12	Candida glabrata
87	F	24	Unidad de cuidados quirúrgicos intensivos	5	-11, -7, -5, 0, 10	Candida glabrata
88	М	71	Unidad de cuidados quirúrgicos intensivos	2	1, 15	Candida glabrata
89	М	85	Unidad de cuidados quirúrgicos intensivos	3	2, 4, 11	Candida glabrata
90	F	60	Oncología	1	8	Candida glabrata
91	М	64	Hematología clínica	12 -15, -11, -9, -6, -3, -1, 1, 4, 6, 11, 13, 15		Geotrichum capitatum
92	М	45	Hematología clínica	a 3 1, 7, 12		Candida norvegensis
93	М	76	Hematología clínica	8 -10, -3, -1, 1, 4, 6, 8, 11		Candida Iusitaniae

^a M, masculino; F, femenino

[0101] Los siguientes criterios se aplicaron como reglas de selección retrospectivas cuando se examinaron los archivos clínicos y de laboratorio: (i) hemocultivo positivo de especies de *Candida*; (ii) disponibilidad de muestras de suero obtenidas dentro de un intervalo de 3 semanas antes y 1 mes después de cultivos positivos, (iii) la presencia de factores de riesgo (cáncer y quimioterapia, cirugía abdominal, SIDA, problemas de salud importantes que requieren hospitalización en unidades de cuidados intensivos [UCI]) y uso de antibióticos de amplio espectro, catéteres intravasculares permanentes e hiperalimentación; y (iv) la presencia de un síndrome infeccioso (a saber, fiebre) que no respondió a la terapia antibacteriana pero sí a la terapia antimicótica. Con el fin de evaluar el rendimiento de los biomarcadores para el diagnóstico precoz de CI, la selección de muestras de suero se restringió al período de 2 semanas antes a 1 mes después de la fecha de aislamiento de las especies de levaduras del cultivo de sangre. Después de la recogida de muestras de sangre, se centrifugaron las muestras de sangre y se almacenaron alícuotas de suero a -80 °C hasta que su uso.

Grupo de control.

15

20

25

[0102] Se incluyeron dos grupos de sueros de control en este estudio:

(i) El Grupo 1 comprendía 90 muestras de suero de 90 pacientes hospitalizados (32 mujeres y 58 hombres; edad media, 64 +/- 15,5 años) sin evidencia de candidiasis invasiva. Este grupo de pacientes se inscribió en un estudio prospectivo realizado en una UCI del LUH durante 6 meses. El estudio fue diseñado para la evaluación de los factores de riesgo para la candidiasis nosocomial. Estos pacientes se sometieron a una encuesta clínica y micológica durante períodos de 1 a 74 días (media, 12 días). Las muestras de sangre, hisopos orales, orina y heces se recolectaron quincenalmente. Entre los 90 pacientes, 71 fueron colonizados por especies de levadura con evaluación del número de sitios colonizados del cuerpo: 1 sitio (16,9 %), 2 sitios (26,8 %), 3 sitios (26,8 %), 4 sitios (25,3 %) y 5 sitios (4,2 %).

(ii) El grupo 2 consistió en 80 muestras de suero de donantes de sangre sanos.

Detección de EIA de anticuerpos antimanano de C. Albicans en sueros humanos.

30 **[0103]** Los anticuerpos contra manano de *Candida albicans* se detectaron usando la prueba de anticuerpos Platelia *Candida* (Ab) Plus (BioRad Laboratories, Marnes La-Coquette, Francia) según las instrucciones del fabricante. Brevemente, el inmunoensayo enzimático (EIA) se realizó con el automatismo BEP III (Behring Laboratories, París, Francia). Para sueros individuales, se aplicaron 100 μl de suero diluido 1/400 a cada pocillo y la placa se incubó durante 1 h 37 °C. Después del lavado, se añadieron 100 μl de inmunoglobulinas antihumanas conjugadas con peroxidasa de rábano picante y las placas se incubaron durante 1 h 37 °C. Después del lavado intensivo, la reacción

se reveló por 30 minutos de incubación en la oscuridad con 200 μ l de disolución de tetrametilbencidina. Se midió la absorbancia a una λ de 450/620 nm. Los resultados se informaron en unidades arbitrarias (AU) en relación con los resultados en la curva estándar.

5 Detección de mananemia.

[0104] El manano circulante se detectó usando la prueba de antígeno Plus (Ag) Platelia *Candida* (Bio-Rad Laboratories, Marnes-La-Coquette, Francia) como se describió anteriormente (Sendid y col., J Med Microbiol. 2002 May;51(5):433-42). Brevemente, las placas de microtitulación se sensibilizaron en un entorno industrial con anticuerpo monoclonal (anticuerpo monoclonal EBCA1 de la prueba de antígeno Plus (Ag) de Platelia *Candida*). Se desnaturalizaron 300 μl de suero del paciente con 100 μl de disolución de tratamiento con EDTA y la mezcla se hirvió durante 3 minutos y se centrifugó a 10.000 g durante 10 minutos. 50 μl de sobrenadante, obtenido del suero del paciente y tratado como se describió anteriormente, se mezcló en una placa con 50 μl de EBCA1 conjugado con peroxidasa de rábano picante. Después de la incubación durante 90 minutos a 37 °C, las placas se lavaron intensamente y la reacción se reveló por 30 minutos de incubación en la oscuridad con 200 μl de disolución de tetrametilbencidina. La densidad óptica se leyó a una λ de 450/620 nm en un lector PR2100 (Sanofi Pasteur Diagnostics). Las reacciones se realizaron por duplicado. Cada experimento incluyó una curva de calibración para un grupo de sueros humanos normales suplementados con concentraciones de manano de 0,1 a 27 ng/ml.

20 Detección por EIA de anticuerpos antiproteínas recombinantes de C. albicans en sueros humanos

[0105] Las proteínas recombinantes se revistieron en placas ELISA (NUNC IMMUNO-MODULE 468680) a una concentración de 2 μg/ml para Mp65 y Eno1 y a una concentración de 4 μg/ml para Fba1, Hwp1 y Hsp90 producidas en *Escherichia coli*, con disolución de carbonato pH 9,5 +/- 0,2 filtrado 0,22 μm para todos los antígenos. Estas preparaciones se incubaron a temperatura ambiente durante la noche.

[0106] Después del recubrimiento, los pocillos se bloquearon con 100 μl de disolución de albúmina de suero bovino/sacarosa, pH 7,2 +/- 0,2, se filtraron 0,22 μm, se vaciaron y se llenaron con 200 μl de la misma disolución. Las placas se congelaron a continuación a -20 °C. Los protocolos para el recubrimiento de antígenos, la preparación de 30 disoluciones diluyentes, la dilución de sueros de pacientes y las soluciones conjugadas se basaron en experimentos preliminares realizados con un grupo de sueros de pacientes con CI que se sabe que muestran títulos altos de anticuerpos anti-*Candida*.

[0107] Los sueros de los pacientes se diluyeron 1/100 en tampón salino Tris y BSA pH 7,6 y se incubaron durante 1 h a 37 °C en una placa recubierta en una incubadora seca, se lavaron 3 veces con 800 μl de tampón salino Tris y Tween 20 (0,1 %) y proclina (0,07 %), se incubaron 1 h a 37 °C con un anticuerpo antiinmunoglobulina total secundario conjugado con peroxidasa (Bio-Rad, Marnes La Coquette, Francia), se lavaron 3 veces como se describió previamente y se incubaron 30 minutos con 200 μl de tetrametilbencidina (TMB) y se almacenaron a temperatura ambiente sin luz. La reacción se detuvo mediante la adición de 100 μl de disolución de parada que contenía H₂SO₄ 2 M y las absorbancias se midieron a 450/620 nm. Paralelamente, todos los sueros se probaron al mismo tiempo con las pruebas de EIA caseras con proteínas recombinantes, la PlateliaTM Candida Ab Plus y la PlateliaTM Candida Ag.

Análisis estadístico

El análisis estadístico se realizó en colaboración con SysDIAG: Systemes Complexes pour le Diagnostic (UMR3145 CNRS/Bio-Rad, Montpellier, France). Todas las estadísticas y cifras se calcularon con el software de código abierto estadístico «R/Bioconductor» (Ge y col. Test 2003; 12:1-77; Gentleman y col. Genome Biol 2004;5: R80) o software SAS v9.2 (SAS institute Inc). Se realizó un análisis diferencial con la prueba de suma de rangos de Wilcoxon no paramétrica y la prueba de Welch. Con las múltiples metodologías de prueba, es importante ajustar el valor p de cada marcador para controlar la tasa de descubrimiento falso (FDR). El procedimiento de Benjamini y Hochberg (BH) (Benjamini y col. Behav Brain Res 2001; 125:279-84) se aplicó en todas las pruebas estadísticas con el «paquete de pruebas múltiples» y un valor p ajustado por debajo de 0,05 se consideró estadísticamente significativo. Se aplicó una transformación logarítmica (log10) en los niveles de expresión de biomarcadores para garantizar la normalidad de los datos. Todas las distribuciones de datos se ilustran como medianas y diagramas de caja para cada biomarcador. Se aplicó una correlación de prueba de Pearson para identificar la correlación de biomarcadores para todos los grupos de pacientes.

[0109] El rendimiento diagnóstico del marcador podría caracterizarse por la <u>sensibilidad</u>, que representa su capacidad de detectar la población de Cl y la <u>especificidad</u> que representa su capacidad de detectar la población de 60 control.

[0110] Los resultados de la evaluación de una prueba de diagnóstico se pueden resumir en una tabla de contingencia 2×2 que compara estas dos poblaciones bien definidas. Al fijar un límite, las dos poblaciones podrían clasificarse en categorías según los resultados de la prueba, clasificadas como positivas o negativas. Dado un 65 marcador particular, podemos identificar un número de sujetos con un resultado positivo de la prueba entre la población

de «casos» (el «Verdadero positivo»: TP) y sujetos *b* con un resultado de prueba positivo entre la población de «controles» (el «Verdadero negativo»: *TN)*. Del mismo modo, se observan sujetos *c* con un resultado negativo en la prueba entre los casos (el «Falso positivo»: FP) y sujetos *d* con un resultado de prueba negativo entre los controles (el «Falso negativo»: FN). La <u>sensibilidad</u> se define como TP/(TP+FN); denominada en lo sucesivo «tasa positiva verdadera». La especificidad se define como TN/(TN+FP); denominada en lo sucesivo «tasa negativa verdadera».

[0111] La precisión de cada marcador y su poder discriminatorio se evaluaron mediante un análisis de las características operativas de recepción (ROC). Las curvas ROC son la visualización gráfica de la relación recíproca entre la sensibilidad (Se) y la especificidad (Sp) de una prueba para varios valores.

[0112] Además, todos los marcadores se combinaron con el antígeno manano (Ag) para evaluar el aumento potencial de sensibilidad y especificidad utilizando varias estrategias como programa mROC (Kramar y col. Computer Methods and Programs in Biomedicine 2001;66:199-207), regresión logística (Kleinbaum, D.G., Kupper, L.L., Muller, K.E. (1988) Applied Regression Analysis and other Multivariate Methods. Duxbury Press, Belmont, California) y con dos algoritmos de aprendizaje supervisado, CART (Breiman L. Classification and regression trees. Wadsworth International Group, 1984.) and wKNN (Hechenbichler K, Schliep K. Weighted k-Nearest-Neighbor Techniques and Ordinal Classification. Volume 399, 2004).

[0113] mROC es un programa desarrollado por Kramar y col. (Comput Methods Programs Biomed, 2001,66:199-207) que se dedica a identificar la combinación lineal que maximiza el AUC (Área bajo la curva) de las curvas ROC. El uso de este programa se describió, por ejemplo, en Staack y col. BMC Urol 2006;6:19. Este programa implementa un algoritmo para maximizar la estimación de correlación de rango, que también es una estimación del área bajo la curva ROC (Su and Liu. Journal of the American Statistical Association 1993; 88:1350-1355; Wang, Computational Statistics and Data Analysis 2007;51:2803-2812). Se proporciona la ecuación para la combinación 25 respectiva y se puede usar como un nuevo marcador virtual Z de la manera siguiente:

$Z = a \times Marker_1 + b \times Marker_2 + c \times Marker_3$

donde a, b, c son coeficientes calculados y Marcador₁₂₃ son niveles individuales de marcadores.

10

30

[0114] También se aplicó un modelo de regresión logística para el análisis univariado y multivariado para estimar el riesgo relativo de CI a distintos valores de biomarcadores. Analizamos los biomarcadores como variables continuas (datos no mostrados) y categóricas (utilizando los valores del cuartil como puntos de corte). En los últimos casos, se calcula la razón de posibilidades (OR) y su intervalo de confianza del 95 %.

[0115] También se aplicó una estrategia CART (árboles de clasificación y regresión) para evaluar las combinaciones (biomarcador + Ag manano). Esta estrategia de árbol de decisión permite producir un conjunto de reglas de clasificación, representadas por un gráfico jerárquico fácilmente comprensible para el usuario. En cada nodo del árbol, se toma una decisión. Por convención, la rama izquierda corresponde a una respuesta positiva a la pregunta 40 de interés y la rama derecha corresponde a una respuesta negativa a la pregunta de interés. El procedimiento de clasificación se puede traducir como un conjunto de reglas «SI - ENTONCES».

[0116] Se aplicó una estrategia wKNN (K vecinos más próximos ponderados, por sus siglas en inglés) como anteriormente para evaluar las combinaciones (biomarcador + Ag manano). El algoritmo wKNN es una de las variaciones del procedimiento KNN que usa los K vecinos más próximos, independientemente de sus clases, pero luego usa votos ponderados de cada muestra en lugar de una simple regla de votación por mayoría o pluralidad. Dado un paciente xi, cada una de las muestras K proporciona un voto ponderado que generalmente es igual a alguna función decreciente de su distancia de la muestra desconocida x. Estos votos ponderados se suman a continuación para cada aproximación y la clase con el mayor voto total se atribuye a x.

[0117] CART y wKNN son procedimientos de aprendizaje supervisados. Estos procedimientos requieren el uso de un conjunto de entrenamiento utilizado para construir el modelo y un conjunto de prueba para validarlo. Así, hemos compartido nuestro conjunto de datos: 2/3 del conjunto de datos se usan para la fase de aprendizaje y 1/3 se usa para la fase de validación. Este intercambio se ha aleatorizado y respeta la proporción inicial de los distintos estatutos en cada muestra. Para estimar la predicción de errores de estos dos clasificadores, utilizamos el procedimiento de validación cruzada 10 veces, repetido 10 veces para evitar problemas de sobreajuste. Para estas estrategias, utilizamos el «paquete ipred», el «paquete rpart» yel «paquete kknn» del software R.

[0118] El análisis jerárquico de agrupación ascendente (HAC) es un procedimiento de análisis de agrupación basado en una matriz de distancia por pares que construye una jerarquía de agrupaciones con estrategias secuencialmente aglomerativas y divisivas. Hemos utilizado este procedimiento para organizar el mapa y agrupar la muestra según el nivel más cercano de intensidad de biomarcador. Para este análisis, los datos sin procesar se centraron en la media y se eligieron como parámetros la matriz de correlación de Pearson y el enlace promedio.

2) Resultados

10

15

Estandarización de pruebas.

5

[0119] Para cada experimento se utilizaron 3 controles de suero. El control negativo recogido de un sujeto sano y 2 sueros positivos consistió en 1 grupo de sueros con reactividad conocida contra manano de *Candida albicans* y un suero recogido de un paciente perteneciente al grupo de CI seleccionado de series de experimentos anteriores. Todos estos controles nos permitieron reducir las variaciones entre experimentos.

[0120] Se realizó un estudio del potencial de diagnóstico de distintas proteínas recombinantes por comparación de medianas. Cuando se analizaron los datos serológicos, los anticuerpos contra Fba1 (Fba1 Ab), Hwp1 (Hwp1 Ab), Hsp90 (Hsp90 Ab), Eno1 (Eno1 Ab) y Mp65 (Mp65 Ab) son los mejores biomarcadores para discriminar a los pacientes con CI de los controles, sin embargo, la respuesta humoral contra Sod5 fue menos diferenciadora para ambos grupos.

Comparación de la reactividad serológica contra un grupo de antígenos dentro de los grupos de CI y de control

[0121] Utilizando todos los grupos de pacientes (CI frente a controles), se realizaron diagramas de caja para cada combinación de prueba de mananemia y pruebas de EIA que involucraban proteínas recombinantes (Figuras 1-5). Cuando se comparó la respuesta de anticuerpos contra cada proteína recombinante asociada a la prueba de mananemia con las pruebas de mananemia y de anticuerpos antimanano, se observaron diferencias significativas para Fba1 (p<0,0001; figura 1), Hwp1 (p<0,0001; figura 2), Hsp90 (p<0,0001; figura 3), Eno1 (p<0,0001; figura 4) y Mp65 (p<0,0001; figura 5).

25 Análisis del potencial diferenciador de cada combinación de RP-Ab/mananemia en comparación con la asociación de mananemia y anticuerpo antimanano

[0122] Se probaron combinaciones de más de 2 marcadores, sin embargo, ninguno ha mejorado significativamente los resultados obtenidos combinando mananemia y uno de los anticuerpos antiproteína 30 recombinante.

[0123] Las curvas ROC muestran la mejora del diagnóstico de CI con la combinación de RP-Ab y antígeno manano en comparación con la combinación de antígeno manano y anticuerpo antimanano (figuras 6-10).

35 Comparación de la sensibilidad y especificidad del análisis combinado de mananemia y RP-Ab.

[0124] El análisis retrospectivo de la cohorte permitió una sensibilidad y una especificidad de 26,6 % y 99,4 % respectivamente para la mananemia sola cuando la combinación de PlateliaTM *Candida* Ag y Ab mostró una mejora de la sensibilidad (80,0 %) y una disminución de la especificidad (61,7 %).

[0125] Las curvas ROC obtenidas de la combinación de RP-Ab/mananemia (análisis de marcadores combinados por suero) mostraron una mejora significativa de los rendimientos de diagnóstico revelados por las AUC: 0,902, 0,886, 0,884, 0,872 y 0,853 para Fba1, Hwp1, Hsp90, Eno1 y Mp65, respectivamente, frente a 0,769 para la combinación de mananemia y anticuerpos antimanano (Tabla 5).

[0126] Además, la asociación de RP-Ab y mananemia aumenta significativamente la sensibilidad y la especificidad. Con una especificidad arbitrariamente fija en 80,0 % para la combinación de Ag manano + Ab manano, las sensibilidades de Ag manano + Hsp90, Ag manano + Fba1 Ab, Ag manano + Hwp1 Ab, Ag manano + Eno1 Ab y Ag manano + Mp65 Ab fueron 80,9 %, 83,8 %, 83,8 %, 79,1 % y 75,5 %, respectivamente, mientras que las pruebas 50 de diagnóstico serológico actuales que combinaron Ag manano + Ab manano tienen una sensibilidad del 61,7 % (Tabla 5).

Tabla 5. Potencial de diagnóstico (estrategia mROC) de RP-Ab asociado con mananemia para el diagnóstico de CI. (*) Marcadores normalizados por una transformación de log10.

Combinación de 2 biomarcadores	AUC	Valor de corte	Se(%)	Sp(%)	PPV(%)	NPV(%)	C195%
Ag* manano + Fba1 Ab*	0,902	-1,975	83,8	80,0	86,9	75,0	[0,871; 0,927]
Ag* manano + Hwp1 Ab*	0,886	-2,629	83,8	80,0	87,2	75,2	[0,851; 0,915]

55

40

(continúa)

Combinación de 2 biomarcadores	AUC	Valor de corte	Se(%)	Sp(%)	PPV(%)	NPV(%)	C195%
Ag* manano + Hsp90 Ab*	0,884	-2,031	80,9	80,0	86,8	72,0	[0,848; 0,911]
Ag* manano + Eno1 Ab*	0,872	-2,209	79,1	80,0	86,6	70,1	[0,835; 0,901]
Ag* manano + Mp65 Ab*	0,853	-1,483	75,5	80,0	86,4	66,8	[0,815; 0,885]
Ag* manano + Ab* manano	0,769	-0,869	61,7	80,0	83,8	56,3	[0,723; 0,809]

AUC: área bajo la curva; Se: sensibilidad; Sp: especificidad; VPP: valor predictivo positivo (mide la proporción de sujetos con resultados positivos de las pruebas que se diagnostican correctamente); VPN: valor predictivo negativo (mide la proporción de sujetos con resultados negativos de las pruebas que se diagnostican correctamente); IC 95 %: 95 % intervalo de confianza. El valor de corte se ajustó para una especificidad del 80 %.

[0127] Cabe destacar que la contribución de la asociación de RP-Ab y mananemia fue significativamente mayor para los pacientes infectados por *Candida parapsilosis*, donde RP-Ab alcanzó una sensibilidad del 67,2 % frente al 21,3 % para los anticuerpos antimanano. Tal mejora también se observó en episodios determinados por *Candida albicans*, *Candida krusei*, *Candida glabrata*, *Candida tropicalis* y *Candida lusitaniae*.

[0128] En comparación con la combinación de mananemia con anticuerpos antimanano, la combinación de mananemia y RP-Ab mejoró la especificidad de detección de CI asociada con *Geotrichum capitatum* o *Candida norvegiensis*.

Análisis de RP-Ab/mananemia para la precocidad del diagnóstico de Cl

[0129] La contribución de la asociación RP-Ab/mananemia al diagnóstico temprano de CI se realizó considerando solo las muestras de suero recogidas durante el período del día 15 y el día del aislamiento de las 15 especies de levaduras del hemocultivo (día de positividad del hemocultivo).

[0130] Todas las combinaciones fueron capaces de diferenciar significativamente CI de los controles (p <0,0001) con valores más altos de AUC que Ag manano/Ab manano (Tabla 6).

Tabla 6. Análisis del rendimiento de la asociación de biomarcadores en dos semanas antes del aislamiento de levaduras de las muestras de sangre.

Combinaciones de marcadores	pWILCOX	pWILCOX _FDR	pWELCH	INWELCH FIJR	Mediana Nfold	AUC
Ag manano + Fba1 Ab	0,0001	0,00011	0,00010	0,00012	2,06	0,892
Ag manano + Hwp1 Ab	0,0001	0,00011	0,00010	0,00012	1,63	0,872
Ag manano + Hsp90 Ab	0,0001	0,00011	0,00010	0,00012	1,64	0,871
Ag manano + Eno1 Ab	0,0001	0,00011	0,00010	0,00012	1,48	0,863
Ag manano + Mp65 Ab	0,0001	0,00011	0,00010	0,00012	1,63	0,826
Ag manano + Ab manano	0,0001	0,00011	0,00010	0,00012	1,19	0,719

[0131] La determinación del día medio de positividad de los distintos biomarcadores se realizó entre el día 15 y el día del aislamiento de la levadura de las muestras de sangre. Para todos estos marcadores la media de positividad 25 es de entre -5 y -6 días antes del aislamiento de las levaduras de las muestras de sangre.

Tabla 7. Determinación del día medio de positividad de distintas asociaciones de RP-Ab y mananemia en comparación con el día de aislamiento de levaduras en muestras de sangre.

Combinaciones de marcadores	Media (día positivo)
Ag manano + Ab manano	-5,05
Combinaciones de marcadores	Media (día positivo)
Ag manano + Fba1 Ab	-5,59
Ag manano + Hsp90 Ab	-5,28
Ag manano + Eno1 Ab	-5,48
Ag manano + Hwp1 Ab	-5,41
Ag manano + Mp65 Ab	-5,31

[0132] En consecuencia, todos los RP-Ab/mananemia siguieron siendo diferenciadores de CI, incluso si no hubo una diferencia significativa con la mananemia/anticuerpo antimanano en términos de retraso medio de positividad antes del cultivo sanguíneo (5-6 días antes del cultivo sanguíneo positivo).

Determinación de la razón de posibilidades diagnóstica de distintas combinaciones de anticuerpos y antígenos para el diagnóstico de CI

10

15

[0133] La razón de probabilidades refleja la escala de riesgo para desarrollar CI según la intensidad de la respuesta de anticuerpos contra RP y los niveles de mananemia. Si tenemos en cuenta que el pronóstico de CI está estrechamente relacionado con el retraso del inicio de la terapia antimicótica, esta proporción podría ayudar a identificar a los pacientes que necesitan un tratamiento antimicótico temprano.

[0134] Para todas las asociaciones de marcadores, se determinaron 3 modalidades de intensidad de respuesta en función del reparto de los valores obtenidos en la cohorte (utilizando los valores del cuartil como puntos de corte). Por lo tanto, para cada combinación de marcadores, los valores de la modalidad 1 (mod1) son relativos al intervalo [Min, T1[(1.er tercil), los valores de la modalidad 2 (mod2) son relativos al intervalo [T1, T2[(2.º tercil) y los valores de la modalidad 3 (mod3) son relativos al intervalo [T2, Max[(3.er tercil). Cuanto más alta es la intensidad de la respuesta, más importante es el riesgo de CI.

[0135] La combinación de anticuerpos antimananos y mananemia se asoció con razones de posibilidad (OR) significativas y ajustadas que variaron entre 2,4 y 17,5. En comparación, la combinación (Mp65 Ab y mananemia) se asoció con razones de posibilidad significativas y ajustadas que varían entre 5,5 y 47,9. La combinación (Eno1 Ab y mananemia) se asoció con razones de posibilidad significativas y ajustadas que varían entre 7,7 y 59,4. La combinación (Hwp1 Ab y mananemia) se asoció con razones de posibilidad significativas y ajustadas que varían entre 7,1 y 65,5. La combinación (Hsp90 Ab y mananemia) se asoció con razones de posibilidad significativas y ajustadas que varían entre 6,8 y 77,5. La combinación (Fba1 Ab y mananemia) se asoció con razones de posibilidad significativas 30 y ajustadas que varían entre 8,8 y 108,2 para (Tablas 8-13).

Tabla 8. Determinación de razones de posibilidad en Ag manano + Ab manano según la intensidad de las señales

Estimaciones de las razones de posibilidad									
Efecto	Intervalo de modalidad	Estimación	Wald	95 %					
Electo	intervalo de modalidad	puntual	Límites de confianza						
Ag manano + Ab manano mod2 vs mod1	[0.05; 0,64[vs [-2,19; 0,05[2,414	1,519	3,838					
Ag manano + Ab manano mod3 vs mod1	[0,64; 8,65[vs [-2,19; 0,05[17,485	85 9,041 33,817						
Ag manano + Ab manano mod3 vs mod2	[0,64; 8,65[vs [0,05; 0,64[7,242	3,763	13,936					

Tabla 9. Determinación de razones de posibilidad en Ag manano + Mp65 Ab según la intensidad de las señales

Estimaciones de las razones de posibilidad											
Efecto	Intervalo de modalidad	Estimación	Wald 95 %								
Electo	intervalo de modalidad	puntual	Límites de confianza								
Ag manano + Mp65 Ab mod2 vs mod1	[-0,09; 1.43[vs [-6.89; - 0,09[5,456	3,324	8,956							
Ag manano + Mp65 Ab mod3 vs mod1	[1,43; 10. 37[vs [-6.89; - 0,09[47,887	21,578	106,276							
Ag manano + Mp65 Ab mod3 vs mod2	[1,43; 10.37[vs [-0.09; 1,43[8,777	3,979	19,360							

5 Tabla 10. Determinación de razones de posibilidad en Ag manano + Eno1 Ab según la intensidad de las señales

Estimaciones de las razones de posibilidad											
Efecto	Intervalo de modalidad	Estimación	Wald 95 %								
Electo	intervalo de modalidad	puntual	Límites de confianza								
Ag manano + Eno1 Ab mod2 vs mod1	[-0,30; 1,61[vs [-3,75; - 0,30[7,739	4,613	12,983							
Ag manano + Eno1 Ab mod3 vs mod1	[1,61; 20,74[vs [-3,75; - 0,30[59,421	26,538	133,049							
Ag manano + Eno1 Ab mod3 vs mod2	[1,61; 20,74[vs [-0,30; 1,61[7,678	3,466	17,011							

Tabla 11. Determinación de razones de posibilidad en Ag manano + Hwp1 Ab según la intensidad de las señales.

Estimaciones de las razones de posibilidad											
Efecto	Intervalo de modalidad	Estimación	Wald 95 %								
Electo	intervalo de modalidad	puntual	Límites de confianza								
Ag manano + Hwp1 Ab mod2 vs mod1	[-0,34; 1,90[vs[-4,45; - 0,34[7,065	4,237	11,781							
Ag manano + Hwp1 Ab mod3 vs mod1	[1,90; 11.66[vs [4.45; - 0,34[65,464	28,095	152,538							
Ag manano + Hwp1 Ab mod3 vs mod2	[1,90; 11,66[vs [0,34; 1,90[9,266	4,018	21,365							

Tabla 12. Determinación de razones de posibilidad en Ag manano + Hsp90 según la intensidad de las señales.

Estimaciones de las razones de posibilidad											
Efecto	Intervalo de modalidad	Estimación	Wald 95 %								
Efecto	intervalo de modalidad	puntual	Límites de confianza								
Ag manano + Hsp90 Ab mod2 vs mod1	[-0,35; 1,89[vs [-7,45; - 0,35[6,777	4,068	11,289							
Ag manano + Hsp90 Ab mod3 vs mod1	[1,89; 12,40[vs [-7,45; - 0,35[77,458	31,551	190,161							

(continúa)

Ffeete	latamaska da sa adalida d	Estimación	Wald 95 %				
Efecto	Intervalo de modalidad	puntual	Límites de confianza				
Ag manano + Hsp90 Ab mod3 vs mod2	[1,89; 12,40[vs [-0,35; 1,89[11,430	4,705	27,771			

Tabla 13. Determinación de razones de posibilidad en Ag manano + Fba1 Ab según la intensidad de las señales.

Estimaciones de las razones de posibilidad											
Efecto	Intervalo de modalidad	Estimación	Wald	I 95 %							
Efecto	intervalo de modalidad	puntual	Límites de confianza								
Ag manano + Fba1 Ab mod2 vs mod1	[-0,39; 2,17[vs [-8,08; - 0,39[8,762	5,180	14,822							
Ag manano + Fba1 Ab mod3 vs mod1	[2,17; 11,96[vs [-8,08; - 0,39[108,250	40,808	287,149							
Ag manano + Fba1 Ab mod3 vs mod2	[2,17; 11,96[vs [-0,39; 2,17[12,354	4,745	32,165							

[0136] Por lo tanto, según esta escala, la asociación de anticuerpo antimanano y mananemia permite un riesgo máximo de 17,5, mientras que el riesgo obtenido con la asociación de mananemia y RP-Ab alcanza 47,9, 59,4, 65,5, 77,5 y 108,2 para Mp65, Eno1, Hwp1, Hsp90 y Fba1 respectivamente.

10 Realización de la interpretación combinada de los ensayos de biomarcadores separados

5

[0137] El desempeño del procedimiento de diagnóstico se basa en la interpretación combinada de los ensayos de biomarcadores separados, es decir, en la determinación de si un nivel elevado de dicho glicano de *Candida* y/o un nivel elevado de anticuerpos dirigidos contra dicha proteína de *Candida* seleccionada del grupo que consiste en Fba1,
 15 Eno1, Hsp90, Hwp1 y Mp65, en relación con su nivel de referencia respectivo detectado, se evaluaron tanto en suero como en pacientes. En la evaluación en suero, se evalúa si los niveles de biomarcadores medidos en cada muestra de suero de cualquier paciente condujeron correctamente a la identificación del paciente con o sin candidiasis invasiva. En la evaluación de pacientes, se evalúa si los niveles de biomarcadores medidos en muestras de suero de un paciente

dado condujeron correctamente a la identificación del paciente con o sin candidiasis invasiva.

[0138] Los rendimientos en suero utilizando la interpretación combinada de ensayos separados, como se detalla en la Tabla 14, muestran que para una especificidad establecida en 79,9 % (aproximadamente 80 %) los niveles de sensibilidad obtenidos para las distintas combinaciones de biomarcadores Ag manano + Ab proteína, aunque no son idénticos a los obtenidos en suero utilizando el análisis combinado de los biomarcadores (resultados mostrados en la Tabla 5), todos mejoran en comparación con la prueba de referencia Ag manano + Ab manano.

Tabla 14. Rendimientos en sueros utilizando interpretación combinada de ensayos separados

Marcadores	Sensibilidad (%)	Especificidad (%)
Ag manano + Hsp90 Ab	74,8	79,9
Ag manano + Mp65 Ab	75,6	79,9
Ag manano + Fba1 Ab	83,5	79,9
Ag manano + Eno1 Ab	78,3	79,9
Ag manano + Hwp1 Ab	81,5	79,9
Ag manano + Ab* manano	62,6	75,1

* valores de sensibilidad y especificidad de las pruebas actuales Platelia *Candida* antigen (Ag) y Platelia *Candida* Ab Plus (Bio-Rad Laboratories, Marnes-La-Coquette, Francia).

[0139] La comparación de la Tabla 14 y la Tabla 15 muestra que los rendimientos en suero o en pacientes que 30 usan la interpretación combinada de ensayos separados son similares.

Tabla 15. Rendimientos en pacientes utilizando interpretación combinada de ensayos separados

Marcadores	Sensibilidad (%)	Especificidad (%)
Ag manano + Hsp90 Ab	80,6	79,9
Ag manano + Mp65 Ab	83,9	79,9
Ag manano + Fba1 Ab	84,9	79,9
Marcadores	Sensibilidad (%)	Especificidad (%)
Ag manano + Eno1 Ab	82,8	79,9
Ag manano + Hwp1 Ab	84,9	79,9
Ag manano + Ab* manano	61,3	75,1

^{*} valores de sensibilidad y especificidad de las pruebas actuales Platelia *Candida* antigen (Ag) y Platelia *Candida* Ab Plus (Bio-Rad Laboratories, Marnes-La-Coquette, Francia).

LISTADO DE SECUENCIAS

[0140]

5 <110> Bio-Rad Innovations Centre Hospitalier Regional Universitaire de Lille Universite Lille 2 Droit et Sante
<120> PROCEDIMIENTO PARA EL DIAGNÓSTICO DE LAS INFECCIONES POR CANDIDA INVASIVAS

<130> BET13P1311

10

<160> 28

<170> Versión de PatentIn 3.5

15 <210> 1

<211> 1080

<212> ADN

<213> Candida albicans

20 <220>

<221> misc_feature

<222> (1)..(1080)

25 <223> Fructosa bifosfato aldolasa

<400> 1

atggctcctc cagcagtttt aagtaaatcc ggtgttatct acggtaaaga cgtcaaagac 60 ttgtttgact atgctcaaga aaaaggtttt gccattccag ctatcaatgt cacttcatcc 120 180 tcaactgttg ttgctgcttt agaagctgcc agagacaaca aggctccaat catcttgcaa acttctcaag gtggtgctgc ctactttgcc ggtaaaggtg tcgacaacaa agatcaagct 240 gcttccattg ctggttcaat tgctgccgct cactacatta gagccattgc tccaacttat 300 ggtatcccag ttgttttaca cactgatcac tgtgccaaaa aattattgcc atggtttgat 360 420 ggtatgttga aagccgatga agaattcttt gctaagaccg gtactccatt gttctcatcc cacatgttgg atttatctga agaaaccgat gacgaaaaca ttgctacttg tgccaaatat 480 ttcgaaagaa tggctaaaat gggtcaatgg ttagaaatgg aaattggtat cactggtggt 540 gaagaagatg gtgtcaacaa cgaacacgtt gaaaaagatg ctttatacac ttctccagaa 600 actgttttcg ctgtctacga atctttacac aagatttctc caaacttttc tattgctgct 660 gcttttggta acgtccacgg tgtttacaaa ccaggtaatg tgcaattgag accagaaatc 720 ttgggtgacc accaagttta cgctaagaaa caaattggta ctgatgctaa acacccatta 780 tacttggttt tccacggtgg ttctggttct actcaagaag aattcaacac tgctatcaag 840 aatggtgttg tcaaggtcaa cttggacact gattgtcaat atgcttactt gactggtatc 900 agagattacg tcaccaacaa gattgaatac ttgaaagcac cagttggtaa cccagaaggt 960 gctgacaaac caaacaagaa atactttgac ccaagagtct gggttagaga aggtgaaaag 1020 accatgtcca agagaattgc tgaagctttg gatattttcc acaccaaagg acaattgtaa 1080

```
<210> 2
<211> 359
```

<212> PRT

5 <213> Candida albicans

<220>

<221> MISC_FEATURE

10

<222> (1)..(359)

<223> Fructosa bifosfato aldolasa

<400> 2

Met Ala Pro Pro Ala Val Leu Ser Lys Ser Gly Val Ile Tyr Gly Lys 1 5 10 15

Asp Val Lys Asp Leu Phe Asp Tyr Ala Gln Glu Lys Gly Phe Ala Ile 20 25 30

Pro Ala Ile Asn Val Thr Ser Ser Ser Thr Val Val Ala Ala Leu Glu 35 40 45

Ala Ala Arg Asp Asn Lys Ala Pro Ile Ile Leu Gln Thr Ser Gln Gly 50 60

Gly Ala Ala Tyr Phe Ala Gly Lys Gly Val Asp Asn Lys Asp Gln Ala 65 70 75 80

Ala Ser Ile Ala Gly Ser Ile Ala Ala Ala His Tyr Ile Arg Ala Ile 85 90 95

Ala Pro Thr Tyr Gly Ile Pro Val Val Leu His Thr Asp His Cys Ala 100 105 110

Lys Lys Leu Leu Pro Trp Phe Asp Gly Met Leu Lys Ala Asp Glu Glu 115 120 125

Phe Phe Ala Lys Thr Gly Thr Pro Leu Phe Ser Ser His Met Leu Asp 130 135 140

Leu Ser Glu Glu Thr Asp Asp Glu Asn Ile Ala Thr Cys Ala Lys Tyr 145 150 155 160

Phe Glu Arg Met Ala Lys Met Gly Gln Trp Leu Glu Met Glu Ile Gly 165 170 175

Ile Thr Gly Gly Glu Glu Asp Gly Val Asn Asn Glu His Val Glu Lys 180 185 190

Asp Ala Leu Tyr Thr Ser Pro Glu Thr Val Phe Ala Val Tyr Glu Ser 195 200 205

		Leu	His 210	Lys	Ile	Ser	Pro	Asn 215	Phe	Ser	Ile	Ala	A la 220	Ala	Phe	Gly	Asn	
		Val 225	His	Gly	Val	Tyr	Lys 230	Pro	Gly	Asn	Val	Gln 235	Leu	Arg	Pro	Glu	Ile 240	
		Leu	Gly	Asp	His	Gln 245	Val	Tyr	Ala	Lys	Lys 250	Gln	Ile	Gly	Thr	Asp 255	Ala	
		Lys	His	Pro	Leu 260	Tyr	Leu	Val	Phe	His 265	Gly	Gly	Ser	Gly	Ser 270	Thr	Gln	
		Glu	Glu	Phe 275	Asn	Thr	Ala	Ile	Lys 280	Asn	Gly	Val	Val	Lys 285	Val	Asn	Leu	
		Asp	Thr 290	Asp	Cys	Gln	Tyr	Ala 295	Tyr	Leu	Thr	Gly	Ile 300	Arg	Asp	Tyr	Val	
		Thr 305	Asn	Lys	Ile	Glu	Tyr 310	Leu	Lys	Ala	Pro	Val 315	Gly	Asn	Pro	Glu	Gly 320	
		Ala	Asp	Lys	Pro	Asn 325	Lys	Lys	Tyr	Phe	Asp 330	Pro	Arg	Val	Trp	Val 335	Arg	
		Glu	Gly	Glu	Lys 340	Thr	Met	Ser	Lys	Arg 345	Ile	Ala	Glu	Ala	Leu 350	Asp	Ile	
		Phe	His	Thr 355	Lys	Gly	Gln	Leu										
<	:210> 3 :211> 132: :213> Can																	
<	<220>																	
	:221> miso :223> Eno			222> (1)(13	323)												
<	<400> 3																	
	atgtct	tacg	r cca	ctaa	aat	ccac	gcca	ıga t	acgt	ctac	g ac	tcca	gagg	r taa	ccca	acc		60
	gttgaa	gttg	, att	tcac	cac	cgac	aaag	gt t	tatt	caga	it ca	atto	rtccc	ato	tggt	gcc		120
	tctact																	180
	aaaggt																	240
15	gccaag	atcg	, ato	rttgt	cga	ccaa	ıgcta	ag a	ttga	itgaa	t to	ttgt	tgtc	ctt	ggac	ggt		300

29

actccaaaca aatccaaatt gggtgccaat gctatcttgg gtgtttcttt ggctgctgcc	360
aatgctgccg ctgctgctca aggcattcca ttgtacaaac acattgccaa catttccaat	420
gccaagaaag gtaaattcgt tttgccagtt ccattccaaa acgttttgaa cggtggttcc	480
catgctggtg gtgctttagc tttccaagaa tttatgattg ccccaactgg tgtctccact	540
ttctctgaag ctttgagaat tggttcagaa gtttaccaca acttgaaatc tttgaccaag	600
aagaaatacg gtcaatccgc tggtaacgtc ggtgacgaag gtggtgttgc tccagatatc	660
aaaactccaa aggaagcttt ggacttgatc atggatgcca ttgacaaagc cggttacaaa	720
ggtaaggttg gtattgccat ggatgttgct tcatctgaat tctacaagga cggtaaatac	780
gacttggact ttaaaaaccc agaatccgac ccatctaaat ggttgtctgg cccacaattg	840
gctgacttat atgaacaatt gatttccgaa tacccaattg tttctattga agatccattc	900
gctgaagatg actgggatgc ttgggtccac ttctttgaaa gagttggtga caagatccaa	960
attgtcggtg atgatttgac tgtcactaac cctaccagaa tcaagactgc cattgaaaag	1020
aaagccgcta atgctttgtt gttgaaggtt aaccaaattg gtactttgac tgaatctata	1080
caagetgeta acgattetta egetgetggt tggggtgtea tggttteeca eagateeggt	1140
gaaaccgaag atactttcat tgctgacttg tcagttggtt taagatctgg tcaaatcaag	1200
actggtgctc cagctagatc tgaaagattg gccaaattga accaaatctt gagaatcgaa	1260
gaagaattag gttctgaagc tatctacgct ggtaaagatt tccaaaaggc ttctcaattg	1320
taa	1323

<210> 4 <211> 440

5 <212> PRT

<213> Candida albicans

<220>

10 <221> MISC_FEATURE <222> (1)..(440) <223> Enolasa 1

<400> 4

Gly Asn Pro Thr Val Glu Val Asp Phe Thr Thr Asp Lys Gly Leu Phe 20 25 30

Arg Ser Ile Val Pro Ser Gly Ala Ser Thr Gly Val His Glu Ala Leu $35 \hspace{1.5cm} 40 \hspace{1.5cm} 45$

Glu	Leu 50	Arg	Asp	Gly	Asp	Lys 55	Ser	Lys	Trp	Leu	Gly 60	Lys	Gly	Val	Leu
Lys 65	Ala	Val	Ala	Asn	Val 70	Asn	Asp	Ile	Ile	Ala 75	Pro	Ala	Leu	Ile	Lys 80
Ala	Lys	Ile	Asp	Val 85	Val	Asp	Gln	Ala	Lys 90	Ile	Asp	Glu	Phe	Leu 95	Leu
Ser	Leu	Asp	Gly 100	Thr	Pro	Asn	Lys	Ser 105	Lys	Leu	Gly	Ala	Asn 110	Ala	Ile
Leu	Gly	Val 115	Ser	Leu	Ala	Ala	Ala 120	Asn	Ala	Ala	Ala	Ala 125	Ala	Gln	Gly
Ile	Pro 130	Leu	Tyr	Lys	His	Ile 135	Ala	Asn	Ile	Ser	Asn 140	Ala	Lys	Lys	Gly
Lys 145	Phe	Val	Leu	Pro	Val 150	Pro	Phe	Gln	Asn	Val 155	Leu	Asn	Gly	Gly	Ser 160
His	Ala	Gly	Gly	Ala 165	Leu	Ala	Phe	Gln	Glu 170	Phe	Met	Ile	Ala	Pro 175	Thr
Gly	Val	Ser	Thr 180	Phe	Ser	Glu	Ala	Leu 185	Arg	Ile	Gly	Ser	Glu 190	Val	Tyr
His	Asn	Leu 195	Lys	Ser	Leu	Thr	Lys 200	Lys	Lys	Tyr	Gly	Gln 205	Ser	Ala	Gly
Asn	Val 210	Gly	_		Gly	_		Ala	Pro	Asp	Ile 220	_	Thr	Pro	Lys
Glu 225	Ala	Leu	Asp	Leu	Ile 230	Met	Asp	Ala	Ile	Asp 235	Lys	Ala	Gly	Tyr	Lys 240
Gly	Lys	Val	Gly	Ile 245	Ala	Met	Asp	Val	Ala 250	Ser	Ser	Glu	Phe	Tyr 255	Lys
Asp	Gly	Lys	Tyr 260	Asp	Leu	Asp	Phe	Lys 265	Asn	Pro	Glu	Ser	Asp 270	Pro	Ser
Lys	Trp	Leu 275	Ser	Gly	Pro	Gln	Leu 280	Ala	Asp	Leu	Tyr	Glu 285	Gln	Leu	Ile
Ser	Glu 290	Tyr	Pro	Ile	Val	Ser 295	Ile	Glu	Asp	Pro	Phe 300	Ala	Glu	Asp	Asp

Trp Asp Ala Trp Val His Phe Phe Glu Arg Val Gly Asp Lys Ile Gln

	11	e Val	Gly	Asp	Asp 325	Leu	Thr	Val	Thr	Asn 330	Pro	Thr	Arg	Ile	Lys 335	Thr	
	Al	a Ile	Glu	Lys 340	Lys	Ala	Ala	Asn	Ala 345	Leu	Leu	Leu	Lys	Val 350	Asn	Gln	
	11	e Gly	Thr 355	Leu	Thr	Glu	Ser	Ile 360	Gln	Ala	Ala	Asn	Asp 365	Ser	Tyr	Ala	
	Al	a Gly 370	_	Gly	Val	Met	Val 375	Ser	His	Arg	Ser	Gly 380	Glu	Thr	Glu	Asp	
	Th 38	r Phe 5	Ile	Ala	Asp	Leu 390	Ser	Val	Gly	Leu	Arg 395	Ser	Gly	Gln	Ile	Lys 400	
	Th	r Gly	Ala	Pro	Ala 405	Arg	Ser	Glu	Arg	Leu 410	Ala	Lys	Leu	Asn	Gln 415	Ile	
	Le	u Arg	Ile	Glu 420	Glu	Glu	Leu	Gly	Ser 425	Glu	Ala	Ile	Tyr	Ala 430	Gly	Lys	
	As	p Phe	Gln 435	Lys	Ala	Ser	Gln	Leu 440									
5	<210> 5 <211> 2124 <212> ADN <213> Candida	albican	s														
	<220>																
10	<221> misc_fea <223> Proteína																
15	<400> 5																
	atggctgac	g caa	aagtt	ga a	acto	cacg	aa t	tcac	tgct	g ag	ratct	ctca	a gt	tgat	gtct		60
	ttgatcatta	a acad	cagtc	ta t	tcaa	aaca	ag g	aaat	tttc	t ta	agaç	gaatt	ga	tctc	caat		120
	gcttctgate	g ctti	tggac	aa a	aatca	agata	ac c	aagc	cttg	rt ct	gato	cato	c cc	aatt	ggaa		180
	tccgaacca	g aati	tgttc	at t	agaa	atca	ta a	ctca	aaag	g ac	caaa	aagt	tt!	tgga	aatt		240
	agagattct	g gtai	ttggt	at c	gacca	aaag	ct g	actt	ggta	a ac	aatt	tggg	g ta	ctat	tgct		300
	aaatctggt	a ccaa	aatcc	tt t	atg	gaag	ct t	taag	tgct	g gt	gcto	acgt	tte	ctat	gatt		360
	ggtcaattt	g gtgi	ttggt	tt c	ctact	cct	tg t	tctt	ggtt	g ct	gato	acgt	c cc	aagt	tatc		420

tccaaacaca	atgacgacga	acaatacgtt	tgggaatcta	acgctggtgg	taagttcact	480
gttactttgg	atgaaactaa	cgaaagattg	ggtcgtggta	ccatgttgag	attgttcttg	540
aaggaagatc	aattggaata	cttggaagaa	aaaagaatca	aagaagttgt	caagaaacac	600
tctgaattcg	ttgcttatcc	aatccaatta	gttgtcacca	aagaagttga	aaaagaagtt	660
ccagaaaccg	aagaagaaga	caaagctgct	gaagaagacg	acaagaaacc	aaaattggaa	720
gaagtcaagg	atgaagaaga	cgaaaagaaa	gaaaagaaga	ccaagactgt	caaagaagag	780
gttactgaaa	ctgaagagtt	gaacaagacc	aaaccattat	ggaccagaaa	cccatctgat	840
atcactcaag	atgaatacaa	tgcattctac	aagtctattt	ccaacgactg	ggaagaccca	900
ttggctgtca	aacacttttc	tgttgaaggt	caattagaat	tcagagctat	cttgtttgtt	960
ccaaagagag	ctccatttga	tgcctttgaa	tccaagaaga	agaagaacaa	catcaaatta	1020
tacgtccgta	gagtgtttat	cactgatgat	gctgaagagt	tgattccaga	atggttaagt	1080
ttcatcaagg	gggttgtcga	ttccgaagac	ttgccattga	acttgtccag	agaaatgttg	1140
caacaaaaca	agattttgaa	agttatcaga	aagaacattg	tcaaaaagat	gattgaaact	1200
ttcaatgaaa	tctctgaaga	ccaagagcaa	ttcaaccaat	tctacactgc	tttctccaag	1260
aacatcaaat	tgggtattca	tgaagatgct	caaaacagac	aatctttggc	taaattgttg	1320
agattctact	ctaccaaatc	ttctgaagaa	atgacttcct	tgtctgacta	cgttactaga	1380
atgccagaac	accaaaagaa	tatctactac	atcactggtg	aatccatcaa	agccgttgaa	1440
aaatcaccat	tcttggatgc	cttgaaagct	aagaactttg	aagtcttgtt	catggtggat	1500
ccaatcgatg	aatatgccat	gactcaattg	aaggaatttg	aagacaagaa	attggttgat	1560
attaccaaag	actttgaatt	ggaagaaagt	gacgaagaaa	aagctgctag	agaaaaggaa	1620
atcaaagaat	acgaaccatt	gaccaaagct	ttgaaagata	ttcttggtga	tcaagttgaa	1680
aaagttgttg	tttcctacaa	acttgttgat	gctccagctg	ccattagaac	tggtcaattt	1740
ggttggtctg	ccaatatgga	aagaatcatg	aaggctcaag	ctttgagaga	caccaccatg	1800
tcttcttaca	tgtcctctaa	gaagaccttt	gaaatttctc	catcttcccc	aattatcaag	1860
gaattgaaga	agaaagttga	aaccgatgga	gctgaagaca	agaccgttaa	ggacttgacc	1920
actttgttgt	ttgatactgc	attgttgact	tctggtttca	ccttggacga	accatccaac	1980
tttgcccaca	gaattaacag	attgattgcc	ttgggattga	atattgacga	tgattcagaa	2040
gaaactgctg	ttgaacctga	agctactact	actgcctcaa	ctgacgaacc	agctggagaa	2100
tctgctatgg	aagaagttga	ttaa				2124

<210> 6 <211> 707

```
<212> PRT
<213> Candida albicans
<220>
5
<221> MISC_FEATURE <222> (1)..(707)
<223> Proteína de choque térmico 90
<400> 6
```

Met 1	Ala	Asp	Ala	Lys 5	Val	Glu	Thr	His	Glu 10	Phe	Thr	Ala	Glu	Ile 15	Ser
Gln	Leu	Met	Ser 20	Leu	Ile	Ile	Asn	Thr 25	Val	Tyr	Ser	Asn	Lys 30	Glu	Ile
Phe	Leu	Arg 35	Glu	Leu	Ile	Ser	Asn 40	Ala	Ser	Asp	Ala	Leu 45	Asp	Lys	Ile
Arg	Tyr 50	Gln	Ala	Leu	Ser	Asp 55	Pro	Ser	Gln	Leu	Glu 60	Ser	Glu	Pro	Glu
Leu 65	Phe	Ile	Arg	Ile	Ile 70	Pro	Gln	Lys	Asp	Gln 75	Lys	Val	Leu	Glu	Ile 80
Arg	Asp	Ser	Gly	Ile 85	Gly	Met	Thr	Lys	Ala 90	Asp	Leu	Val	Asn	Asn 95	Leu
Gly	Thr	Ile	Ala 100	Lys	Ser	Gly	Thr	Lys 105	Ser	Phe	Met	Glu	Ala 110	Leu	Ser
Ala	Gly	Ala 115	Asp	Val	Ser	Met	Ile 120	Gly	Gln	Phe	Gly	Val 125	Gly	Phe	Tyr
Ser	Leu 130	Phe	Leu	Val	Ala	Asp 135	His	Val	Gln	Val	Ile 140	Ser	Lys	His	Asn
Asp 145	Asp	Glu	Gln	Tyr	Val 150	Trp	Glu	Ser	Asn	Ala 155	Gly	Gly	Lys	Phe	Thr 160
Val	Thr	Leu	Asp	Glu 165	Thr	Asn	Glu	Arg	Leu 170	Gly	Arg	Gly	Thr	Met 175	Leu
Arg	Leu	Phe	Leu 180	Lys	Glu	Asp	Gln	Leu 185	Glu	Tyr	Leu	Glu	Glu 190	Lys	Arg
Ile	Lys	Glu 195	Val	Val	Lys	Lys	His 200	Ser	Glu	Phe	Val	Ala 205	Tyr	Pro	Ile
Gln	Leu 210	Val	Val	Thr	Lys	Glu 215	Val	Glu	Lys	Glu	Val 220	Pro	Glu	Thr	Glu

Glu 225	Glu	Asp	Lys	Ala	Ala 230	Glu	Glu	Asp	Asp	Lys 235	Lys	Pro	Lys	Leu	Glu 240
Glu	Val	Lys	Asp	Glu 245	Glu	Asp	Glu	Lys	Lys 250	Glu	Lys	Lys	Thr	Lys 255	Thr
Val	Lys	Glu	Glu 260	Val	Thr	Glu	Thr	Glu 265	Glu	Leu	Asn	Lys	Thr 270	Lys	Pro
Leu	Trp	Thr 275	Arg	Asn	Pro	Ser	Asp 280	Ile	Thr	Gln	Asp	Glu 285	Tyr	Asn	Ala
Phe	Tyr 290	Lys	Ser	Ile	Ser	Asn 295	Asp	Trp	Glu	Asp	Pro 300	Leu	Ala	Val	Lys
His 305	Phe	Ser	Val	Glu	Gly 310	Gln	Leu	Glu	Phe	Arg 315	Ala	Ile	Leu	Phe	Val 320
Pro	Lys	Arg	Ala	Pro 325	Phe	Asp	Ala	Phe	Glu 330	Ser	Lys	Lys	Lys	Lys 335	Asn
Asn	Ile	Lys	Leu 340	Tyr	Val	Arg	Arg	Val 345	Phe	Ile	Thr	Asp	Asp 350	Ala	Glu
Glu	Leu	Ile 355	Pro	Glu	Trp	Leu	Ser 360	Phe	Ile	Lys	Gly	Val 365	Val	Asp	Ser
Glu	Asp 370	Leu	Pro	Leu	Asn	Leu 375	Ser	Arg	Glu	Met	Leu 380	Gln	Gln	Asn	Lys
Ile 385	Leu	Lys	Val	Ile	Arg 390	Lys	Asn	Ile	Val	Lys 395	Lys	Met	Ile	Glu	Thr 400
Phe	Asn	Glu	Ile	Ser 405	Glu	Asp	Gln	Glu	Gln 410	Phe	Asn	Gln	Phe	Tyr 415	Thr
Ala	Phe	Ser	Lys 420	Asn	Ile	Lys	Leu	Gly 425	Ile	His	Glu	Asp	Ala 430	Gln	Asn
Arg	Gln	Ser 435	Leu	Ala	Lys	Leu	Leu 440	Arg	Phe	Tyr	Ser	Thr 445	Lys	Ser	Ser
Glu	Glu 450	Met	Thr	Ser	Leu	Ser 455	Asp	Tyr	Val	Thr	Arg 460	Met	Pro	Glu	His
Gln	Lvs	Asn	Ile	Tvr	Tvr	Ile	Thr	Glv	Glu	Ser	Ile	Lvs	Ala	Val	Gl11

465					470					475					480
Lys	Ser	Pro	Phe	Leu 485	Asp	Ala	Leu	Lys	Ala 490	Lys	Asn	Phe	Glu	Val 495	Leu
Phe	Met	Val	Asp 500	Pro	Ile	Asp	Glu	Tyr 505	Ala	Met	Thr	Gln	Leu 510	Lys	Glu
Phe	Glu	Asp 515	Lys	Lys	Leu	Val	Asp 520	Ile	Thr	Lys	Asp	Phe 525	Glu	Leu	Glu
Glu	Ser 530	Asp	Glu	Glu	Lys	Ala 535	Ala	Arg	Glu	Lys	Glu 540	Ile	Lys	Glu	Tyr
Glu 545	Pro	Leu	Thr	Lys	Ala 550	Leu	Lys	Asp	Ile	Leu 555	Gly	Asp	Gln	Val	Glu 560
Lys	Val	Val	Val	Ser 565	Tyr	Lys	Leu	Val	Asp 570	Ala	Pro	Ala	Ala	Ile 575	Arg
Thr	Gly	Gln	Phe 580	Gly	Trp	Ser	Ala	Asn 585	Met	Glu	Arg	Ile	Met 590	Lys	Ala
Gln	Ala	Leu 595	Arg	Asp	Thr	Thr	Met 600	Ser	Ser	Tyr	Met	Ser 605	Ser	Lys	Lys
Thr	Phe 610	Glu	Ile	Ser	Pro	Ser 615	Ser	Pro	Ile	Ile	Lys 620	Glu	Leu	Lys	Lys
Lys 625	Val	Glu	Thr	Asp	Gly 630	Ala	Glu	Asp	Lys	Thr 635	Val	Lys	Asp	Leu	Thr 640
Thr	Leu	Leu	Phe	Asp 645	Thr	Ala	Leu	Leu	Thr 650	Ser	Gly	Phe	Thr	Leu 655	Asp
Glu	Pro	Ser	Asn 660	Phe	Ala	His	Arg	Ile 665	Asn	Arg	Leu	Ile	Ala 670	Leu	Gly
Leu	Asn	Ile 675	Asp	Asp	Asp	Ser	Glu 680	Glu	Thr	Ala	Val	Glu 685	Pro	Glu	Ala
Thr	Thr 690	Thr	Ala	Ser	Thr	Asp 695	Glu	Pro	Ala	Gly	Glu 700	Ser	Ala	Met	Glu
Glu 705	Val	Asp													

```
<210> 7
<211> 1905
<212> ADN
5 <213> Candida albicans
<220>
<221> misc_feature <222> (1)..(1905)
10 <223> Proteína de pared de la hifa
<400> 7
```

60	aattggggcc	acatgttatc	atcgcttatt	acttattgct	caactgctca	atgagattat
120	aaagagatct	ctcttattca	acagaggaag	tcaaggtgaa	aggtagacgg	actgtcccac
180	acaagagcct	aacaacaaca	tacccacaac	atgtgatgat	atcaagaacc	tatgattact
240	acaacaacca	attacccaca	gaaccttgtg	acagcaggaa	cacaacaaca	tgtgattacc
300	acaacaacca	gtgactaccc	caagaacctt	acaacagcca	gtgactatcc	caagagccat
360	acctcaacct	gcgacaatcc	caagaacctt	acaacaacca	gtgactaccc	caagaacctt
420	tcctcaacct	gtgacaatcc	gatgttcctt	tcctcaacct	gtgacaatcc	gatgttcctt
480	tcctcaacct	gtgacaatcc	gatattcctt	tcctcaacct	gtgacaatcc	gatattcctt
540	tccaaatatt	ccgattggat	aacattccaa	tcctattcca	atgacaatcc	gatcagcctg
600	tactccaaac	ctccagctac	aagccaacaa	tattccagaa	ggatcccaga	ccaactgatt
660	atcatcatct	cttcttcttc	tcatcttctt	ttctgaatca	caactactac	attcctgcta
720	taccactcca	ctgttccagc	cctgaatctt	ttcaactaca	aaacttctgc	actactccaa
780	cccagaaagt	cagctactag	tcaactactc	ttcttcagaa	ttccaacaac	aacacttctg
840	atcatctgct	cttcagaatc	ttagctacca	atcatctatt	ttacttctgg	tctgttccag
900	atcatcaagt	ctgaagccaa	accactacta	atctgttcca	ctccaaatac	ccagctacta
960	ttcatgttct	tcactgttac	acaactgttg	tgaacatgat	ctactactac	actccattaa
1020	atctaaagat	ttgtcatcac	actggtgtta	tgaagttact	gtaccgaaag	aacagtgttt
1080	tgctccagcc	cagtttctac	gaaactactc	tccattgact	ccacttactg	actatttaca
1140	tgttattact	aatcaactac	tctactgaac	agtatccact	caactggtac	actgaaacac
1200	tgttgttgtt	ttactactgg	gaatctgaag	ctcttgtacc	gttctgaaag	gttacttcat
1260	cactccaggt	tgactgaaaa	ttctgtccat	ctacactaca	aggaaactgt	gttacttctg
1320	tggttcagaa	caattcctgc	cctatggaaa	ttccattcca	ctccagaagc	actgattcaa
1380	tccagctact	aatcagatgt	gctgttccaa	aacctctcca	ctgccggtga	tcatccatgc
1440	tcctgccggt	aaccatctat	gctggttcac	aatgactcca	cagttcctga	gaatcagctc
1500	tcctgctcct	ctgaatctgc	gttccagcta	aaaatcagat	cagctgttcc	gaaacctctc
1560	agetectocc	caaaatcatc	ccagctgctc	tgaaactaaa	cagctggtac	gaaatgactc

actgaacctt	ccccagttgc	tccaggtact	gaatccgcac	cagctggtcc	aggtgcttct	1620
tcttctccaa	aatcttctgt	tttggctagt	gaaacctcac	caattgctcc	aggtgctgaa	1680
accgctccag	ctggctcaag	tggtgctatt	actattccgg	aatctagtgc	tgtcgtctct	1740
acgactgaag	gtgctattcc	aactacatta	gaatcagttc	cactcatgca	accatctgcc	1800
aattactcaa	gtgtcgctcc	tatttctaca	tttgaaggtg	ctggtaacaa	catgagattg	1860
actttcggtg	ctgctattat	tggtattgct	gcattcttga	tctaa		1905

<210>8

<211>634

5 <212> PRT

<213> Candida albicans

<220>

10 <221> MISC_FEATURE <222> (1)..(634) <223> Proteína de pared de la hifa

<400> 8

Met Arg Leu Ser Thr Ala Gln Leu Ile Ala Ile Ala Tyr Tyr Met Leu 1 5 10 15

Ser Ile Gly Ala Thr Val Pro Gln Val Asp Gly Gln Gly Glu Thr Glu 20 25 30

Glu Ala Leu Ile Gln Lys Arg Ser Tyr Asp Tyr Tyr Gln Glu Pro Cys 35 40 45

Asp Asp Tyr Pro Gln Gln Gln Gln Gln Glu Pro Cys Asp Tyr Pro 50 55 60

Gln Gln Gln Gln Glu Glu Pro Cys Asp Tyr Pro Gln Gln Gln Pro 65 70 75 80

Gln Glu Pro Cys Asp Tyr Pro Gln Gln Pro Gln Glu Pro Cys Asp Tyr 85 90 95

Pro Gln Gln Pro Gln Glu Pro Cys Asp Tyr Pro Gln Gln Pro Gln Glu 100 105 110

Pro Cys Asp Asn Pro Pro Gln Pro Asp Val Pro Cys Asp Asn Pro Pro 115 120 125

Gln Pro Asp Val Pro Cys Asp Asn Pro Pro Gln Pro Asp Ile Pro Cys 130 135 140

15

Asp 145	Asn	Pro	Pro	Gln	Pro 150	Asp	Ile	Pro	Cys	Asp 155	Asn	Pro	Pro	Gln	Pro 160
Asp	Gln	Pro	Asp	Asp 165	Asn	Pro	Pro	Ile	Pro 170	Asn	Ile	Pro	Thr	Asp 175	Trp
Ile	Pro	Asn	Ile 180	Pro	Thr	Asp	Trp	Ile 185	Pro	Asp	Ile	Pro	Glu 190	Lys	Pro
Thr	Thr	Pro 195	Ala	Thr	Thr	Pro	Asn 200	Ile	Pro	Ala	Thr	Thr 205	Thr	Thr	Ser
Glu	Ser 210	Ser	Ser	Ser	Ser	Ser 215	Ser	Ser	Ser	Ser	Ser 220	Thr	Thr	Pro	Lys
Thr 225	Ser	Ala	Ser	Thr	Thr 230	Pro	Glu	Ser	Ser	Val 235	Pro	Ala	Thr	Thr	Pro 240
Asn	Thr	Ser	Val	Pro 245	Thr	Thr	Ser	Ser	Glu 250	Ser	Thr	Thr	Pro	Ala 255	Thr
Ser	Pro	Glu	Ser 260	Ser	Val	Pro	Val	Thr 265	Ser	Gly	Ser	Ser	Ile 270	Leu	Ala
Thr	Thr	Ser 275	Glu	Ser	Ser	Ser	Ala 280	Pro	Ala	Thr	Thr	Pro 285	Asn	Thr	Ser
Val	Pro 290	Thr	Thr	Thr	Thr	Glu 295	Ala	Lys	Ser	Ser	Ser 300	Thr	Pro	Leu	Thr
Thr 305	Thr	Thr	Glu	His	Asp 310	Thr	Thr	Val	Val	Thr 315	Val	Thr	Ser	Cys	Ser 320
Asn	Ser	Val	Cys	Thr 325	Glu	Ser	Glu	Val	Thr 330	Thr	Gly	Val	Ile	Val 335	Ile
Thr	Ser	Lys	Asp 340	Thr	Ile	Tyr	Thr	Thr 345	Tyr	Cys	Pro	Leu	Thr 350	Glu	Thr
Thr	Pro	Val 355	Ser	Thr	Ala	Pro	Ala 360	Thr	Glu	Thr	Pro	Thr 365	Gly	Thr	Val
Ser	Thr 370	Ser	Thr	Glu	Gln	Ser 375	Thr	Thr	Val	Ile	Thr 380	Val	Thr	Ser	Cys
Ser	61	Con	502	C···a	Thr	Glu.	802	Gl.	17a 1	Thr	Th∽	G1.,	Wa I	Wa l	Wa 1

Val Thr Ser	Glu Glu 405		Tyr	Thr	Thr 410	Phe	Cys	Pro	Leu	Thr 415	Glu
Asn Thr Pro	Gly Thr 420	Asp Ser	Thr	Pro 425	Glu	Ala	Ser	Ile	Pro 430	Pro	Met
Glu Thr Ile 435	Pro Ala	Gly Ser	Glu 440	Ser	Ser	Met	Pro	Ala 445	Gly	Glu	Thr
Ser Pro Ala 450	Val Pro	Lys Ser 455	_	Val	Pro	Ala	Thr 460	Glu	Ser	Ala	Pro
Val Pro Glu 465	Met Thr	Pro Ala 470	Gly	Ser	Gln	Pro 475	Ser	Ile	Pro	Ala	Gly 480
Glu Thr Ser	Pro Ala 485		Lys	Ser	Asp 490	Val	Pro	Ala	Thr	Glu 495	Ser
Ala Pro Ala	Pro Glu 500	Met Thr	Pro	Ala 505	Gly	Thr	Glu	Thr	Lys 510	Pro	Ala
Ala Pro Lys 515	Ser Ser	Ala Pro	Ala 520	Thr	Glu	Pro	Ser	Pro 525	Val	Ala	Pro
Gly Thr Glu 530	Ser Ala	Pro Ala 535	_	Pro	Gly	Ala	Ser 540	Ser	Ser	Pro	Lys
Ser Ser Val 545	Leu Ala	Ser Glu 550	Thr	Ser	Pro	Ile 555	Ala	Pro	Gly	Ala	Glu 560
Thr Ala Pro	Ala Gly 565	Ser Ser	Gly	Ala	Ile 570	Thr	Ile	Pro	Glu	Ser 575	Ser
Ala Val Val	Ser Thr 580	Thr Glu	Gly	Ala 585	Ile	Pro	Thr	Thr	Leu 590	Glu	Ser
Val Pro Leu 595	Met Gln	Pro Ser	Ala 600	Asn	Tyr	Ser	Ser	Val 605	Ala	Pro	Ile
Ser Thr Phe 610	Glu Gly	Ala Gly 615		Asn	Met	Arg	Leu 620	Thr	Phe	Gly	Ala
Ala Ile Ile 625	Gly Ile	Ala Ala	Phe	Leu	Ile						

<210> 9 <211> 1137 5 **<212> ADN** <213> Candida albicans

<220>

5 <221> misc_feature <222> (1)..(1137) <223> Manoproteína 65

<400> 9

atgttattca agtctttcgt tacttttact gtcttagcca atgctttggc tgctccatta 60 gctcatcaac atcatcaaca taaagaagaa aaaagagctg ttcatgttgt taccaccacc 120 aatgttgttg ttgtcactat tggtaatggt gatcaaacta ccacttttgc tgctccatct 180 gtagctgctg aatctagtgt tagtgtttct gtcaacactg aaccacctca aaatcatcca 240 actactactc aagatgttgc ttctgcttct acttatccat cttccactga tggttctgcc 300 gettettett etgetgeege ttettegtet teteaagetg gttetgaace ttetggtggt 360 420 gttggatctg gtggtgctaa aggtattact tattctccat acagtgacaa tggtggatgt 480 aaatcagaat ctcaaattgc cagtgaaatt gctcaattat ctggatttga tgttattcgt ttatacgggg ttgattgtag tcaagttgaa gctgttttaa aagctaaaac ttcatctcaa 540 aaaattttcg ctggtatttt cgatgtttct agtattacat ctggtattga aagtttagct 600 gaagccgtta aaagttgcgg tagttgggat gatatttaca ctgtctctat tggtaatgaa 660 720 ttggttaatg ctggttctgc cactccaagt caaattaaag cttatgttga agaaggtaga aaagctttaa aagctgctgg ttacactggt ccagttgttt ctgttgatac ttttattgct 780 840 gttattaaca acccagattt atgtgattac tctgattaca tggctgttaa tgctcatgct 900 ttctttgatg gtcacgttgt tgctgaaaac tctggtgctt gggtcttgca acaaatccaa 960 agagtttgga ctgcttgtgg tggtaaaaag aatgttttaa ttactgaaac tggttggcca tctagaggtg attctaatgg tgtcgccgtt ccatctaaga gtaaccaaca agctgctatc 1020 agttctatta aatcttcttg tggtgcctct gctatattat tcactgcttt caatgacctt 1080 tggaaggccg atggtccata caatgctgaa aaatactggg gtatttactc taactaa 1137

<220>

<221> MISC_FEATURE <222> (1)..(378)

20 <223> Manoproteína 65

<400> 10

Met Leu Phe Lys Ser Phe Val Thr Phe Thr Val Leu Ala Asn Ala Leu

<210> 10

<211> 378

<212> PRT

^{15 &}lt;213> Candida albicans

1				5					10					15	
Ala	Ala	Pro	Leu 20	Ala	His	Gln	His	His 25	Gln	His	Lys	Glu	Glu 30	Lys	Arg
Ala	Val	His 35	Val	Val	Thr	Thr	Thr 40	Asn	Val	Val	Val	Val 45	Thr	Ile	Gly
Asn	Gly 50	Asp	Gln	Thr	Thr	Thr 55	Phe	Ala	Ala	Pro	Ser 60	Val	Ala	Ala	Glu
Ser 65	Ser	Val	Ser	Val	Ser 70	Val	Asn	Thr	Glu	Pro 75	Pro	Gln	Asn	His	Pro 80
Thr	Thr	Thr	Gln	Asp 85	Val	Ala	Ser	Ala	Ser 90	Thr	Tyr	Pro	Ser	Ser 95	Thr
Asp	Gly	Ser	Ala 100	Ala	Ser	Ser	Ser	Ala 105	Ala	Ala	Ser	Ser	Ser 110	Ser	Gln
Ala	Gly	Ser 115	Glu	Pro	Ser	Gly	Gly 120	Val	Gly	Ser	Gly	Gly 125	Ala	Lys	Gly
Ile	Thr 130	Tyr	Ser	Pro	Tyr	Ser 135	Asp	Asn	Gly	Gly	Cys 140	Lys	Ser	Glu	Ser
Gln 145	Ile	Ala	Ser	Glu	Ile 150	Ala	Gln	Leu	Ser	Gly 155	Phe	Asp	Val	Ile	Arg 160
Leu	Tyr	Gly	Val	Asp 165	Cys	Ser	Gln		Glu 170	Ala	Val	Leu	Lys	Ala 175	Lys
Thr	Ser	Ser	Gln 180	Lys	Ile	Phe	Ala	Gly 185	Ile	Phe	Asp	Val	Ser 190	Ser	Ile
Thr	Ser	Gly 195	Ile	Glu	Ser	Leu	Ala 200	Glu	Ala	Val	Lys	Ser 205	Cys	Gly	Ser
Trp	Asp 210	Asp	Ile	Tyr	Thr	Val 215	Ser	Ile	Gly	Asn	Glu 220	Leu	Val	Asn	Ala
Gly 225	Ser	Ala	Thr	Pro	Ser 230	Gln	Ile	Lys	Ala	Tyr 235	Val	Glu	Glu	Gly	Arg 240
Lys	Ala	Leu	Lys	Ala 245	Ala	Gly	Tyr	Thr	Gly 250	Pro	Val	Val	Ser	Val 255	Asp

Thr Phe Ile Ala Val Ile Asn Asn Pro Asp Leu Cys Asp Tyr Ser Asp 260 265 270

Tyr Met Ala Val Asn Ala His Ala Phe Phe Asp Gly His Val Val Ala 275 280 285

Glu Asn Ser Gly Ala Trp Val Leu Gln Gln Ile Gln Arg Val Trp Thr 290 295 300

Ala Cys Gly Gly Lys Lys Asn Val Leu Ile Thr Glu Thr Gly Trp Pro 305 310 315 320

Ser Arg Gly Asp Ser Asn Gly Val Ala Val Pro Ser Lys Ser Asn Gln 325 330 335

Gln Ala Ala Ile Ser Ser Ile Lys Ser Ser Cys Gly Ala Ser Ala Ile 340 345 350

Ala Glu Lys Tyr Trp Gly Ile Tyr Ser Asn 370 375

<210> 11

5 <211> 1137

<212> ADN

<213> Saccharomyces cerevisiae

<220>

10 <221> misc_feature

<222> (1)..(1137)

<223> Scwl

<400> 11

```
atgttattca agtctttcgt tacttttact gtcttagcca atgctttggc tgctccatta
                                                                         60
                                                                       120
gctcatcaac atcatcaaca taaagaagaa aaaagagctg ttcatgttgt taccaccacc
aatgttgttg ttgtcactat tggtaatggt gatcaaacta ccacttttgc tgctccatct
                                                                       180
                                                                       240
gtagctgctg aatctagtgt tagtgtttct gtcaacactg aaccacctca aaatcatcca
                                                                       300
actactactc aagatgttgc ttctgcttct acttatccat cttccactga tggttctgcc
gcttcttctt ctgctgccgc ttcttcgtct tctcaagctg gttctgaacc ttctggtggt
                                                                       360
gttggatctg gtggtgctaa aggtattact tattctccat acagtgacaa tggtggatgt
                                                                        420
aaatcagaat ctcaaattgc cagtgaaatt gctcaattat ctggatttga tgttattcgt
                                                                        480
                                                                       540
ttatacgggg ttgattgtag tcaagttgaa gctgttttaa aagctaaaac ttcatctcaa
aaaattttcg ctggtatttt cgatgtttct agtattacat ctggtattga aagtttagct
                                                                        600
gaagccgtta aaagttgcgg tagttgggat gatatttaca ctgtctctat tggtaatgaa
                                                                       660
ttggttaatg ctggttctgc cactccaagt caaattaaag cttatgttga agaaggtaga
                                                                       720
                                                                       780
aaagctttaa aagctgctgg ttacactggt ccagttgttt ctgttgatac ttttattgct
                                                                       840
gttattaaca acccagattt atgtgattac tctgattaca tggctgttaa tgctcatgct
                                                                       900
ttctttgatg gtcacgttgt tgctgaaaac tctggtgctt gggtcttgca acaaatccaa
agagtttgga ctgcttgtgg tggtaaaaag aatgttttaa ttactgaaac tggttggcca
                                                                       960
tctagaggtg attctaatgg tgtcgccgtt ccatctaaga gtaaccaaca agctgctatc
                                                                       1020
agttctatta aatcttcttg tggtgcctct gctatattat tcactgcttt caatgacctt
                                                                      1080
tggaaggccg atggtccata caatgctgaa aaatactggg gtatttactc taactaa
                                                                      1137
```

<220>

<400> 12

<210> 12

<211> 378

^{5 &}lt;212> PRT

<213> Saccharomyces cerevisiae

^{10 &}lt;221> MISC_FEATURE <222> (1)..(378) <223> Scwl

Met 1	Leu	Phe	Lys	Ser 5	Phe	Val	Thr	Phe	Thr 10	Val	Leu	Ala	Asn	Ala 15	Leu
Ala	Ala	Pro	Leu 20	Ala	His	Gln	His	His 25	Gln	His	Lys	Glu	Glu 30	Lys	Arg
Ala	Val	His 35	Val	Val	Thr	Thr	Thr 40	Asn	Val	Val	Val	Val 45	Thr	Ile	Gly
Asn	Gly 50	Asp	Gln	Thr	Thr	Thr 55	Phe	Ala	Ala	Pro	Ser 60	Val	Ala	Ala	Glu
Ser 65	Ser	Val	Ser	Val	Ser 70	Val	Asn	Thr	Glu	Pro 75	Pro	Gln	Asn	His	Pro 80

- Asp Gly Ser Ala Ala Ser Ser Ser Ala Ala Ser Ser Ser Ser Gln 100 105 110
- Ala Gly Ser Glu Pro Ser Gly Gly Val Gly Ser Gly Gly Ala Lys Gly
 115 120 125

Ile	Thr 130	Tyr	Ser	Pro	Tyr	Ser 135	Asp	Asn	Gly	Gly	Cys 140	Lys	Ser	Glu	Ser
Gln 145	Ile	Ala	Ser	Glu	Ile 150	Ala	Gln	Leu	Ser	Gly 155	Phe	Asp	Val	Ile	Arg 160
Leu	Tyr	Gly	Val	Asp 165	Cys	Asp	Gln	Val	Ser 170	Ala	Val	Leu	Lys	Ala 175	Lys
Thr	Ser	Ser	Gln 180	Lys	Ile	Phe	Ala	Gly 185	Ile	Phe	Asp	Val	Ser 190	Asn	Ile
Ala	Ser	Gly 195	Ile	Glu	Ser	Leu	Ala 200	Glu	Ala	Val	Glu	Ala 205	Cys	Gly	Ser
Trp	Asp 210	Asp	Ile	Tyr	Thr	Val 215	Ser	Ile	Gly	Asn	Glu 220	Leu	Val	Asn	Ala
Gly 225	Ser	Ala	Thr	Pro	Ser 230	Gln	Ile	Lys	Ala	Tyr 235	Val	Asp	Glu	Gly	Arg 240
Lys	Ala	Leu	Lys	Ala 245	Ala	Gly	Tyr	Thr	Gly 250	Pro	Val	Val	Ser	Val 255	Asp
Thr	Phe	Ile	Ala 260	Val	Ile	Asn	Asn	Pro 265	Glu	Leu	Cys	Glu	Tyr 270	Ser	Asp
Tyr	Met	Ala 275	Val	Asn	Ala	His	Ala 280	Phe	Phe	Asp	Gly	His 285	Val	Ala	Ala
Glu	Asn 290	Ser	Gly	Pro	Trp	Val 295	Leu	Gln	Gln	Ile	Gln 300	Arg	Val	Trp	Thr
Ala 305	Cys	Ser	Gly	Lys	Lys 310	Asn	Val	Leu	Ile	Thr 315	Glu	Thr	Gly	Trp	Pro 320
Ser	Lys	Gly	Asp	Ser 325	Asn	Gly	Leu	Ala	Val 330	Pro	Ser	Lys	Ser	Asn 335	Gln
Gln	Ala	Ala	Ile 340	Ser	Ser	Ile	Lys	Ser 345	Ser	Cys	Gly	Ala	Ser 350	Ala	Leu
Leu	Phe	Thr 355	Ala	Phe	Asn	Asp	Leu 360	Trp	Lys	Ala	Asp	Gly 365	Pro	Tyr	Asn
Ala	Glu	Lys	Tyr	Trp	Gly	Ile	Tyr	Ser	Asn						

```
370
                                                                  375
   <210> 13
 5 <211> 10
   <212> PRT
   <213> Secuencia artificial
   <220>
10 <223> péptido
   <400> 13
                           Ser Thr Asp Glu Pro Ala Gly Glu Ser Ala
                                               5
15
   <210> 14
   <211>5
   <212> PRT
   <213> Secuencia artificial
20
   <220>
   <223> péptido
   <400> 14
25
                                       Leu Ser Arg Glu Met
                                       1
   <210> 15
   <211>6
30 <212> PRT
   <213> Secuencia artificial
   <220>
   <223> péptido
35
   <400> 15
                                      Leu Lys Val Ile Arg Lys
                                                         5
40 <210> 16
   <211> 14
   <212> PRT
   <213> Secuencia artificial
45 <220>
   <223> péptido
   <400> 16
                 Leu Lys Val Ile Arg Lys Asn Ile Val Lys Lys Met Ile Glu
                                     5
                                                              10
50
   <210> 17
   <211> 21
   <212> ADN
55 <213> Secuencia artificial
```

```
<220>
   <223> cebador
   <400> 17
 5
    caaggtgaaa cagaggaagc t
                                  21
   <210> 18
   <211> 24
10 <212> ADN
   <213> Secuencia artificial
   <220>
   <223> cebador
   <400> 18
    tcaagcagga atgtttggag tagt
                                  24
20 <210> 19
   <211> 26
   <212> ADN
   <213> Secuencia artificial
25 <220>
   <223> cebador
   <400> 19
30 atgtcttacg ccactaaaat ccacgc
                                    26
   <210> 20
   <211> 32
   <212> ADN
35 <213> Secuencia artificial
   <220>
   <223> cebador
40 <400> 20
    ttacaattga gaagcctttt ggaaatcttt ac
                                         32
   <210> 21
45 <211> 21
   <212> ADN
   <213> Secuencia artificial
   <220>
50 <223> cebador
   <400> 21
    gctcatcaac atcatcaaca t
                               21
55
   <210> 22
   <211> 24
   <212> ADN
   <213> Secuencia artificial
60
   <220>
   <223> cebador
```

	<400> 22		
	ttagttagag taaatacccc agta	2	24
5	<210> 23 <211> 21 <212> ADN <213> Secuencia artificial		
10	<220> <223> cebador		
	<400> 23		
15	atggctcctc cagcagtttt a	21	
20	<210> 24 <211> 21 <212> ADN <213> Secuencia artificial		
	<220> <223> cebador		
25	<400> 24		
	ttacaattgt cctttggtgt g	21	
30	<210> 25 <211> 21 <212> ADN <213> Secuencia artificial		
35	<220> <223> cebador		
	<400> 25		
40	gatgeaceaa teteaactga e	21	
45	<210> 26 <211> 24 <212> ADN <213> Secuencia artificial		
40	<220> <223> cebador		
50	<400> 26		
50	ttaaccttga ggagcagtag aago		24
55	<210> 27 <211> 21 <212> ADN <213> Secuencia artificial		
60	<220> <223> cebador		
-	<400> 27		

	atggctgacg caaaagttga a	21	
5	<210> 28 <211> 21 <212> ADN <213> Secuencia artificial		
4.0	<220> <223> cebador		
10	<400> 28		
	ttaatcaact tcttccatag c	21	

REIVINDICACIONES

- 1. Un procedimiento *in vitro* para diagnosticar la candidiasis invasiva (CI) en un sujeto, comprendiendo dicho procedimiento:
 - a) detectar el nivel de un glicano de *Candida* que es un manano en una muestra de sangre, plasma o suero del sujeto;
- b) detectar el nivel de anticuerpos dirigidos contra una proteína de *Candida* seleccionada del grupo que consiste en fructosa bifosfato aldolasa (Fba1), enolasa 1 (Eno1), proteína de choque térmico 90 (Hsp90), proteína de pared de la hifa (Hwp1) y manoproteína 65 (Mp65) en la misma muestra de sangre, plasma o suero del sujeto o en otra muestra de sangre, plasma o suero obtenida secuencialmente del mismo paciente, esencialmente simultáneamente o con una separación de no más de 3 horas; y
- c) donde se realiza un análisis combinado del nivel de dicho glicano de *Candida* y el nivel de anticuerpo dirigido contra dicha proteína de *Candida* seleccionada del grupo que consiste en Fba1, Eno1, Hsp90, Hwp1 y Mp65, calculando el nivel de un marcador virtual Z = Σ a_i x [Marcador_i], donde [Marcador_i] son niveles individuales de marcador de glicano de *Candida* y de anticuerpo dirigido contra dicha proteína de *Candida* seleccionada del grupo que consiste en Fba1, Eno1, Hsp90, Hwp1 y Mp65, y a_i son coeficientes cuyos valores se determinan para maximizar el área bajo la curva (AUC) de la curva de característica operativa relativa (ROC) para la combinación de Marcador_i; y
- d) donde si el nivel del marcador virtual Z calculado en la etapa c) es más alto que un nivel de referencia del marcador virtual Z, entonces el sujeto está desarrollando o ha desarrollado candidiasis invasiva.
- 2. El procedimiento según la reivindicación 1, donde en la etapa b) se detecta la presencia o el nivel de anticuerpos contra Fba1, o anticuerpos contra Eno1, o anticuerpos contra Hsp90, o anticuerpos contra Hwp1, o 25 anticuerpos contra Mp65.
 - 3. El procedimiento según la reivindicación 1 o 2, donde dicho procedimiento no comprende detectar un anticuerpo dirigido contra manano.
- 30 4. El procedimiento según cualquiera de las reivindicaciones 1 a 3, donde dicho glicano de *Candida* y/o dichos anticuerpos dirigidos contra una proteína seleccionada del grupo que consiste en Fba1, Eno1, Hsp90, Hwp1 y Mp65 se detectan mediante un inmunoensayo.
- 5. El procedimiento según cualquiera de las reivindicaciones 1 a 4, donde el nivel de glicano de *Candida* 35 que se determina es el nivel de manano, solamente.
 - 6. El procedimiento según cualquiera de las reivindicaciones 1 a 5, donde el manano se detecta mediante un inmunoensayo enzimático tipo sándwich que usa, como anticuerpos de captura y detección, un anticuerpo que reconoce secuencias de oligomanosas enlazadas a α formadas por más de cuatro residuos.
- El procedimiento según cualquiera de las reivindicaciones 1 a 6, donde dicho nivel de referencia del marcador virtual Z es un valor único o un intervalo de valores determinados basados en el nivel de dicho glicano de *Candida* o el nivel de anticuerpos dirigidos contra dicha proteína de *Candida*, según corresponda, medido en una población de sujetos sanos, en una población de sujetos infectados superficialmente con una cepa de *Candida*, en una población de sujetos que padecen candidiasis invasiva o en una muestra del mismo sujeto obtenida en un punto de tiempo anterior.
- 8. El procedimiento según cualquiera de las reivindicaciones 1 a 7, donde la candidiasis invasiva se debe a la infección con una especie de *Candida* seleccionada del grupo que consiste en *Candida albicans*, *Candida parapsilosis*, *Candida krusei*, *Candida tropicalis*, *Candida glabrata*, *Candida lusitaniae*, *Geotrichum capitatum* y *Candida norvegiensis*.
 - 9. El procedimiento según cualquiera de las reivindicaciones 1 a 8, donde en la etapa b) se detecta el nivel de anticuerpos dirigidos contra *Candida* Fba1.
 - 10. El procedimiento según la reivindicación 9, donde el nivel de anticuerpos dirigidos contra *Candida* Fba1 se detecta usando un polipéptido que comprende:
 - a) SEQ ID NO:2;

55

10

b) un fragmento epitópico del polipéptido de secuencia SEQ ID NO:2, que consiste en un tramo de aminoácidos contiguos de SEQ ID NO:2 y comprende uno o más epítopos de dicho polipéptido de secuencia SEQ ID NO:2; o c) un polipéptido variante del polipéptido definido en a) o b), donde dicho polipéptido variante tiene al menos un 80 % de identidad de secuencia con el polipéptido definido en a) o b), en toda la longitud del polipéptido definido en a) o b) y donde dicho polipéptido variante conserva la capacidad de unirse a todos los anticuerpos que se unen al polipéptido definido en a) o b).

- 11. El procedimiento según cualquiera de las reivindicaciones 1 a 8, donde en la etapa b) se detecta el nivel de anticuerpos dirigidos contra *Candida* Eno1.
- 5 12. El procedimiento según la reivindicación 11, donde el nivel de anticuerpos dirigidos contra *Candida* Eno1 se detecta usando un polipéptido que comprende:
 - a) SEQ ID NO:4:
- b) un fragmento epitópico del polipéptido de secuencia SEQ ID NO:4, que consiste en un tramo de aminoácidos contiguos de SEQ ID NO:4 y comprende uno o más epítopos de dicho polipéptido de secuencia SEQ ID NO:4; o c) un polipéptido variante del polipéptido definido en a) o b), donde dicho polipéptido variante tiene al menos un 80 % de identidad de secuencia con el polipéptido definido en a) o b), en toda la longitud del polipéptido definido en a) o b), y donde dicho polipéptido variante conserva la capacidad de unirse a todos los anticuerpos que se unen al polipéptido definido en a) o b).
 - 13. El procedimiento según cualquiera de las reivindicaciones 1 a 8, donde en la etapa b) se detecta el nivel de anticuerpos dirigidos contra *Candida* Hsp90.
- 14. El procedimiento según la reivindicación 13, donde el nivel de anticuerpos dirigidos contra *Candida* 20 Hsp90 se detecta usando un polipéptido que comprende:
 - a) SEQ ID NO:6;
 - b) un fragmento epitópico de un polipéptido de secuencia SEQ ID NO:6, que consiste en un tramo de aminoácidos contiguos de SEQ ID NO:6 y comprende uno o más epítopos de dicho polipéptido de secuencia SEQ ID NO:6;
- 25 c) aminoácidos en las posiciones 313 a 707 de la SEQ ID NO:6;
 - d) una secuencia SEQ ID NO:13, SEQ ID NO:14, SEQ ID NO:15, o SEQ ID NO:16; o
 - e) un polipéptido variante del polipéptido definido en a), b), c), o d), donde dicho polipéptido variante comprende al menos un 80 % de identidad de secuencia con el polipéptido definido en a) o b), en toda la longitud del polipéptido definido en a), b), c) o d), y donde dicho polipéptido variante conserva la capacidad de unirse a todos los anticuerpos que se unen al polipéptido definido en a), b), c), o d).
 - 15. El procedimiento según cualquiera de las reivindicaciones 1 a 8, donde en la etapa b) se detecta el nivel de anticuerpos dirigidos contra *Candida* Hwp1.
- 35 16. El procedimiento según la reivindicación 15, donde el nivel de anticuerpos dirigidos contra *Candida* Hwp1 se detecta usando un polipéptido que comprende:
 - a) SEQ ID NO:8:
- b) un fragmento epitópico de un polipéptido de secuencia SEQ ID NO:8, que consiste en un tramo de aminoácidos contiguos de SEQ ID NO:8 y comprende uno o más epítopos de dicho polipéptido de secuencia SEQ ID NO:8;
 - c) aminoácidos en las posiciones 41 a 200 o en las posiciones 27 a 203 de SEQ ID NO:8; o
- d) un polipéptido variante del polipéptido definido en a), b), o c) donde dicho polipéptido variante tiene al menos un 80 % de identidad de secuencia con el polipéptido definido en a) o b), en toda la longitud del polipéptido definido en a), b), o c), y donde dicho polipéptido variante conserva la capacidad de unirse a todos los anticuerpos que se unen al polipéptido definido en a), b), o c).
 - 17. El procedimiento según cualquiera de las reivindicaciones 1 a 8, donde en la etapa b) se detecta el nivel de anticuerpos dirigidos contra *Candida* Mp65.
- 50 18. El procedimiento según la reivindicación 17, donde el nivel de anticuerpos dirigidos contra *Candida* Mp65 se detecta usando un polipéptido que comprende:
 - a) SEQ ID NO:10 o SEQ ID NO:12:
- b) un fragmento epitópico de un polipéptido de secuencia SEQ ID NO:10 o SEQ ID NO:12, que consiste en un tramo de aminoácidos contiguos de SEQ ID NO:8 y comprende uno o más epítopos de dicho polipéptido de secuencia SEQ ID NO: 8, o que consiste en un tramo de aminoácidos contiguos de SEQ ID NO: 12 y comprende uno o más epítopos de dicho polipéptido de secuencia SEQ ID NO:12; o
 - c) un polipéptido variante del polipéptido definido en a) o b), donde dicho polipéptido variante tiene al menos un 80 % de identidad de secuencia con el polipéptido definido en a) o b), en toda la longitud del polipéptido definido en
- a) o b), y donde dicho polipéptido variante conserva la capacidad de unirse a todos los anticuerpos que se unen al polipéptido definido en a) o b).
 - 19. Un procedimiento para determinar un régimen de tratamiento en un sujeto, comprendiendo dicho procedimiento:

65

30

- a) diagnosticar si el sujeto presenta candidiasis invasiva llevando a cabo el procedimiento como se define en cualquiera de las reivindicaciones 1 a 18, y
- b) si el sujeto es diagnosticado con candidiasis invasiva, determinar un tratamiento antifúngico para dicho sujeto.
- 5 20. El procedimiento según la reivindicación 19, donde dicho tratamiento antifúngico puede ser un tratamiento con equinocandinas, anfotericina B o derivados de azol antifúngicos.
 - 21. Un kit que comprende:
- a) un anticuerpo como se define en la reivindicación 6, para determinar la presencia o nivel de un glicano de *Candida* que es manano; y
 - b) un polipéptido como se define en cualquiera de las reivindicaciones 10, 12, 14, 16 y 18, para determinar la presencia o nivel de anticuerpos dirigidos contra una proteína de *Candida* seleccionada del grupo que consiste en fructosa bifosfato aldolasa (Fba1), enolasa 1 (Eno1), proteína de choque térmico 90 (Hsp90), proteína de pared de
- 15 la hifa (Hwp1) y manoproteína 65 (Mp65).

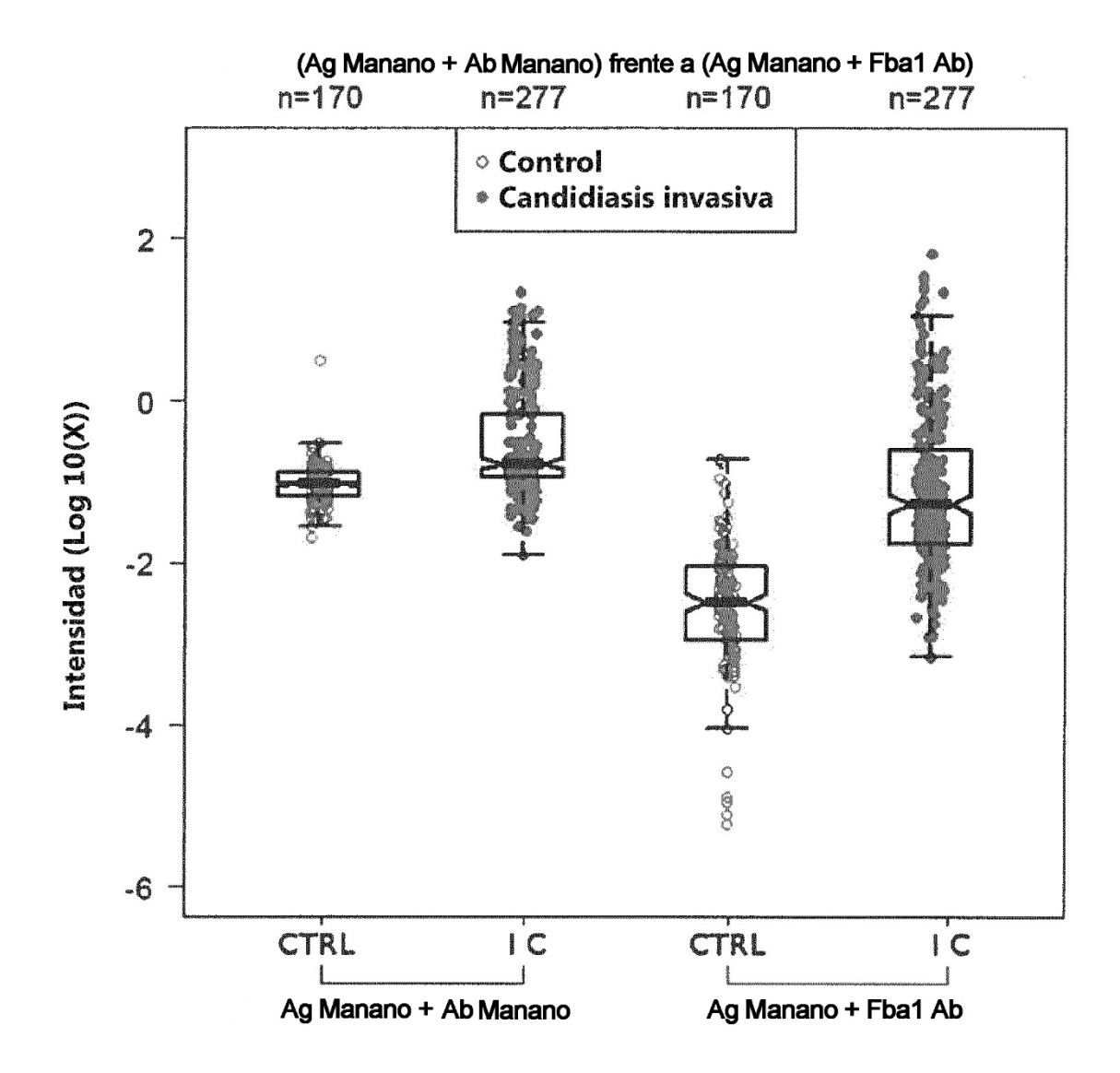


FIG.1

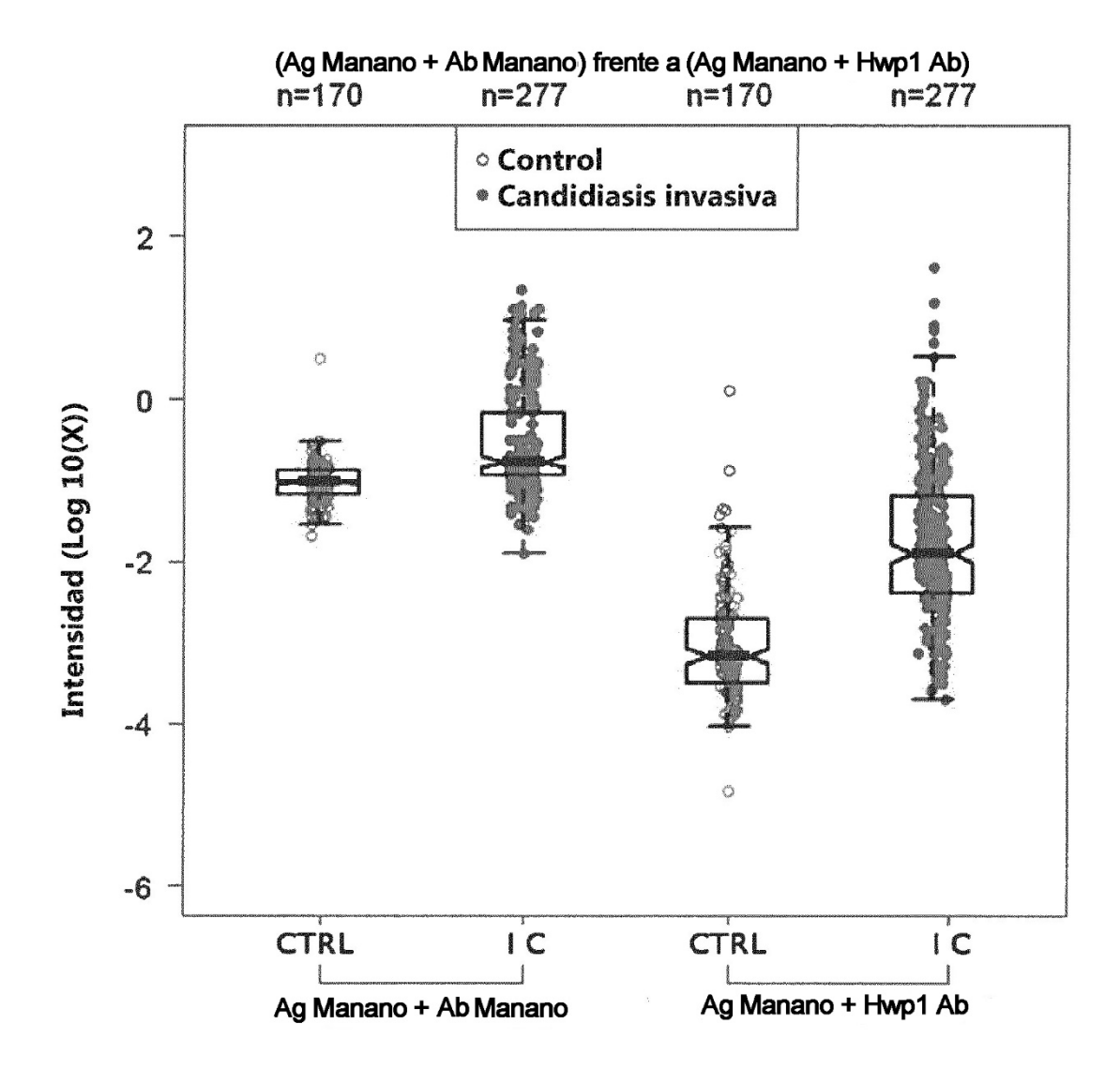


FIG.2

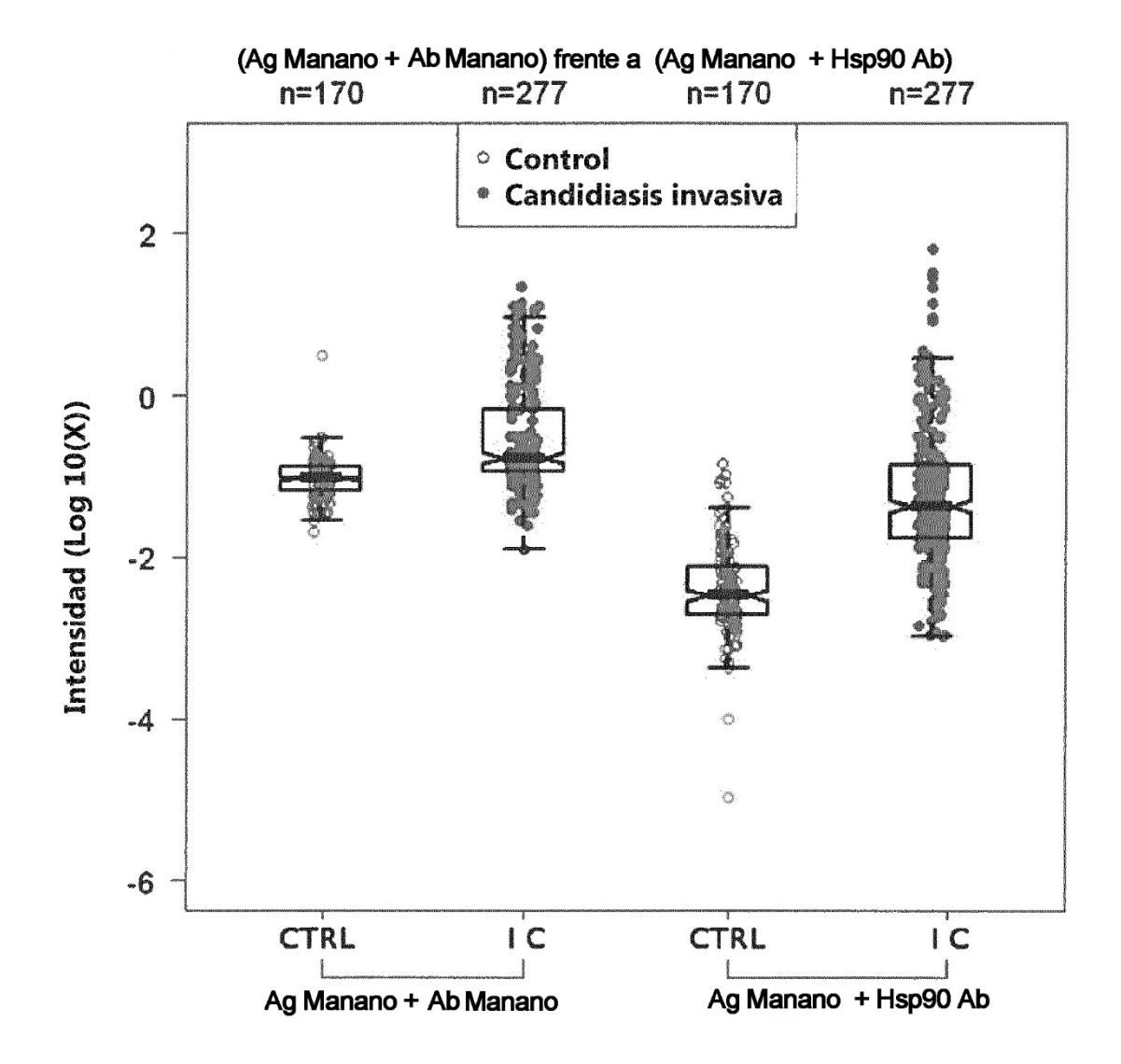


FIG.3

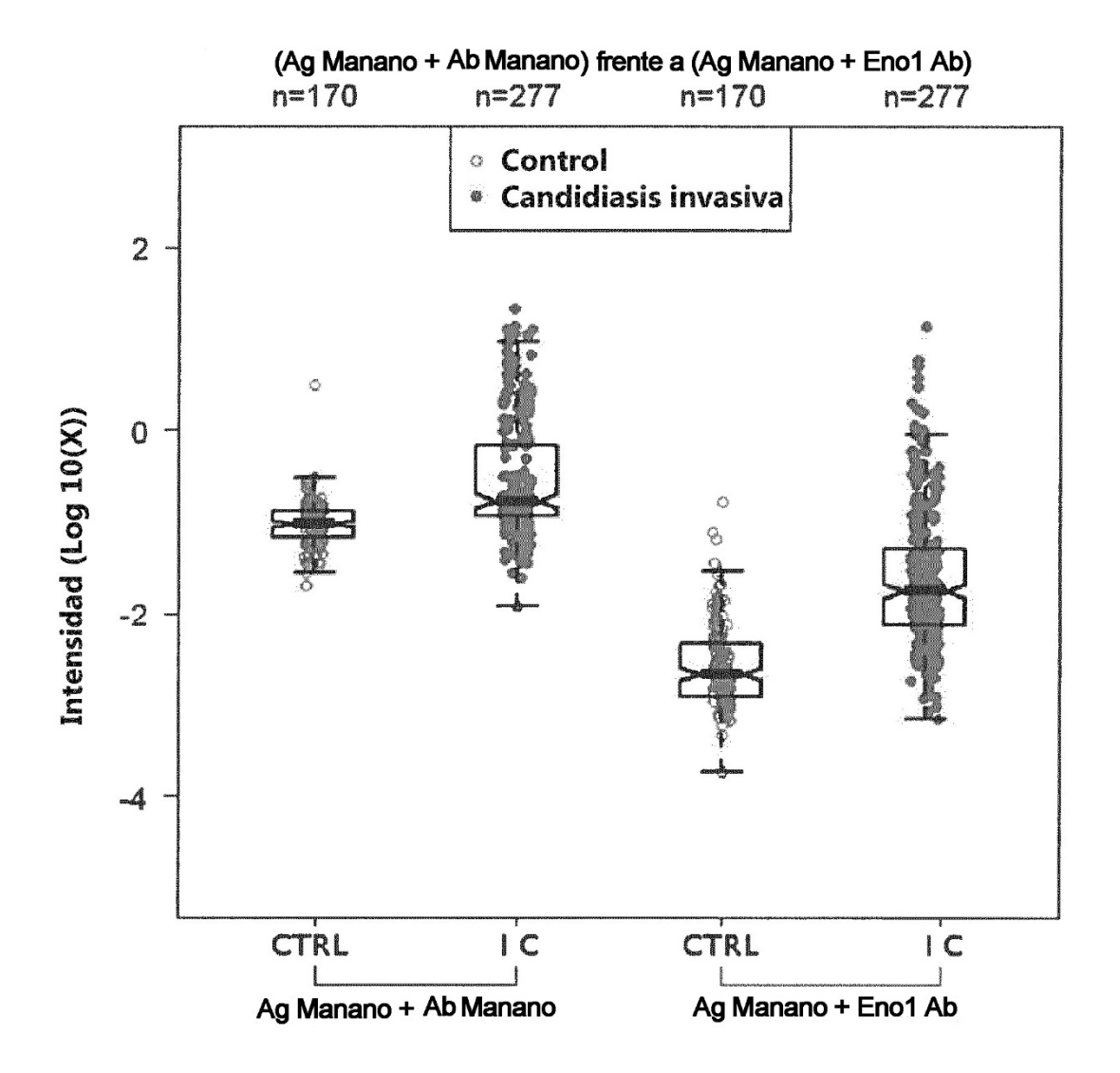


FIG.4

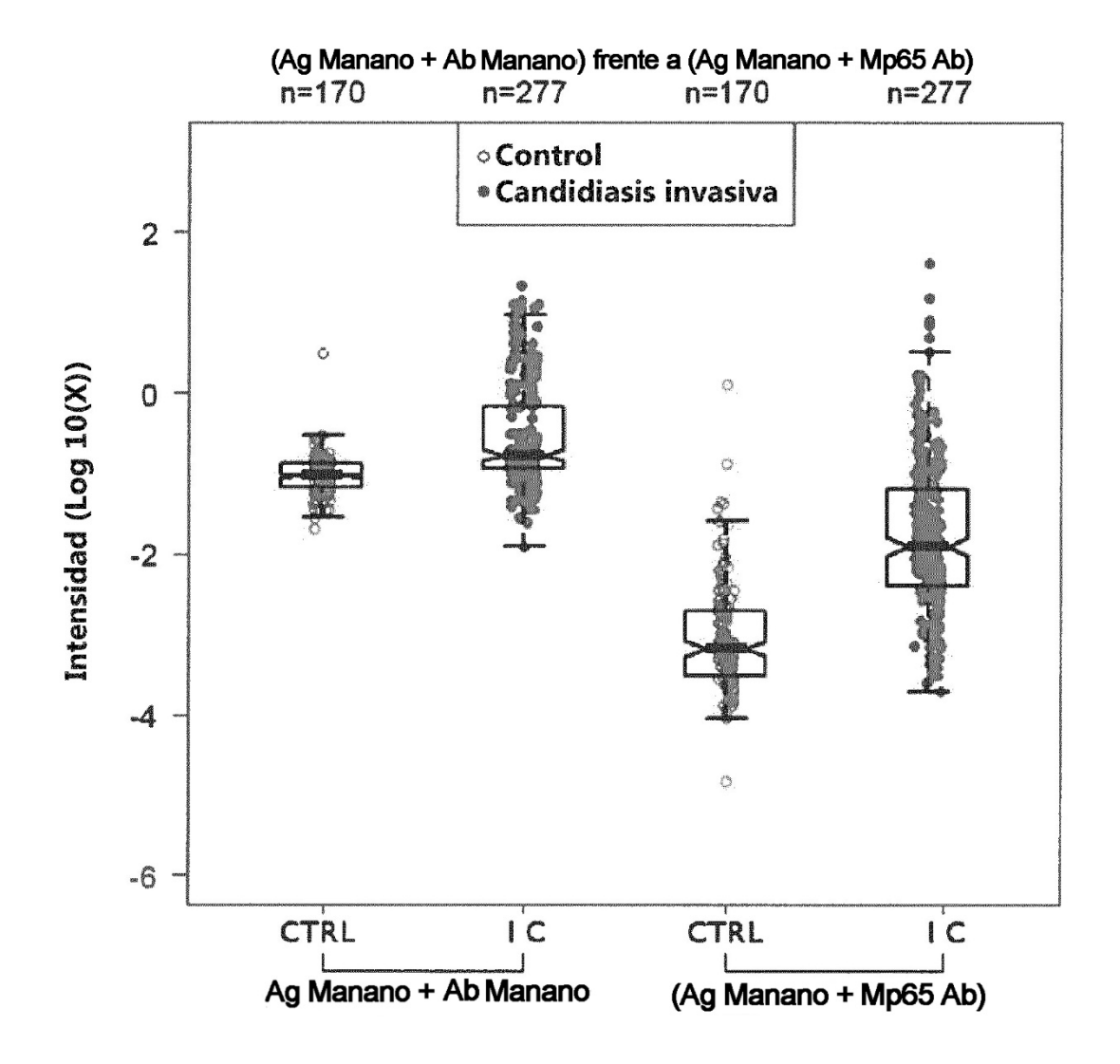


FIG.5

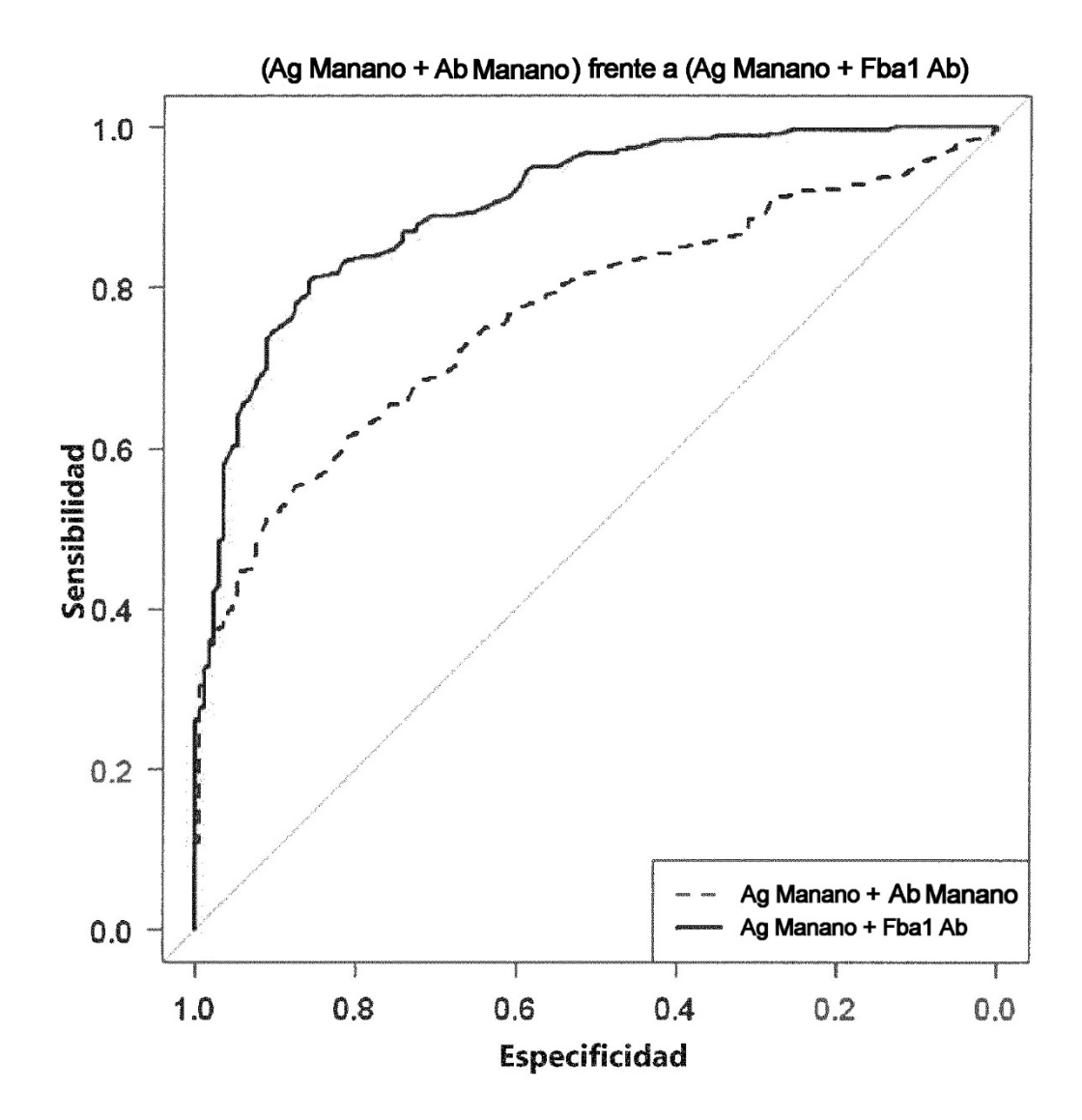


FIG.6

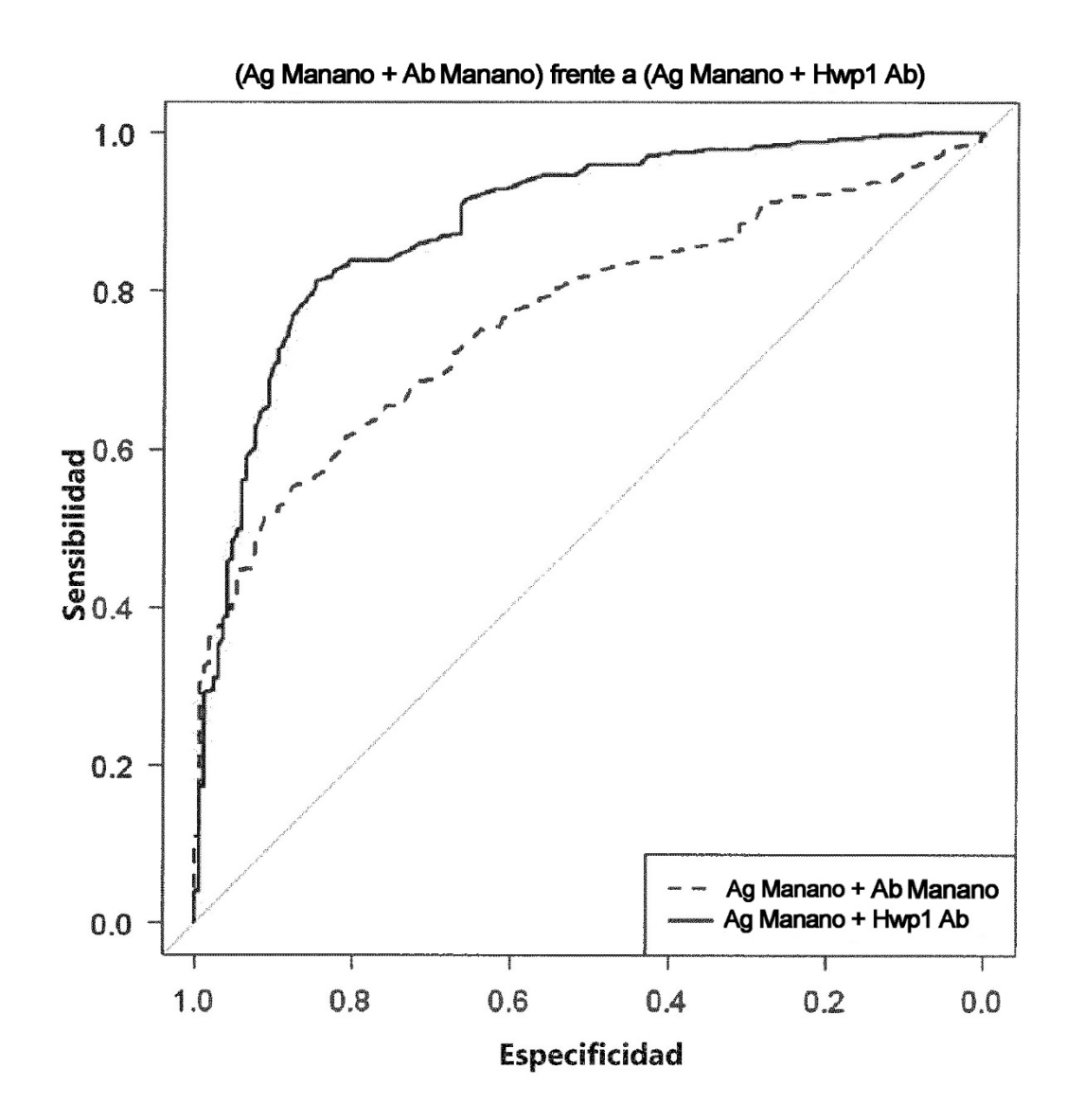


FIG.7

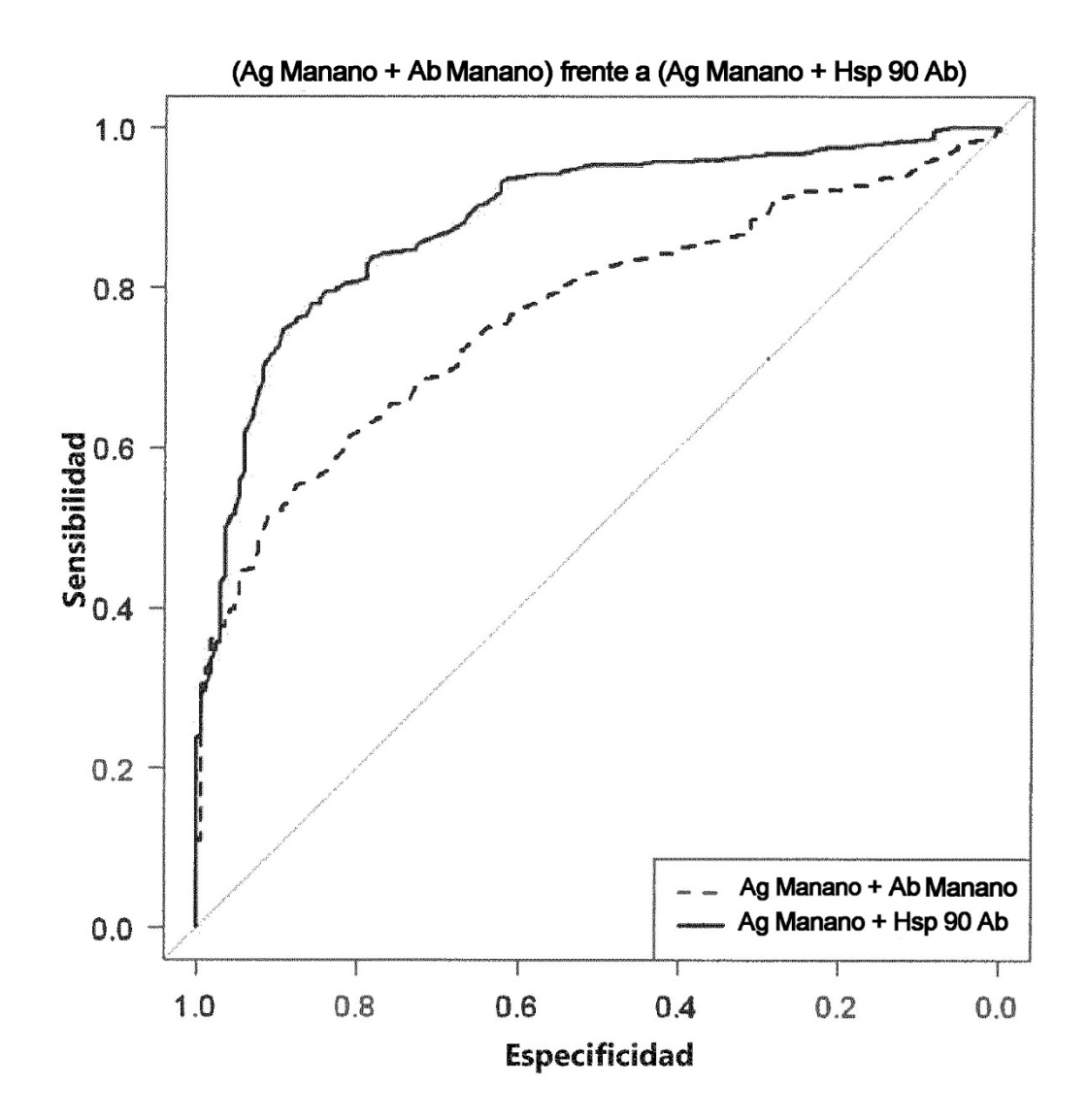


FIG.8

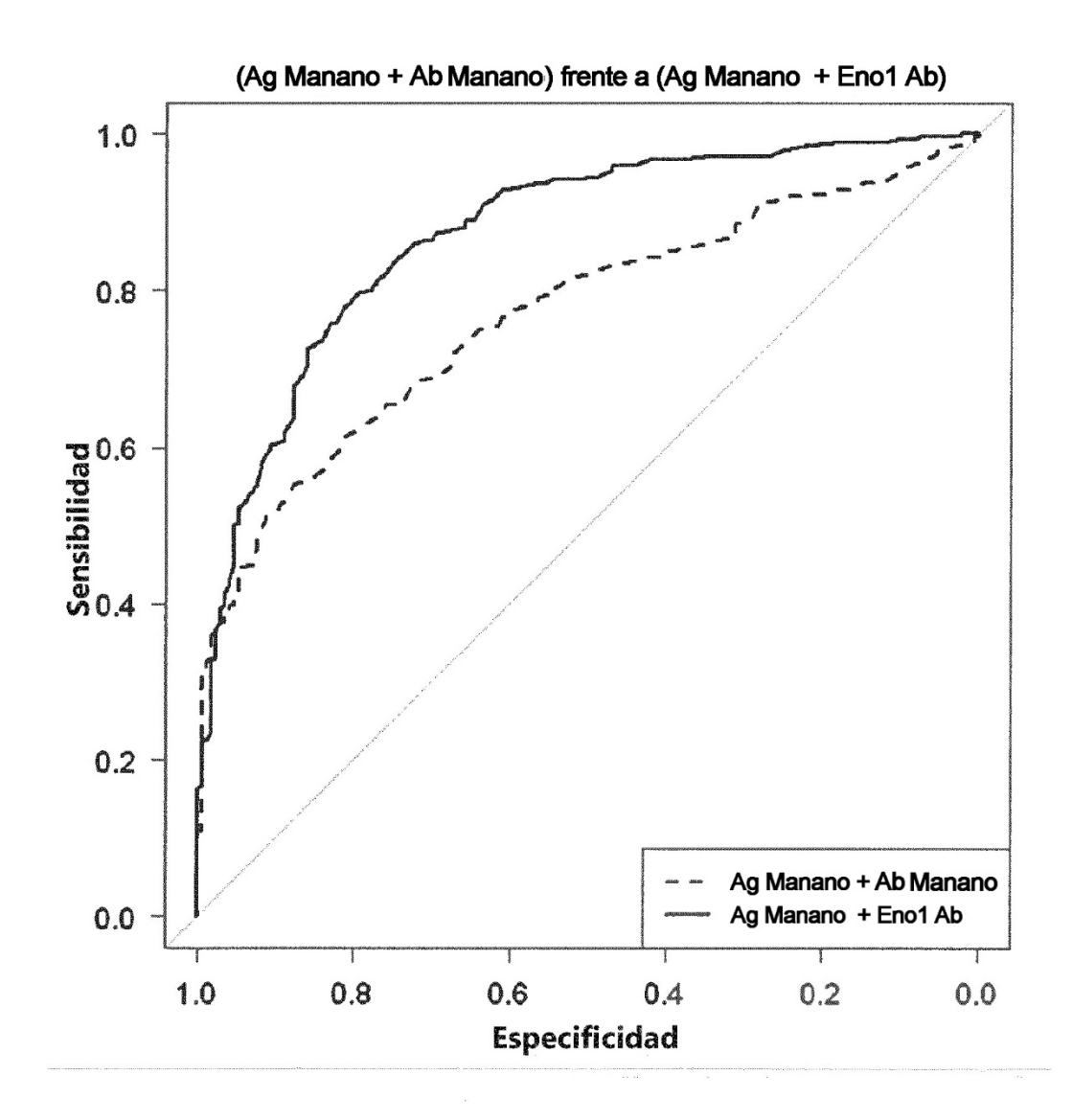


FIG.9

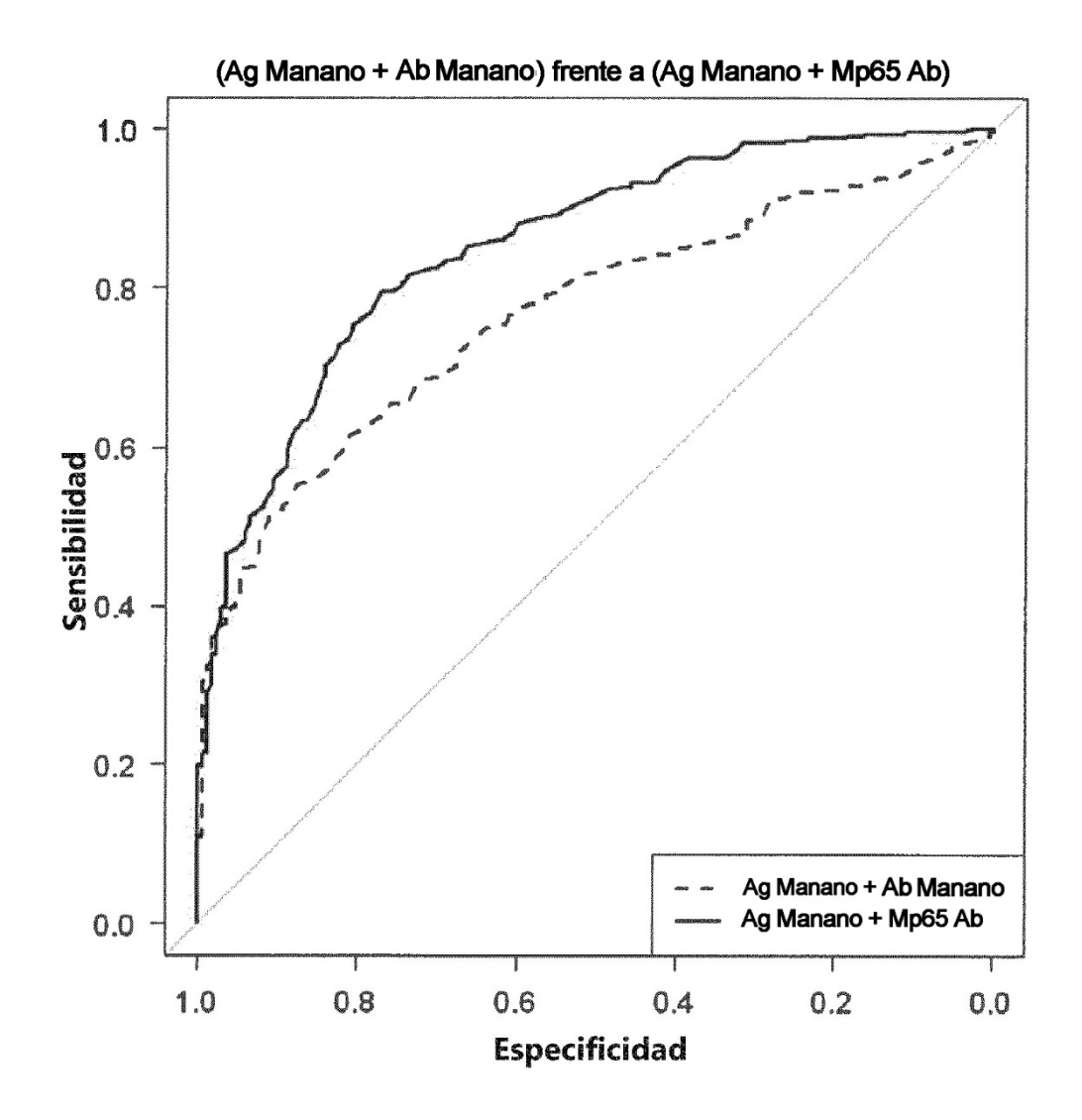


FIG.10